

الجمهورية الجزائرية الديمقراطية الشعبية
وزارة التعليم العالي والبحث العلمي

جامعة الحاج لخضر - باتنة
كلية العلوم - قسم علوم المادة / كيمياء

مذكرة
مقدمة لنيل شهادة الماجستير
شعبة : كيمياء المياه : البيئة وتحلية المياه
من إعداد:
بن سماعيل الشريف

[دراسة وتطبيق التقنيات الكهروكيميائية في معالجة تلوث المياه]

نوقشت بتاريخ : 28 فيفري 2013

لجنة المناقشة:

رئيسا	جامعة باتنة	البروفيسور الطاهر بن داخه
مقررا	جامعة باتنة	البروفيسور كمال الدين بوهيدل
عضوا	جامعة قسنطينة	البروفيسور مصعب بن الشيخ الحسين
عضوا	جامعة بجاية	البروفيسور بوعلام سعيداني

2013/ 2012

تشكرات

هذا العمل أنجز على مستوى مخبر كيمياء المياه والبيئة -جامعة باتنة- تحت إشراف وتوجيه البروفيسور كمال الدين بوهيدل الذي أتوجه له بأسمى عبارات الشكر والإمتنان لإشرافه على توجيهي خلال أبحاثي، كما أني استفدت طوال هذا العمل من تشجيعه ونصائحه الدقيقة التي توجت بإخراج هذه الدراسة على هذا الشكل.

أقدم شكري للبروفيسور الطاهر بن داخه لاهتمامه بهذا العمل وأتشرف برئاسته للجنة المناقشة.

يشرفني اهتمام أعضاء لجنة المناقشة بهذا العمل، وأتقدم بالشكر للأعضاء:

- البروفيسور سعيداني بوعلام.

- البروفيسور مصعب بن الشيخ الحسين.

في النهاية أشكر كل من ساعدني من قريب أو من بعيد في إنجاز هذا العمل، خاصة الأستاذة عولمي كافية لمساعدتها وتشجيعها لي خلال كل فترات البحث على مستوى مخبر المياه والبيئة.

ملخص

الكبريتيد ملوث منتشر في البيئة نتيجة عدة أنشطة صناعية, خاصة صناعة الدباغة. معالجة هذا الملوث تتم في الغالب بالطرق الكيميائية و البيولوجية, لكن هذه الطرق في بعض الحالات لا تؤدي الدور المطلوب لذا اتجهت الأبحاث إلى طرق أخرى مثل الطرق الكهروكيميائية التي هي محور عملنا التجريبي.

في القسم الأول من العمل التجريبي قمنا بدراسة كهروأكسدة الكبريتيد على قطب البلاتين باستخدام الطرق الكهروكيميائية التالية :

- الفولطامتري الدورية (جهاز AUTOLAB30 / METROHM).
- الفولطامتري الخطية.
- الكرونوأمبيروميتري.

أما في القسم الثاني من العمل التجريبي فقد قمنا بدراسة كهروتريسيب الكبريتيد باستعمال قطبي الزنك والحديد.

نتائج البحث هي:

- حدوث أكسدة الكبريتيد على قطب البلاتين بمردود جيد, كما تتأثر هذه العملية بالعوامل التجريبية (الكمون المطبق, درجة الحرارة, تركيز الكبريتيد الابتدائي, الرج, مدة التحليل الكهربائي).
- حدوث تريسيب الكبريتيد باستعمال قطبي الزنك والحديد لكن النتائج كانت أفضل مع قطب الحديد.

الكلمات المفتاحية : الكبريتيد, الكهروأكسدة, الكهروتريسيب.

Résumé

La pollution par les sulfures est très fréquente aussi bien dans l'industrie (tanneries , papier , ...) , les milieux aquatiques naturels en anaérobiose que dans les eaux usées domestiques. Le traitement de ces polluants est généralement basé sur les méthodes chimiques et biologiques . Ces méthodes sont parfois inefficaces (cinétiques lentes , non sélectives) ou coûteuses . Les méthodes électrochimiques , objet du présent travail, constituent une nouvelle tendance de la recherche dans la littérature scientifique récente .

Dans la première partie de ce document on a étudié l'électrooxydation de S^{2-} sur une électrode de Pt à travers les techniques suivantes :

- La voltamétrie cyclique sur un potentiostat AUTOLAB30 / METROHM.
- La voltamétrie linéaire.
- La chronoampérométrie .

Dans la deuxième partie on a étudié l'électro-précipitation de S^{2-} sur des électrodes de Zn et Fe.

Les principaux résultats de cette recherche sont :

- S^{2-} est oxydé sur l'électrode de Pt avec d'excellents rendements . La réaction est influencée par le potentiel imposé , la concentration initiale , la température , l'agitation et la durée .
- S^{2-} précipite sur les anodes de Zn et Fe avec de meilleurs rendements avec Fe .

Mots clés : Sulfure, électrooxydation, l'électro-précipitation

Abstract

Pollution by sulfide compounds is frequently found in many industries (tanneries , paper , mines ...) but also in anaerobic natural waters or domestic waste waters . The treatment of these pollutants is generally based on chemical or biological methods which are, sometimes , inefficient (slow kinetics , nonselective ,...) or expensive . The electrochemical methods , topic of this thesis , constitute a new research trend in the recent scientific literature .

The first part of this document deals with the electrooxidation of S^{2-} on a Pt electrode through the following techniques :

- The cyclic voltammetry with an AUTOLAB30 / METROHM apparatus.
- The linear voltammetry .
- The chronamperometry .

In the second part we have studied the electro-precipitation of S^{2-} on zinc and iron electrodes with the following main results :

- S^{2-} is oxidized on Pt electrode with excellent efficiencies . This reaction is influenced by these studied parameters : potential , concentration , temperature , convection and duration .
- S^{2-} is precipitated as Zn and Fe anodes with Fe higher efficiencies.

Key word: sulfide, electrooxidation, electro-precipitation.

فهرس

فهرس

01	المقدمة
	الفصل I
	الكهروكيميا ومعالجة الملوثات
03	1.I- تمهيد
03	2.I- الطرق الكهروكيميائية المستعملة في معالجة المياه ونزع التلوث
03	1.2.I- التبخير الكهربائي
05	2.2.I- الطفو الكهربائي
06	3.2.I- الديليزة الكهربائية
07	4.2.I- التحليل الكهربائي
08	3.I- المعالجة الكهروكيميائية للملوثات البيئية
08	1.3.I- الملوثات العضوية
08	1.1.3.I- معالجة الملوثات العضوية بالأكسدة الكهروكيميائية
08	1.1.1.3.I- الأكسدة الأنودية المباشرة
10	1.1.1.1.3.I- الخصائص المطلوبة في الأقطاب المستعملة في كهروأكسدة الملوثات العضوية
11	2.1.1.1.3.I- دور الأقطاب في ميكانيزمات كهروأكسدة الملوثات العضوية
13	2.1.1.3.I- الأكسدة الغير مباشرة عند القطب
13	1.2.1.1.3.I- الأكسدة الأنودية غير المباشرة
16	2.2.1.1.3.I- الأكسدة الغير مباشرة عند الكاثود
18	2.3.I- الملوثات المعدنية
18	1.2.3.I- التحليل الكهربائي المباشر للنفايات الصناعية المحتوية على المعادن الثقيلة
19	2.2.3.I- الخلايا الكهربائية المستعملة في معالجة النفايات الصناعية السائلة المخففة

الفصل II**دراسة الكبريتيد****الكيمياء, الكهروكيميا, التلوث والمعالجة**

24	1.II- تمهيد
24	2.II- كيمياء الكبريتيد

24	1.2.II- تعريف الكبريتيد
24	2.2.II- توزيع أصناف الكبريتيد في المحلول المائي
26	3.2.II- ترسيب الكبريتيد
32	4.2.II- التحليل الكيفي لمحلول يحتوي على الكبريتيد و الأيونات SO_4^{2-} و SO_3^{2-} و $S_2O_3^{2-}$
32	3.II- كهروكيميا الكبريتيد
32	1.3.II- أكسدة الكبريتيد
33	2.3.II- التفاعلات الكهروكيميائية المرتبطة بالكبريتيد
38	3.3.II- كهروأكسدة الكبريتيد باستعمال الأقطاب الأنودية
41	4.II- خطورة الكبريتيد
41	5.II- مصادر التلوث بالكبريتيد
42	6.II- معالجة التلوث بالكبريتيد

الفصل III: الجانب التطبيقي

كهروأكسدة الكبريتيد على البلاتين وكهروتربيته بالإنحلال الأنودي لمعدن

44	1.III- كهروأكسدة الكبريتيد على قطب البلاتين
44	1.1.III- دراسة إمكانية الكهروأكسدة باستخدام الفولطامتري الدورية
44	1.1.1.III- طريقة العمل التجريبي
45	2.1.1.III- نتائج ومناقشة
46	2.1.III- نواتج الكهروأكسدة و تأثير العوامل التجريبية
46	1.2.1.III- طريقة العمل التجريبي
48	1.1.2.1.III- تأثير الكمون المطبق
49	2.1.2.1.III- تأثير التركيز الابتدائي للكبريتيد
49	3.1.2.1.III- تأثير الحرارة
50	4.1.2.1.III- تأثير الرج
51	5.1.2.1.III- تأثير الكتروليت Na_2SO_4
51	6.1.2.1.III- تأثير مدة التحليل الكهربائي
52	2.2.1.III- نتائج ومناقشة
52	1.2.2.1.III- نواتج كهروأكسدة الكبريتيد
53	2.2.2.1.III- تأثير الكمون المطبق
57	3.2.2.1.III- تأثير التركيز الابتدائي للكبريتيد
59	4.2.2.1.III- تأثير الحرارة

61	5.2.2.1.III- تأثير الرج
63	6.2.2.1.III- تأثير الالكتروليت Na_2SO_4
65	7.2.2.1.III- تأثير مدة التحليل الكهربائي
66	2.III- كهروترييب الكبريتيد باستعمال قطبي الزنك و الحديد
67	1.2.III- طريقة العمل التجريبي
68	1.1.2.III- الانحلال الأنودي للزنك في محلولي هيدروكسيد و كبريتيد الصوديوم
68	2.1.2.III- الانحلال الأنودي للزنك في محلول هيدروكسيد الصوديوم باستعمال أقطاب كاتودية مختلفة.
69	3.1.2.III- الإنحلال الأنودي للزنك والحديد في محلول كبريتيد الصوديوم
69	2.2.III- نتائج ومناقشة
69	1.2.2.III- نواتج و مردود الكهروترييب
70	2.2.2.III- الإنحلال الأنودي للزنك في محلولي هيدروكسيد و كبريتيد الصوديوم
70	3.2.2.III- الانحلال الأنودي للزنك في محلول هيدروكسيد الصوديوم باستعمال أقطاب كاتودية مختلفة
71	4.2.2.III- الإنحلال الأنودي للزنك و الحديد في محلول كبريتيد الصوديوم
72	الخاتمة

مقدمة

منذ قدوم العصر الصناعي و البيئة تتعرض لانتشار المواد الكيميائية الصناعية، على حد سواء العضوية أو الغير عضوية ، بناءا على ذلك تراكمت هذه المواد الكيميائية في مختلف النظم الايكولوجية سواء الأرضية أو المائية أو الجوية .

نسب هذه المواد الملوثة عندما تصل الى حدود معينة تشكل خطر على الكائنات الحية خاصة الإنسان.

لمواجهة خطر هذه الملوثات أستعمل في معالجتها الطرق الكيميائية و البيولوجية ، لكن هذه الطرق لا تؤدي الدور المطلوب في العديد من الحالات ، لذا اتجهت الأبحاث لاستعمال الكهرباء لمعالجة الملوثات نظرا للاعتبارات التالية :

- ملائمتها للبيئة (تكنولوجيا نظيفة)
- سهولة التحكم في التجهيزات
- امكانية معالجة الكثير من الملوثات

الطرق الكهرو كيميائية أثبتت في الكثير من الحالات أنها حلول ناجعة للعديد من مشاكل التلوث .

عملنا يصب في هذا الاطار ، حيث قمنا بدراسة كهرو كيميائية للملوث المعروف S^{2-} (الكبريتيد) وفق الطريقتين :

- الكهروأكسدة على قطب البلاتين
- الكهروتريسيب باستعمال قطبي الزنك والحديد.

الفصل الأول للدراسة خصص للبيئة و الكهرو كيمياء ، حيث نعرض من خلاله استعمال الكهرو كيمياء في معالجة الملوثات .

أما الفصل الثاني فقد خصص لدراسة الكبريتيد (S^{2-}) حيث نتعرض فيه الى النقاط التالية :

- كيمياء و كهرو كيمياء الكبريتيد.
- مصادر التلوث بالكبريتيد.
- أخطار الكبريتيد.
- معالجة الكبريتيد.

وفي الأخير خصصنا الفصل الثالث للجانب التطبيقي المتمثل في :

(a) كهروأكسدة الكبريتيد على قطب البلاتين: حيث تمت الدراسة التجريبية عن طريق :

- الفولطامتري الدورية (voltamétrie cyclique) باستخدام جهاز (autolab 30).
- الفولطامتري الخطية (voltamétrie linéaire).
- الكرونوأمبيروميتري (chronoampérométrie).
- التحليل الكيفي والكمي لمحلول الكبريتيد قبل وبعد الأكسدة.

من خلال تحليل النتائج المحصل عليها يمكن الاجابة على التساؤلات التالية:

- هل يحدث تفاعل أكسدة الكبريتيد على قطب البلاتين وبأي نسبة ؟
- كيفية ميكانيزم الأكسدة وماهي نواتج الأكسدة.
- هل العوامل التجريبية (الكمون , درجة الحرارة , الرج....الخ) تؤثر في مردود الأكسدة؟

(b) كهروتزسيب الكبريتيد باستعمال قطب الزنك والحديد : نقوم بدراسة تغيرات التيار بدلالة الكمون وفق الفولطامتري الخطية باستخدام جهاز (autolab 30).

تحليل المنحنيات يمكن أن يجيب على التساؤلات التالية:

- مامدى سهولة الانحلال الأنودي للقطب الى أيونات تقوم بترسيب الكبريتيد؟
- أي المعدنين له انحلال أنودي أكبر الزنك أم الحديد؟

الفصل ١

الكهر كيمياء ومعالجة الملوثات

1.I- تمهيد

لا اعتبارات بيئية, أي نفاية صناعية يجب معالجتها قبل رميها, بغرض خفض تركيز الملوثات إلى حد أدنى من القيم التي تشكل خطرا على البيئة, وهذا بمعالجتها بطرق مختلفة.

استعمال الطرق الكهروكيميائية في معالجة ملوثات البيئة حظي بالعديد من الدراسات العلمية في السنوات الأخيرة, وهذا نظرا لمزاياها التالية [I.1] :

- المحافظة على البيئة (تكنولوجيا نظيفة), حيث يستعمل متفاعل نظيف و هو الإلكترون, لذا إضافة مواد كيميائية في هذه التقنية يعتبر ضئيل أو معدوم.
- بساطة المعدات و سهولة التشغيل.
- إمكانية معالجة العديد من الملوثات .
- معالجة كميات مختلفة من النفايات السائلة تصل إلى مليون لتر.
- عند حدوث مشكلة عملية يمكن بسهولة إنهاء التفاعل خلال ثوان وذلك بقطع التيار الكهربائي ثم إعادة التشغيل بسرعة بعد انتهاء المشكل.
- دراسة المتغيرات الكهربائية خلال العملية الكهروكيميائية (I , U) يسهل عملية الحصول على المعطيات والمعلومات التي تمكن من التحكم الآلي في هذه التقنية.

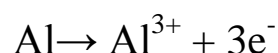
2.I- الطرق الكهروكيميائية المستعملة في معالجة المياه و نزع التلوث**1.2.I- التخثير الكهربائي (électrocoagulation)**

عملية التخثير الكهربائي تعتمد على مبدأ الأقطاب القابلة للانحلال, حيث بتطبيق تيار أو كمون كهربائي بين قطبين (في الغالب من الألمنيوم أو الحديد) مغموسين في المحلول المعالج, يحدث الانحلال الأنودي للقطب فتنتج أيونات معدنية تتفاعل مع أيونات الهيدروكسيد مشكلة هيدرومعدنات التي تلعب دور مخثر و تؤدي الى تشكيل رواسب ثم لبادات يسهل نزعها بالطرق الفيزيائية الكلاسيكية (الترشيح, الطفو, التصفيق).

في حالة قطب الألمنيوم التفاعلات الحادثة هي:

❖ عند الأنود

- أكسدة المعدن

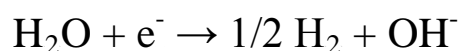


- تشكل الهيدروجين



❖ عند الكاثود

- ارجاع الماء



الكاتيونات المعدنية للألمنيوم تشكل معقدات مع أيونات الهيدروكسيد , الصنف الغالب مرتبط بـ pH الوسط.

الملاحظ وجود العديد من المعقدات الأنيونية والكاتيونية, نستطيع أن نميز منها:

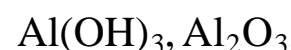
المعقدات الأحادية مثل :



المعقدات المتعددة مثل:



كما توجد الأصناف شحيحة الذوبان مثل:



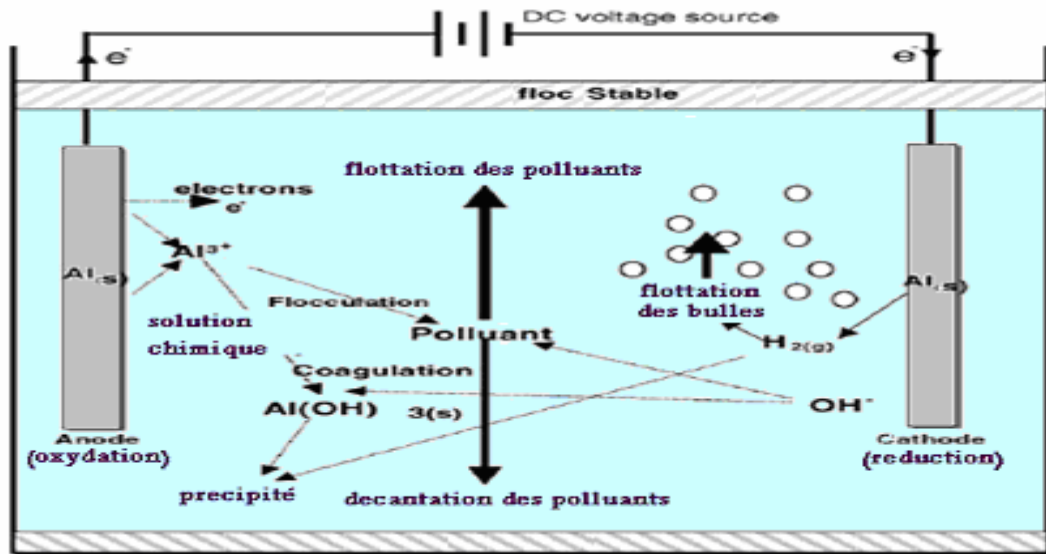
الشكل (1.I) يوضح مبدأ عملية التخثير الكهربائي باستعمال قطب الألمنيوم.

يمكن استعمال أقطاب أخرى كأقطاب منحلة, لكن يبقى الحديد و الألمنيوم الأكثر استعمالا نظرا لانخفاض التكلفة و قيمة التكافؤ المرتفعة لهذه الأيونات.

التخثير الكهربائي أثبت نتائج جيدة في معالجة التلوث, حيث تصل نسبة معالجة المياه الصناعية الى حوالي 70% - 80 % و يفضل استعمال هذه التقنية بدل التخثير الكيميائي

نظرا للاعتبارات التالية:

- قلة التكلفة .
- تكنولوجيا نظيفة حيث لا ينتج عنها مواد ضارة للبيئة عكس التخثير الكيميائي الذي يعتمد على اضافة مواد كيميائية قد تشكل خطورة على البيئة.



الشكل 1.II: مخطط مبدأ عملية التخثير الكهروكيميائي باستعمال قطب الألمنيوم [I.2].

2.2.I- الطفو الكهربائي (électro flottation)

الطفو (flottation) هو ظاهرة صعود الجسيمات الصلبة العالقة الموجودة في السائل الى سطحه تحت تأثير [I.3] :

- كثافة الجسيمات بحيث تكون أقل من كثافة السائل.
- ضخ غاز تحت الضغط.
- الطفو الكهربائي الذي يعتمد على انتاج فقاعات غازي الأكسجين و الهيدروجين عن طريق التحليل الكهربائي للماء باستعمال أقطاب غير منحلة. هذه الفقاعات تعلق بالجسيمات و تأخذها معها الى سطح السائل أين نستطيع ازالتها بسهولة عن طريق الكشط (raclage).

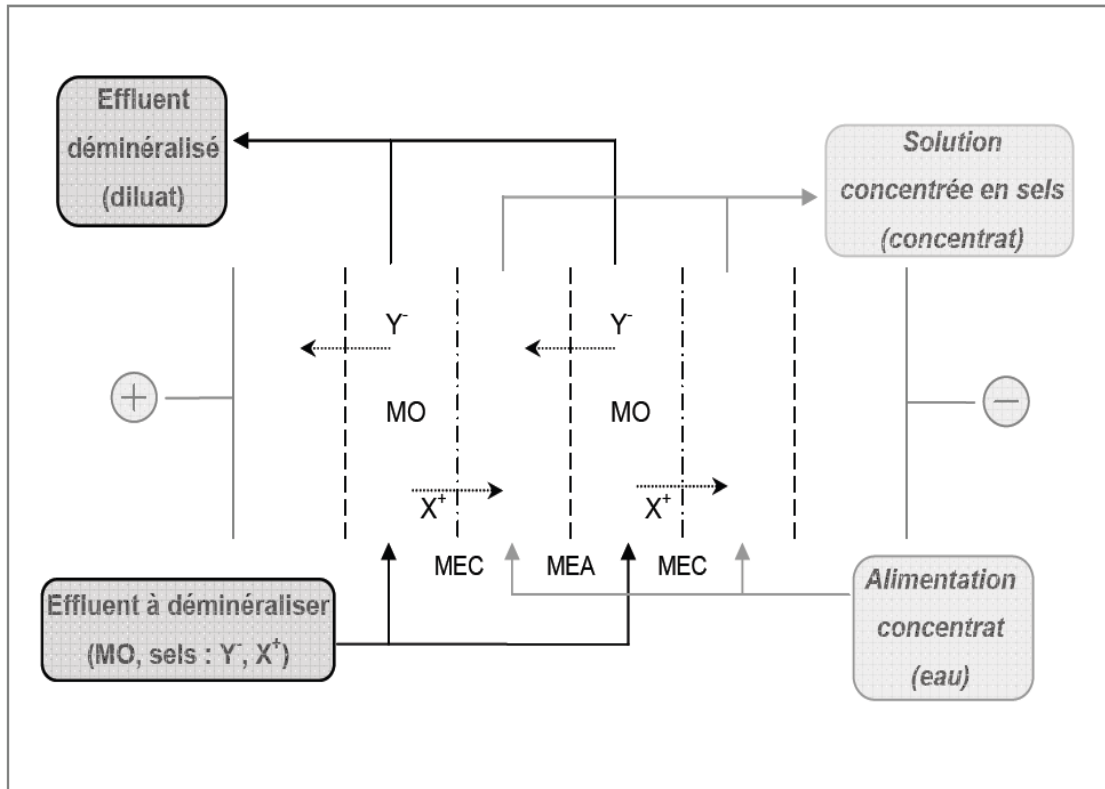
عدد و قطر الفقاعات الغازية الناتجة عن طريق التحليل الكهربائي مرتبط بكثافة التيار الكهربائي .

تستعمل عملية الطفو الكهربائي لمعالجة التلوث الناتج عن أنشطة صناعية و غير صناعية (صناعة الفولاذ، صناعة الورق، الصناعات الصوفية، الصناعة الصيدلانية، التصريفات المنزلية،...) حيث تسمح دائما بإزالة المواد الصلبة العالقة بمردود يفوق 95 % [I.3].

3.2.I- الديليزة الكهربائية (électrodialyse)

هذه العملية تعتمد على التحكم في انتقال الأيونات عبر أغشية انتقائية (الغشاء الأنيوني يسمح بمرور الأيونات السالبة والغشاء الكاتيوني يسمح بمرور الأيونات الموجبة) تحت تأثير فرق كمون مطبق بين قطبين حيث الأيونات السالبة تهجر عبر الغشاء الأنيوني نحو القطب الموجب و الأيونات الموجبة تهجر عبر الغشاء الكاتيوني نحو القطب السالب، وللتوضيح أكثر الشكل (2.I) يبين مبدأ الديليزة الكهربائية.

خلال عملية الديليزة الكهربائية الأيونات لا تتفاعل كهر و كيميائيا على سطح الأقطاب، وفي حالة حدوث تفاعل فإن العملية تسمى "ديليزة كهربائية - تحليل كهربائي"



الشكل 2.I : مبدأ الديليزة الكهربائية [I.4].

من أهم تطبيقات الديليزة الكهربائية تحلية مياه البحر، كما أن لها تطبيقات أخرى [I.5]:

- إعادة تدوير أحواض الأحماض

- اعادة تدوير مياه الشطف (eau de rinçage) المحتوية على المعادن الثقيلة والسامة.

تستعمل هذه التقنية أيضا في معالجة بعض الملوثات مثل النترات و الفلوريد [I.6].

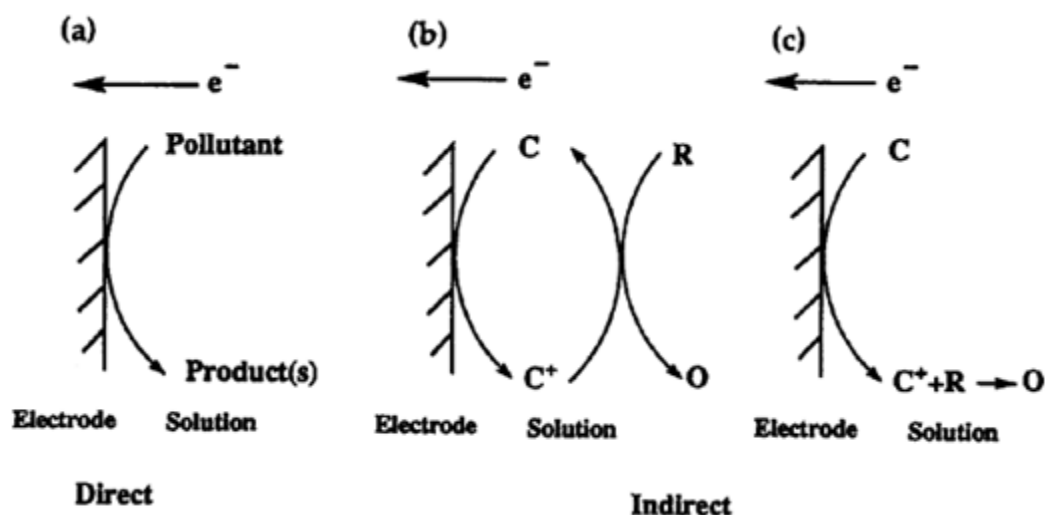
4.2.I- التحليل الكهربائي (électrolyse)

تعتمد هذه العملية في معالجة التلوث على إحداث تفاعلات (أكسدة أو إرجاع) للملوثات لتحويلها لمواد غير ملوثة أو أقل تلويث وذلك بتطبيق كمون أو تيار كهربائي بين الأقطاب الموجودة في الوسط الملوث.

في حالة أكسدة و/أو إرجاع الملوثات على سطح الأقطاب فإن العملية تسمى التحليل الكهربائي المباشر (électrolyse directe), أما في حالة أكسدة و/أو إرجاع الملوثات بواسطة أصناف كيميائية ناتجة كهروكيميائيا عند الأقطاب فإن العملية تسمى التحليل الكهربائي غير المباشر (électrolyse indirecte).

الشكل (3.I) يوضح الأكسدة المباشرة والغير المباشرة للملوث من خلال ثلاث حالات:

- (a): كهروأكسدة مباشرة حيث الملوث يؤكسد مباشرة على سطح القطب ليتحول الى نواتج غير ملوثة أو أقل تلويث.
- (b): كهروأكسدة غير مباشرة عكوسة حيث تتم أكسدة الملوث (R) الى الناتج (O) بواسطة الوسيط الكيميائي (C⁺) (مؤكسد قوي) الناتج كهروكيميائيا من أكسدة الصنف الكيميائي (C) على سطح القطب. الوسيط (C⁺) عند أكسدته للملوث (R) يتحول عائدا الى الصنف (C) لذا تسمى العملية عكوسة (réversible).
- (c): كهروأكسدة غير مباشرة لا عكوسة حيث تتم أكسدة الملوث (R) الى الناتج (O) بواسطة الوسيط الكيميائي (C⁺) (مؤكسد قوي) الناتج كهروكيميائيا من أكسدة الصنف الكيميائي (C) على سطح القطب. الوسيط (C⁺) عند أكسدته للملوث (R) لا يتحول عائدا الى الصنف (C) لذا تسمى العملية لا عكوسة (irréversible).



الشكل 3.I: مخطط مبدأ كهروأكسدة ملوث وفق الميكانيزمات (a), (b) و (c) [I.7].

التحليل الكهربائي يستعمل على نطاق واسع في معالجة الملوثات خاصة العضوية والمعدنية.

3.I- المعالجة الكهروكيميائية للملوثات البيئية

1.3.I- الملوثات العضوية

تعالج الملوثات العضوية بعدة طرق كهروكيميائية, منها التخثير الكهربائي, الطفو الكهربائي, الكهروإرجاع و الكهروأكسدة التي تعد الأكثر إستعمالا, لذا سنركز الدراسة على هذه الطريقة.

1.1.3.I- معالجة الملوثات العضوية بالأكسدة الكهروكيميائية

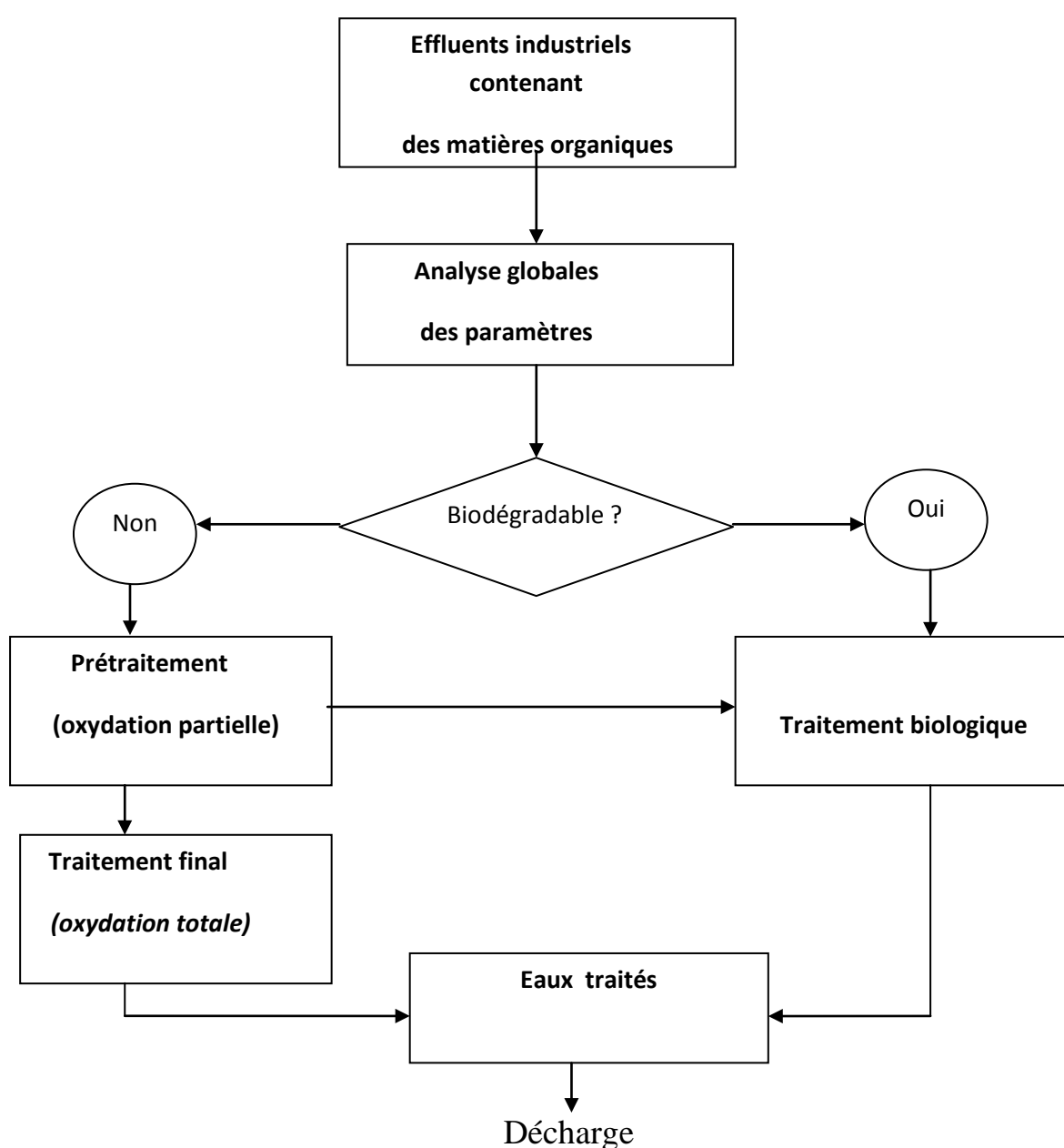
1.1.1.3.I- الأكسدة الأنودية المباشرة

يتم في الغالب معالجة الملوثات العضوية بيولوجيا عن طريق كائنات بكتيرية (micro-organisms) منخفضة التكلفة, لكن المعالجة البيولوجية تشترط في الملوثات قابليتها للتحلل (biodégradable), كما يتطلب تطبيقها الشروط التالية:

- توفر المساحة الكبيرة.
- توفر المدة الكافية نظرا لبطئ حركية العملية.

في الغالب لا نستطيع تطبيق المعالجة البيولوجية بالنسبة للملوثات العضوية السامة والمقاومة للحرارة , في هذه الحالة المعالجة الكهروكيميائية للملوثات العضوية تعد حل واعد [I.8,9]. هذه المعالجة تتم وفق طريقتين [I.10]:

- **طريقة الاحتراق (combustion) الكهروكيميائي:** الملوثات العضوية تتحول عن طريق الكهروأكسدة التامة إلى H_2O , CO_2 و أيونات غير عضوية.
- **طريقة التحويل (conversion):** الملوثات العضوية الغير قابلة للتحلل تتحول كهروكيميائيا إلى مواد عضوية قابلة للتحلل (مثل الأحماض الكربوكسيلية) يمكن التخلص منها لاحقا عن طريق المعالجة/البيولوجية كما يوضح الشكل (4. I).



الشكل I 4: استراتيجيات معالجة النفايات الصناعية المحتوية على الملوثات العضوية [I.11].

من وجهة نظر طاقوية, معالجة الملوثات العضوية الغير قابلة للتحلل الكهروكيميائي متبوعا بمعالجة بيولوجية فعالة أفضل من معالجتها بالاحتراق الكهروكيميائي.

القطب المثالي لتحقيق التحويل الكهروكيميائي يتميز من جهة بنشاط كهروكيميائي اتجاه الأكسدة الجزئية للمركبات العضوية الغير قابلة للتحلل (مثل المركبات العطرية), ومن جهة أخرى بنشاط كهروكيميائي منخفض اتجاه المركبات البسيطة المتشكلة (مثل الأحماض الكربوكسيلية) التي في العموم قابلة للتحلل البيولوجي.

1.1.1.1.3.1.I - الخصائص المطلوبة في الأقطاب المستعملة في كهروأكسدة الملوثات

العضوية.

عند اختيار الأقطاب الخاصة بالأكسدة الكهروكيميائية للملوثات العضوية يجب أخذ الاعتبار التالية :

- تركيبة وطبيعة النفاية السائلة المعالجة.
- تكلفة الأقطاب.
- التلاؤم مع البيئة.
- الاستقرار الكيميائي لمادة القطب (مقاوم للتآكل).
- الانتقائية.
- الناقلية الجيدة للقطب.

أكسدة المركبات العضوية بطيئة جدا, لذا يجب استعمال أقطاب كهرومحفزة (Pd,Pt,...) لزيادة حركية الأكسدة الكهروكيميائية للملوثات العضوية.

المعادن النبيلة مثل Ir, Pt, Ru مناسبة كأقطاب لأكسدة الملوثات العضوية لكن تكلفتها المرتفعة كما يبين الجدول (1.I), تشكل حدا لاستعمالها على نطاق واسع.

	2003	2004	différence
Platine	691,86	845,75	22 %
Palladium	200,61	230,03	15 %
Rhodium	530,27	981,73	85 %
Iridium	93,07	186,32	100 %
Ruthénium	35,04	64,68	85 %

الجدول 1.I: أثمان أوقية المعادن النبيلة بالدولار الأمريكي تبعا للسنوات 2003 , 2004

[I.12].

توجد بدائل للمعادن النبيلة أقل تكلفة (مثل أكاسيد النيكل والرصاص) تسمح بالأكسدة الكهروكيميائية المباشرة للملوثات العضوية.

الكمونات الكهربائية الضرورية لأكسدة المركبات العضوية عادة ما تكون مرتفعة (في الغالب أعلى من كمون أكسدة الماء إلى غاز الأكسجين) وبالتالي انطلاق الأكسجين الذي يشكل تفاعل طفيلي (غير مرغوب) يقلل من مردود أكسدة المركبات العضوية و لهذا السبب يجب اختيار أقطاب لها "جهد زائد" (surtension) مرتفع اتجاه انطلاق الأكسجين ومنخفض اتجاه أكسدة الملوثات العضوية.

في ضوء المعطيات السابقة الذكر, الأقطاب المستعملة حاليا في الأكسدة المباشرة للملوثات العضوية هي:

- أقطاب أكسيد الرصاص [I.13,14]
- أقطاب أكسيد القصدير [I.15,16]
- أقطاب الماس الاصطناعي [I.17,18]

I.1.3.1.1- دور الأقطاب في ميكانيزمات الكهروأكسدة المباشرة للملوثات العضوية

وضع الباحث Comninellis مخطط عام لتفاعل الأكسدة المباشرة للمركبات العضوية على أقطاب الأكسيد من النوع (MO_x) كما هو موضح في الشكل (5.I) [I.19]. حسب هذا المخطط فإن أكسدة المركبات العضوية في المحلول المائي لا تنتج عن طريق الانتقال المباشر (transfert directe) للإلكترونات عند سطح القطب بل في الواقع تنتج عن انتقال ذرة أو مجموعة ذرات أكسجين عند سطح القطب الأنودي تبعا لميكانيزم يشمل عدة مراحل:

- المرحلة الأولى: H_2O (أو OH^-) تتفاعل مع الأنود (anode) لا نتاج جذور الهيدروكسيل الممتزة (radicaux hydroxyles adsorbés).



- المرحلة الثانية: الهيدروكسيل الممتز يمكن أن يتفاعل مع الأكسجين الموجود أصلا في الأكسيد حيث يتم انتقال أكسجين الهيدروكسيل الممتز لتشكيل الأكسيد الأعلى (MO_{x+1} oxyde supérieur).

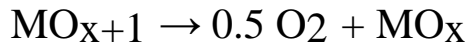
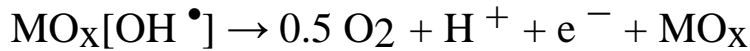


حسب المخطط, الأكسجين الفعال (النشط) موجود على شكلين مختلفين :

- الأكسجين الفعال (actif) الممتز فيزيائيا (physisorbé) على شكل جذر الهيدروكسيل الممتز ($\text{MO}_x[\text{OH}^\bullet]$).

- الأكسجين الفعال الممتز كيميائيا (chimisorbé) على شكل أكسجين موجود داخل الشبكة البلورية للأكسيد الأعلى (MO_{x+1}).

في غياب المركبات العضوية القابلة للأكسدة، الأكسجين الفعال ينتج غاز الأكسجين حسب التفاعلات التالية :

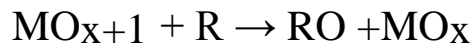


في وجود المركبات العضوية , هناك ميكانيزمين للتحلل ممكن الحدوث :

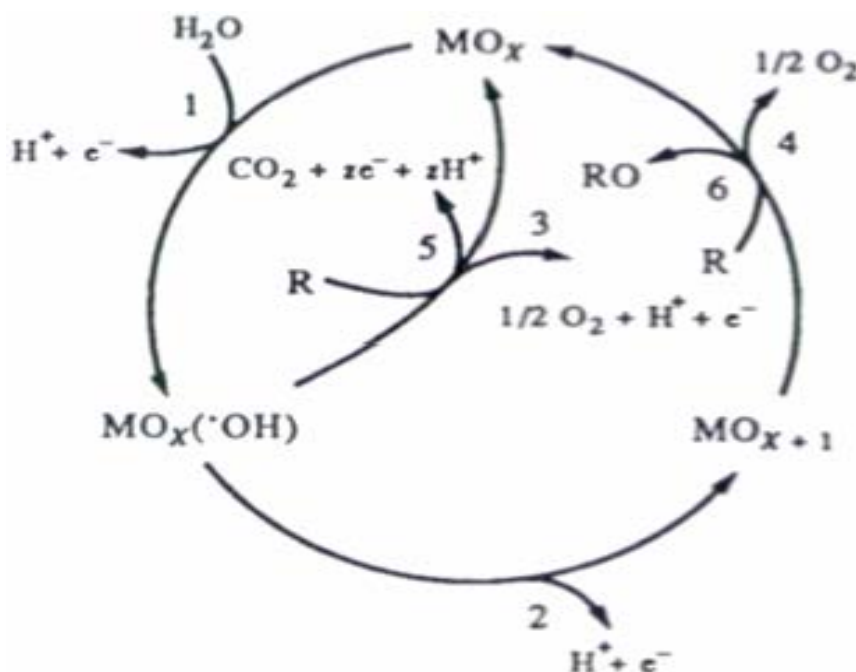
- جذر الهيدروكسيل من خلال هجوم الكتروفيلي على المركبات العضوية يؤدي الى احتراقها التام (combustion complète) عند سطح الأنود.



- أكسدة المركبات العضوية بواسطة الأكسيد الأعلى (MO_{x+1}) الذي يؤدي عموما للتشكيل الانتقائي لأصناف مؤكسدة (espèces oxydées).



اذن ميكانيزم أكسدة المركبات العضوية يختلف من قطب أكسيد الى آخر حيث أن أقطاب الأكاسيد مثل IrO_2 , RuO_2 تؤدي الى التحويل الكهروكيميائي (أكسدة انتقائية). أما أقطاب الأكاسيد مثل SnO_2 , PbO_2 فإنها تسمح بالاحتراق الكهروكيميائي (أكسدة تامة).



الشكل 5.I : المخطط العام للأكسدة المباشرة للمركبات العضوية على الأقطاب من نوع الأكسيد (MO_X).

2.1.1.3.I- الأكسدة الغير مباشرة عند القطب.

1.2.1.1.3.I- الأكسدة الأنودية غير المباشرة.

في هذا النوع من الأكسدة التفاعل الأساسي الذي يحدث عند الأنود ليس أكسدة الملوث العضوي الموجود في المحلول، بل هو الأكسدة الأنودية لصنف كيميائي موجود في المحلول ينتج عنها عامل مؤكسد قوي يقوم بأكسدة الملوث العضوي. هذه الأكسدة يمكن أن تكون عكوسة أو لا عكوسة.

لتحقيق فعالية عالية خلال الأكسدة الأنودية الغير مباشرة يجب أن يتحقق مايلي:

- الكمون الذي ينتج عنده العامل المؤكسد لا يكون قريب من كمون انطلاق الأكسجين وهذا بهدف عدم استعمال نسبة كبيرة من التيار الكهربائي في تفاعل غير مرغوب فيه (انطلاق الأكسجين).
- سرعة أكسدة الملوثات العضوية بالعامل المؤكسد أكبر بكثير من سرعة أي تفاعل منافس.

- امتزاز الملوثات العضوية أو أصناف كيميائية أخرى على سطح القطب يجب أن يكون منخفض جدا و هذا حتى لا يتم كبح سرعة الإنتاج الكهروكيميائي للعامل المؤكسد.

خلال الأكسدة الأنودية الغير مباشرة العكوسة, العوامل المؤكسدة للملوثات العضوية في الغالب تكون معادن انتقالية في حالة تكافؤها الأعلى ناتجة كهروكيميائيا من الأكسدة الأنودية لمعادن أقل تكافؤ موجودة في المحلول , الجدول (2.I) يعرض العوامل المعدنية المؤكسدة الأكثر استعمالا في الأكسدة الغير مباشرة العكوسة للملوثات العضوية.

Couple médiateur	Potentiel standard de réduction (Vvs.SHE)
Ag(I/II)	1.98
Co(II/III)	1.82
Ce(III/IV)	1.44
Fe(II/III)	0.77

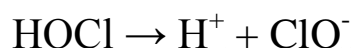
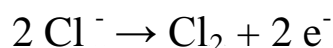
الجدول 2.I : العوامل المعدنية المؤكسدة الأكثر استعمالا في الأكسدة الأنودية الغير مباشرة العكوسة للملوثات العضوية [I.7].

العامل المعدني المؤكسد يرجع خلال أكسدته للملوث العضوي الى أيون معدني أقل تكافؤ, هذا الأخير تتم إعادة أكسدته على سطح الأنود لإنتاج العامل المؤكسد من جديد الذي يساهم في دورة تحليل الملوث العضوي.

الأقطاب الأنودية المستعملة في هذه التقنية يجب أن يكون لها "جهد زائد" مرتفع اتجاه انطلاق الأكسجين بهدف عدم انخفاض المردود الفارادي للتفاعل الأساسي نتيجة انطلاق الأكسجين , الأقطاب المستعملة عموما هي من نوع التيتان المغطى بالبلاطين.

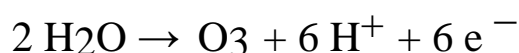
عملية تحليل الملوث العضوي بواسطة الأكسدة الأنودية الغير مباشرة يمكن أن تكون لا عكوسة, كما هو موضح من خلال التقنيتين التاليتين:

- الأكسدة غير المباشرة بالهيبوكلوريت (hypochlorite) HClO [I.20] الناتج من تفاعل الماء وغاز الكلور Cl_2 الناتج من أكسدة شوارد الكلور Cl^- الموجودة في المحلول على سطح الأنود. التفاعلات الحادثة هي:



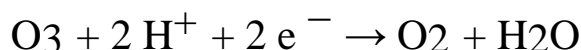
عند pH أقل من 5 فإن Cl_2 هو الصنف الغالب , حيث HOCl غير مستقر في هذه الشروط , لذا من الضروري ابقاء قيمة الـ pH أكبر من 5 و هذا للحصول على الفعالية في انتاج HOCl وتجنب ضياع غاز الكلور Cl_2 . الأقطاب المستعملة لانتاج غاز الكلور كهروكيميائيا هي من النوع DSA (IrO_2 , RuO_2 , $\text{RuO}_2/\text{IrO}_2$) أو SPR (SnO_2 - PdO - RuO_2 - TiO_2).

- أكسدة الملوثات العضوية عن طريق غاز الأوزون O_3 [I.21] الناتج عن أكسدة الماء على سطح الأنود حسب التفاعل:



ميكانيزم لأكسدة الملوث العضوي بغاز الأوزون يمكن حدوثهما:

- حسب الميكانيزم الأول , الملوث العضوي يتأكسد مباشرة بالأوزون وهذا الأخير يرجع حسب التفاعل:



- في الميكانيزم الثاني الملوث العضوي يتأكسد عن طريق جذور مؤكسدة ناتجة عن تفكك الأوزون.

انتاج الأوزون خلال التحليل الكهربائي أكثر صعوبة ترموديناميكيا من انتاج غاز الأكسجين, لذا من الضروري لإنتاج O_3 كهروكيميائيا مع فعالية في التيار الكهربائي اختيار أقطاب أنودية لها "جهد زائد" مرتفع جدا اتجاه انطلاق الأكسجين, كما أن اضافة بعض الممتزات مثل F^- يحفز تفاعل انتاج الأوزون ويثبط ميكانيزم انطلاق الأكسجين.

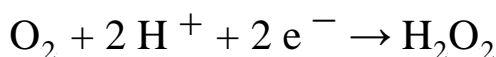
الأكسدة الأنودية غير المباشرة, العكوسة أو اللا عكوسة تسطيع المحافظة على تراكيز الأصناف النشطة كهروكيميائيا عند مستوى ثابت ومرتفع بما فيه الكفاية مما يجعل النفودية لا تتحكم في التفاعل عند سطح القطب, لكن رغم هذه النقطة الايجابية هذا النوع من المعالجة يواجه عدة مشاكل نذكر منها:

- بعض الكاتيونات المعدنية المستعملة في الحصول على العوامل المؤكسدة القوية تنتمي الى فئة المعادن الثقيلة التي تصنف على أنها من ملوثات البيئة.
- التركيز الكبير لكلوريد الصوديوم المستعمل لضمان فعالية جيدة للتيار الكهربائي خلال انتاج الهيبوكلوريت.
- خلال عملية انتاج الهيبوكلوريت تتشكل المركبات العضوية المكلورة (*organochlorés*) التي البعض منها مسبب للسرطان.
- انتاج الأوزون كهروكيميائيا يتطلب كثافة تيار جرد مرتفعة مما يؤدي الى زيادة التكلفة الطاقوية.

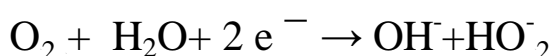
2.1.1.3.2.I - الأكسدة الغير مباشرة عند الكاتود

كهروأكسدة الملوثات العضوية بواسطة ميكانيزمات كاتودية غير مباشرة يعتمد على انتاج بيروكسيد الهيدروجين H_2O_2 (مؤكسد قوي) [I.22] على سطح الكاتود انطلاقا من ارجاع الأكسجين (الموجود في الهواء أو النقي) الذي يتم ضخه في خلية التحليل الكهربائي حسب التفاعلات :

- وسط حمضي:



- وسط قاعدي:



اذن الصنف النشط لبيروكسيد الهيدروجين هو H_2O_2 أو HO_2^- حسب الـ pH حامضي أو قاعدي لأن H_2O_2 يتفكك [I.7] الى HO_2^- حسب التفاعل التالي :



عملية أكسدة الملوثات العضوية عن طريق بيروكسيد الهيدروجين لها عدة مزايا :

- بيروكسيد الهيدروجين مؤكسد قوي يمكن انتاجه عند المهبط في شروط معتدلة.
- تفاعل الأكسدة يؤدي الى انتاج الماء, هذا الأخير غير ملوث للبيئة.

لا اعتبارات اقتصادية وبيئية فإن التطبيق الجيد لتفاعل الانتاج الكهروكيميائي لبيروكسيد الهيدروجين انطلاقا من الأكسجين يتطلب استخدام كاتود من الكربون وتطوير تكنولوجيا تمكن من حل المشاكل المتعلقة بالانحلالية المنخفضة للأكسجين في المحاليل المائية.

خلال العمل بالأقطاب الكاثودية المسطحة [I.23] لوحظ حد لانتقال المادة (transfert de masse) و بناء على هذا تم تطوير الأقطاب التالية :

- الأقطاب ثلاثية الأبعاد (tridimensionnelles) ذات المساحة النوعية الكبيرة مثل الكربون الزجاجي الشبكي (RCV).
- القطب الكاثودي ذو النفوذ الغازي (cathode à diffusion gazeuse).

هذان النموذجين من الأقطاب يؤدي الى زيادة معتبرة في حركية انتاج بيروكسيد الهيدروجين

أكسدة المركبات العضوية ببيروكسيد الهيدروجين نادرا ما يؤدي الى احتراقها التام الذي ينتج عنه الماء وغاز ثاني أكسيد الكربون , فمثلا أكسدة الفورمالديهيد تتم بشكل فعال لكن الناتج النهائي هو حمض الفورميك . للحصول على الاحتراق التام نضيف شوارد Fe^{2+} التي تفكك بيروكسيد الهيدروجين فينتج جذر الهيدروكسيل OH^\cdot (مؤكسد قوي جدا) الذي يؤدي الى الاحتراق التام للمركبات العضوية .

الكهروأكسدة غير المباشرة عند المهبط عن طريق H_2O_2 اختبرت بنجاح مع العديد من المركبات العضوية مثل الفورمالديهيد , الفينول , الكريسول , الأنيلين , الهيدروكينون و حمض الأوكساليك.

2.3.I- الملوثات المعدنية

معالجة الملوثات المعدنية يعني قطاعات صناعية عديدة نذكر منها:

- معالجة الخامات المعدنية بالمحاليل المائية (hydrometallurgie)
- معالجة السطوح (traitement de surface).
- المصانع الفوتوغرافية.

الكهروكيمياء تستخدم في معالجة الأيونات المعدنية الموجودة في النفايات الصناعية السائلة وفق عدة مقاربات :

- ارجاع هذه الأيونات المعدنية على الكاثود (cathode), حيث في الغالب تسترجع على شكل فيلم أو مسحوق معدني يمكن بيعه أو إعادة تدويره (recyclage) في العملية الصناعية (procédé).
- معالجة أيون الكروم Cr^{3+} الموجود في النفايات الصناعية بترسيبه على شكل هيدروكسيد أو بتجديد التدفق عن طريق أكسدته الى أيون الكروم Cr^{6+} .
- نزع الملوثات المعدنية تحت التحكم النفوذ في الأيونات عبر غشاء مبادل للأيونات.

1. 2.3.I- التحليل الكهربائي المباشر للنفايات الصناعية المحتوية على المعادن الثقيلة.

تطبيق الطرق الكهربائية في استرجاع أيونات المعادن الثقيلة من المحاليل المخففة [I.23] أصبحت ممكنة بفضل التطوير المستمر لتصاميم جديدة لخلايا التحليل الكهربائي المستعملة في هذا الميدان .

نظرا لانخفاض تراكيز الأيونات المعدنية المراد ارجاعها فإن حركية التفاعل تخضع لانتقال المادة الى القطب (transfert de masse), في هذه الشروط السرعة القصوى تعطى بالتيار الحدي I_l للنفوذية :

$$I_l = k_m \cdot A \cdot n \cdot F \cdot c^0$$

c^0 : التركيز الابتدائي للأيون المعدني في النفاية الصناعية السائلة.

F : عدد فاراداي.

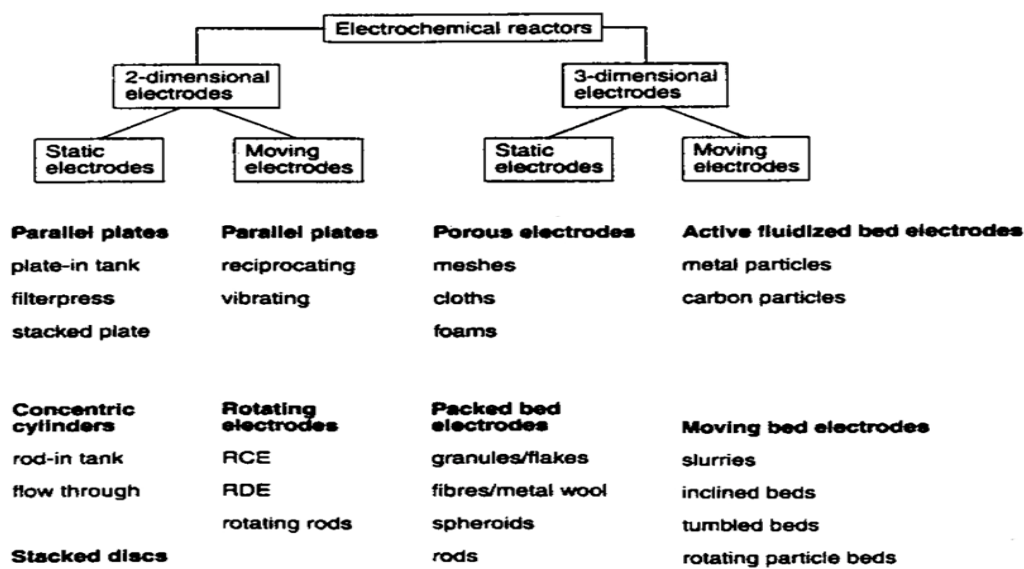
n : عدد الالكترونات.

A : مساحة القطب.

k_m : معامل انتقال المادة.

نلاحظ من خلال علاقة التيار الحدي أنه لزيادة فعالية التوضع الكهربائي يجب زيادة مساحة القطب و معامل انتقال المادة. تبعا لهذه الاعتبارات تم تطوير نماذج مختلفة للخلايا.

الشكل (6.I) يعرض تصنيف المفاعلات الكهروكيميائية حسب التصميم, نوع الأقطاب المستعملة, طبيعة الحركة المرتبطة بالقطب و الالكتروليت.



الشكل 6.I : تصنيف المفاعلات الكهروكيميائية حسب تصميمها, نوع الأقطاب المستعملة

طبيعة الحركة المرتبطة بالقطب و الالكتروليت [I.7] .

I. 2.3. 2 - الخلايا الكهروكيميائية المستعملة في معالجة النفايات الصناعية السائلة المخففة.

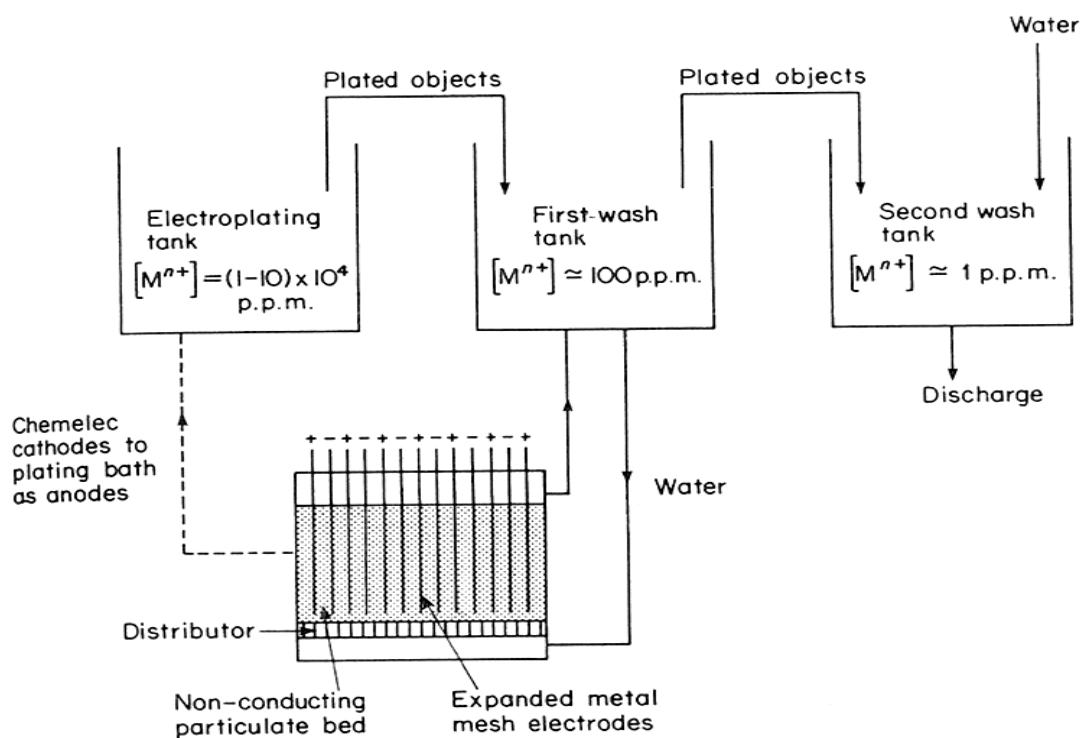
توجد عدة خلايا تتنوع من حيث الخصائص والاستعمالات و يمكن تصنيفها في المجموعتين التاليتين:

a - خلايا كهروكيميائية تزيد انتقال المادة

في هذه المجموعة توجد عدة أنواع من الخلايا نذكر منها الخليتين التاليتين:

- الخلية Chemelec الموضحة في الشكل (7.I) , تستعمل مهد مميّع من الجسيمات الغير ناقلة (مثل كرات زجاجية) لتوليد دوامة (turbulence) بهدف تحسين انتقال

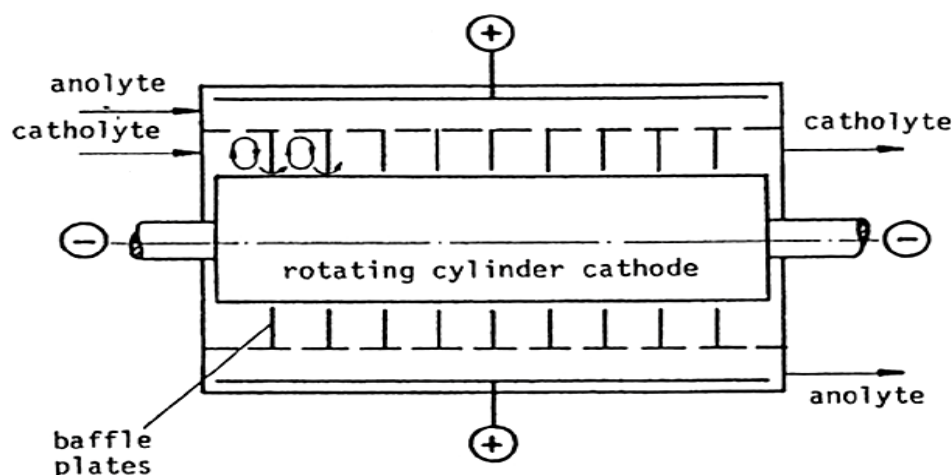
المادة الى القطب . هذه الخلية لا تسمح بخفض تركيز المعادن الثقيلة الى أقل من 1 mg/50 , لذا تستعمل في الغالب في مرحلة ما قبل المعالجة. لهذه الخلية استعمال واسع في صناعة الطلاء بالكهرباء (galvanoplastie) .



الشكل 7.I : خلية Chemelec المستعملة في حلقة اعادة تدوير حوض الشطف الخاص

بعملية الغلفنة (galvanisation) [I.24] .

- الخلية ECO-cell الموضحة في الشكل (8.I) , تستعمل أقطاب أسطوانية دوارة (RCE) لتوليد دوامة في المحلول تسمح بالحصول على معامل انتقال المادة مرتفع مما يزيد في سرعة انتقال المادة, حيث أن سرعة توضع الأيونات المعدنية على القطب مرتفعة حتى بالنسبة للتركيزات المنخفضة للأيونات في النفايات السائلة. هذه الخلية لها درجة تحويل (conversion) عالية. من أهم تطبيقات هذه الخلية استرجاع الفضة الموجودة في نفايات الصناعة الفوتوغرافية.



الشكل 8.I: مخطط خلية التحليل الكهربائي ECO-cell [I.24].

(b) الخلايا التي تزيد انتقال المادة ولها أقطاب ذات مساحة نوعية كبيرة

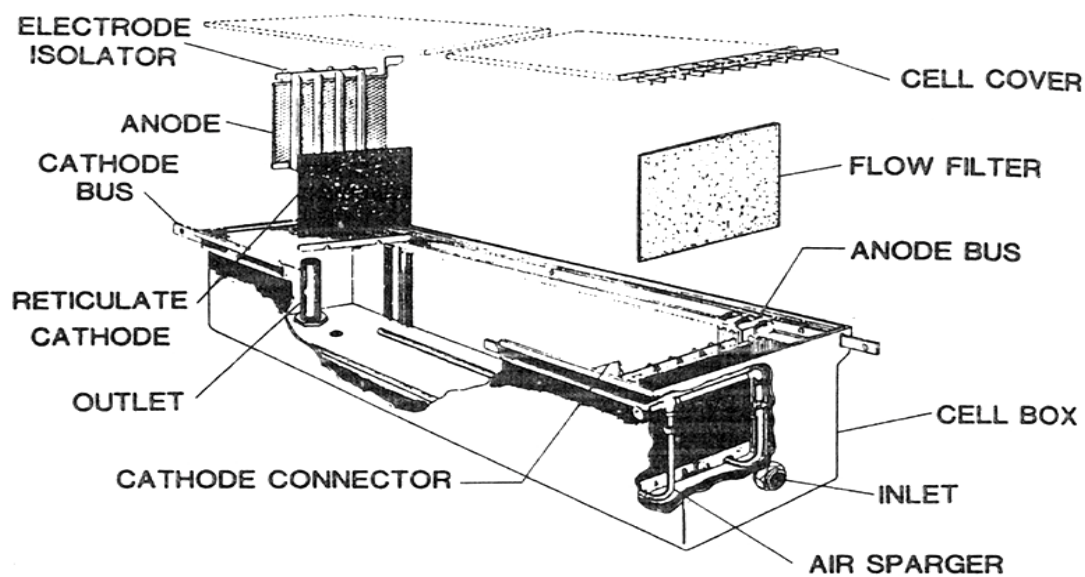
إن بنية الأقطاب ثلاثية الأبعاد تعطي مساحة نوعية كبيرة تمكن من زيادة معامل انتقال المادة عند عبور الالكترونوليت من خلال ثقوبها، هذه الخلايا تمكن خفض تراكيز الايونات المعدنية الى قيم قريبة أو أقل من ppm بمردود فارادي مرتفع .

المواد المستعملة في صناعة أقطاب هذه الخلايا متنوعة بحيث توجد على الأشكال التالية:

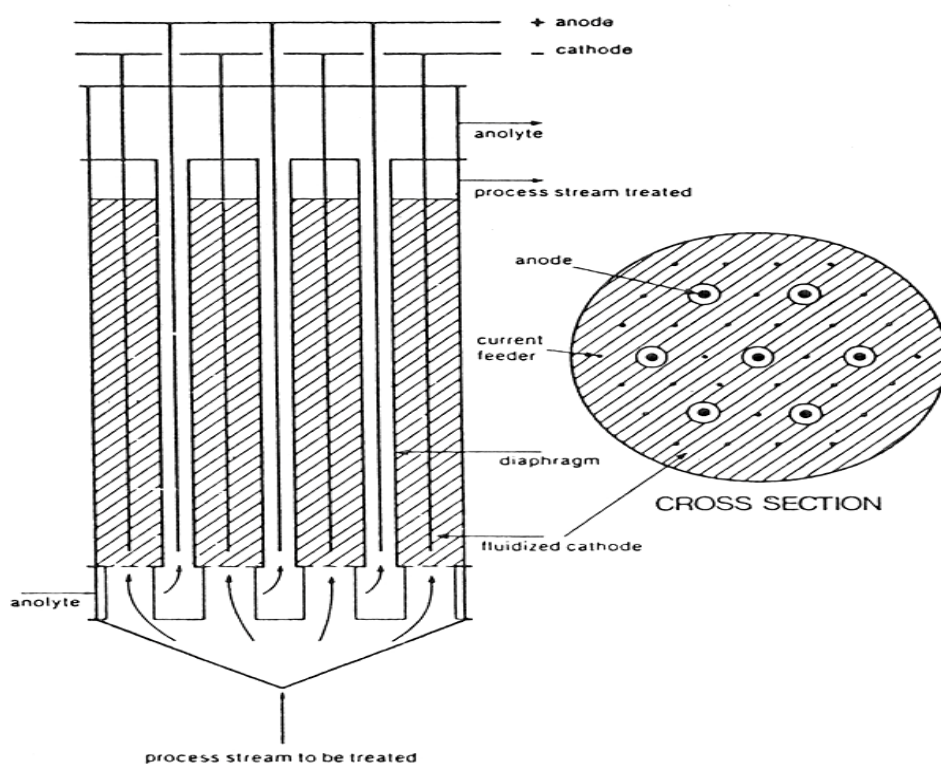
- سرير مكون من عدد كبير من الجسيمات مثل كرات الرصاص الصغيرة، ألياف الكربون .
- مصفوفات
- مثقبة مستمرة مثل رغوة المعادن , رغوة الكربون .

الخلايا المسوقة ذات التصميم ثلاثي الأبعاد متعددة نذكر منها الأنواع التالية:

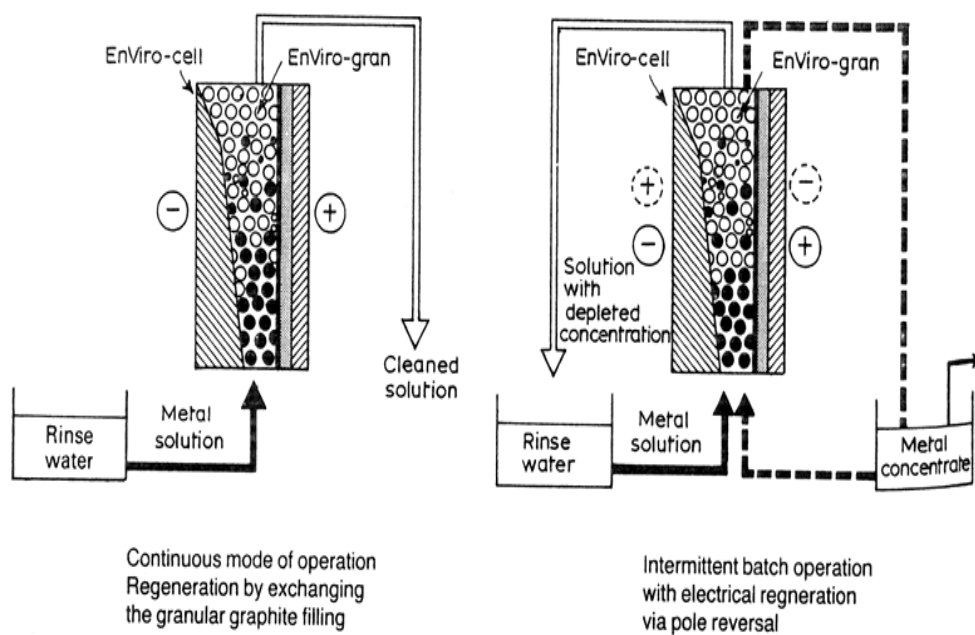
- الخلية RETEC الموضحة في الشكل (9.I).
- الخلية AKZO الموضحة في الشكل (10.I).
- الخلية EnViro-cell الموضحة في الشكل (11.I).



الشكل 9.I : خلية التحليل الكهربائي RETEC [I.26].



الشكل 10.I : خلية التحليل الكهربائي AKZO [I.25].



الشكل 11.I : خلية التحليل الكهربائي EnViro-cell [I.26].

الفصل II

دراسة الكبريتيد

الكيمياء, الكهروكيمياء, التلوث والمعالجة

1.II- تمهيد

يصنف الكبريتيد كملوث خطير على البيئة, لذا في هذا الفصل نعرض من جهة المصادر التي ينتج منها, أخطاره والطرق الكلاسيكية لمعالجته, ومن جهة أخرى نعرض دراسة كيميائية وكهروكيميائية خاصة بالكبريتيد مما يساعدنا على فهم وتطبيق المعالجة الكهروكيميائية لهذا الملوث.

2.II- كيمياء الكبريتيد**1. 2.II- تعريف الكبريتيد**

الكبريتيد (S^{2-}) هو شاردة الكبريت ذات الشحنة 2- , لهذه الشاردة خواص قاعدية و بالتالي نجده في المحلول المائي في اتزان مع الهيدروكبريتيد (HS^-) و كبريتيد الهيدروجين (H_2S), هذا الاخير يمكن أن يكون على شكل غاز H_2S .

تواجد و تركيز الاصناف الكيميائية (S^{2-}), (HS^-) و (H_2S) في المحلول المائي مرتبط بقيمة pH المحلول و ثوابت تفكك (pka_1, pka_2) كبريتيد الهيدروجين.

2. 2.II- توزيع أصناف الكبريتيد في المحلول المائي

الكبريتيد (S^{2-}) يصنف كقاعدة و لذا عند انخفاض pH فإنه يمكن أن يتحول الى HS^- , ثم H_2S .



$$|S^{2-}|_t = |H_2S| + |HS^-| + |S^{2-}|$$

$$|S^{2-}|_t = |H_2S| [1 + 10^{-pka_1} |H^+|^{-1} + 10^{-(pka_1+pka_2)} |H^+|^{-2}]$$

$$|S^{2-}|_t = |HS^-| [1 + 10^{-pka_1} |H^+|^{-1} + 10^{-pka_2} |H^+|^{-2}]$$

$$|S^{2-}|_t = |S^{2-}| [1 + 10^{pka_1} |H^+| + 10^{-(pka_1+pka_2)} |H^+|^2]$$

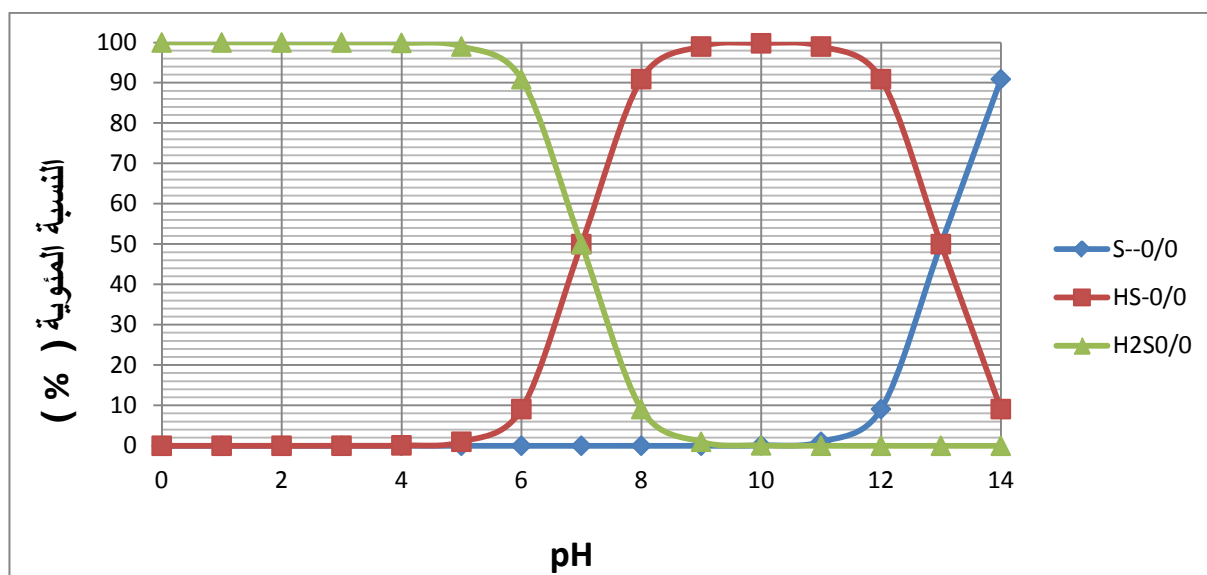
ثابت التفكك الأول لكبريتيد الهيدروجين معروف بشكل جيد $pk_{a_1} \sim 7$ على عكس القيم المقترحة لثابت التفكك الثاني, حيث تختلف بشكل ملحوظ حسب المؤلفين, الجدول (2.I) يعرض ثوابت تفكك كبريتيد الهيدروجين حسب مراجع مختلفة .

Reaction	Present work	Reference													
		[1]	[2]	[3]	[4]	[5]	[6]	[7]	[8]	[9]	[10]	[11]	[12]	[13]	[14]
$H_4S^{+2} \leftrightarrow H_3S^+ + H^+$	pk_{00}	1.8													
$H_3S^+ \leftrightarrow H_2S + H^+$	pk_0	2.12													
$H_2S \leftrightarrow HS^- + H^+$	pk_1	7.05	7.04	7.02	7.00	7.24	7.00	8.00	6.99	7.04	7.00			7.0	7.05
$HS^- \leftrightarrow S^{2-} + H^+$	pk_2	12.0	11.94	13.9	12.92	14.92	15.00	13.92	12.89	14.92	14.00	19±2	17.2	16	17 12.4

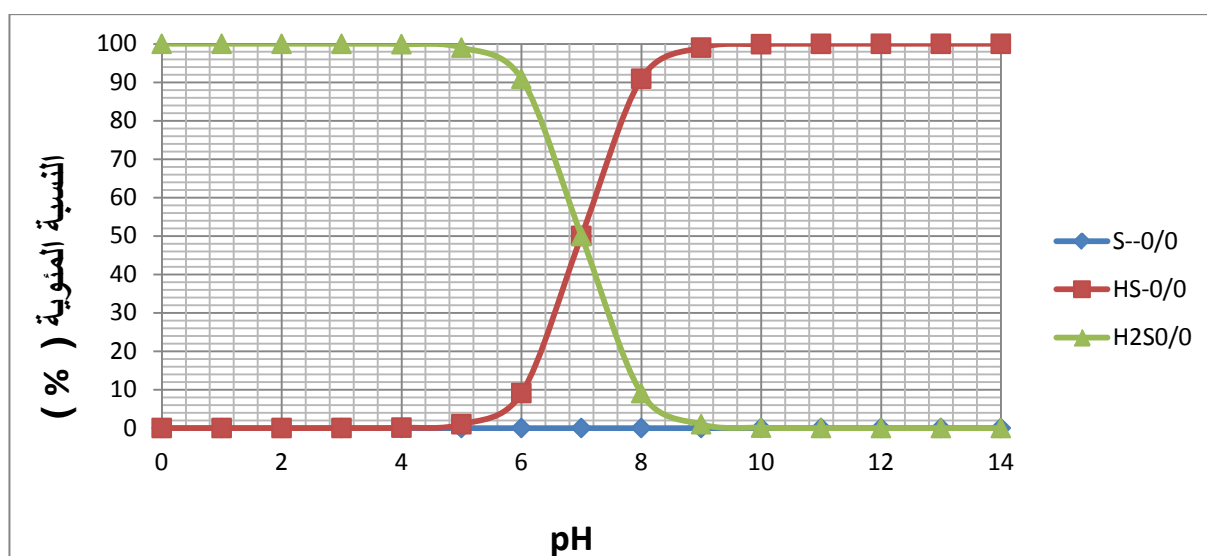
الجدول 1.II: ثوابت تفكك كبريتيد الهيدروجين حسب عدة مراجع [II.1] .

معظم الكتب تستعمل قيم لـ: $pk_{a_2} \sim 12 - 14$ و لكن دراسات حديثة تحصر قيمة pk_{a_2} بين 17 و 19 [II.2] و هذه القيمة الأخيرة هي المعتمدة في المؤلفات الحديثة [II.1]. قيم $pk_{a_2} \sim 17 - 19$ تعني أن الصنف الكيميائي S^{2-} غير موجود فعليا في المحلول المائي.

انطلاقا من القيم العددية لـ: pk_{a_1} ، pk_{a_2} و المعادلات السابقة تحصلنا على مخططات توزيع مختلف أصناف الكبريتيد حسب قي لم الـ pH كما هو واضح في الشكلين (1.II) و (2.II).



الشكل 3.II : توزيع الأصناف الكيميائية للكبريتيد بدلالة الـ pH ($pk_{a_1} = 7$, $pk_{a_2} = 12.9$).

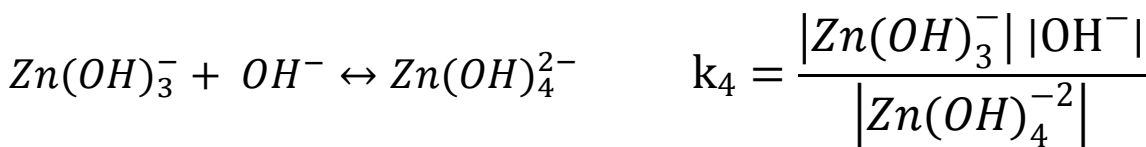
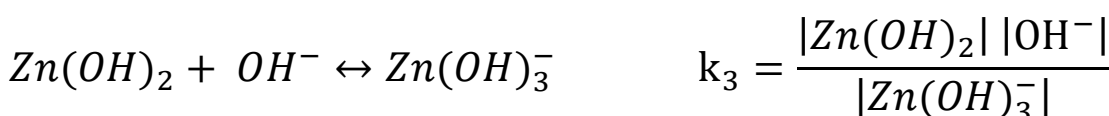
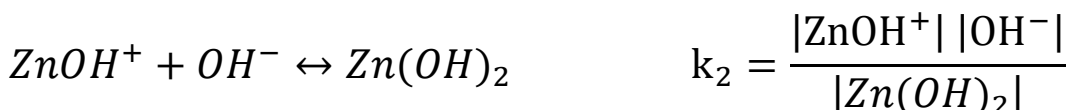


الشكل 3.II : توزيع الأصناف الكيميائية للكبريتيد بدلالة الـ pH ($pk_{a_1} = 7$, $pk_{a_2} = 19$).

2.II. 3- ترسيب الكبريتيد

الكبريتيد يمكن أن يترسب مع العديد من الكاتيونات المعدنية (Ag^+ , Cd^{2+} , Cu^{2+} , Fe^{2+} , Zn^{2+} , الخ) فمثلا خلال ترسيب الكبريتيد عن طريق كاتيون الزنك Zn^{2+} نتحصل على راسب أبيض هلامي , ينفصل على الشكل الأكثر انحلالية $k_s = 10^{-21.6}$, أما في حالة إعادة إذابة راسب كبريتيد الزنك فإن جداء انحلالته يكون أقل قيمة $k_s = 10^{-23.8}$ [II.3].

استقرار الراسب ZnS يتأثر بالخاصية القاعدية للكبريتيد و الخاصية الحامضية للكاتيون المعدني Zn^{+2} و التي تؤدي الى تشكل معقدات الهيدروكسيد (الهيدرومعقدات) عند ارتفاع الـ pH حسب التفاعلات التالية :



k_4, k_3, k_2, k_1 : ثوابت تشكل الهيدرومعقدات .

$$|Zn^{2+}|_t = |Zn^{2+}| + |ZnOH^{+}| + |Zn(OH)_2| + |Zn(OH)_3^{-}| + |Zn(OH)_4^{2-}|$$

$$|Zn^{2+}|_t = |Zn^{2+}| [1 + 10^{-14}k_1|H^{+}| + 10^{-28}k_1k_2|H^{+}|^{-2} + 10^{-42}k_1k_2k_3|H^{+}|^{-3} + 10^{-56}k_1k_2k_3k_4|H^{+}|^{-4}]$$

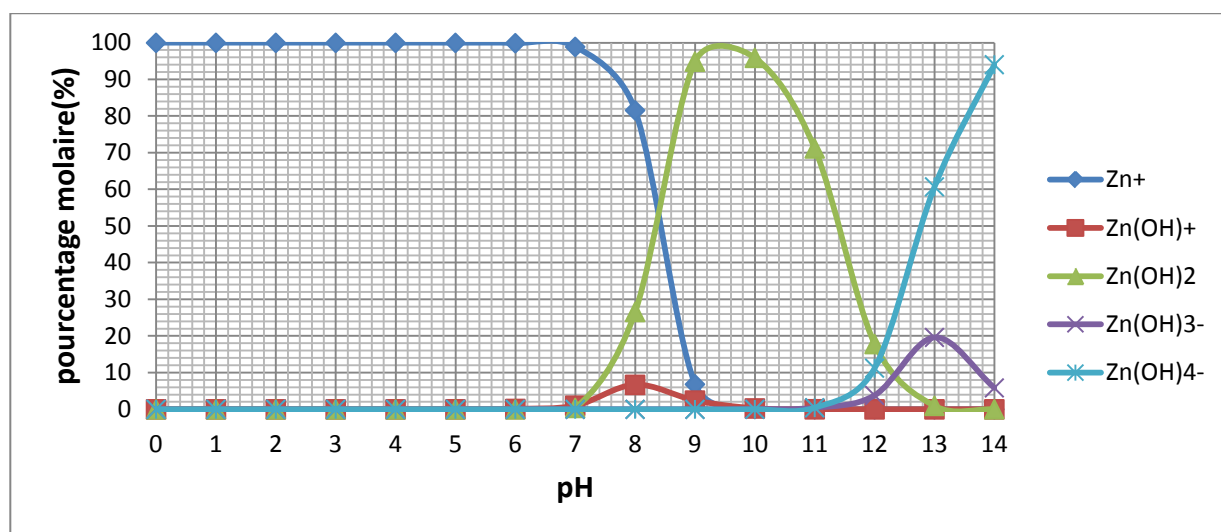
$$|Zn^{2+}|_t = |ZnOH^{+}| [1 + 10^{14}k_1^{-1}|H^{+}| + 10^{-14}k_2|H^{+}|^{-1} + 10^{-28}k_2k_3|H^{+}|^{-2} + 10^{-42}k_2k_3k_4|H^{+}|^{-3}]$$

$$|Zn^{2+}|_t = |Zn(OH)_2| [1 + 10^{28}k_1^{-1}k_2^{-2}|H^{+}|^2 + 10^{14}k_2^{-1}|H^{+}| + 10^{-14}k_3|H^{+}|^{-1} + 10^{-28}k_3k_4|H^{+}|^{-2}]$$

$$|Zn^{2+}|_t = |Zn(OH)_3^{-}| [1 + 10^{42}k_1^{-1}k_2^{-2}k_3|H^{+}|^3 + 10^{14}k_3^{-1}|H^{+}| + 10^{28}k_2^{-1}k_3^{-1}|H^{+}|^2 + 10^{-14}k_4|H^{+}|^{-1}]$$

$$|Zn^{2+}|_t = |Zn(OH)_4^{-2}| [1 + 10^{56} k_1^{-1} k_2^{-1} k_3^{-1} k_4^{-1} |H^+|^4 + 10^{-42} k_2^{-1} k_3^{-1} k_4^{-1} |H^+|^3 + 10^{28} k_3^{-1} k_4^{-1} |H^+|^2 + 10^{-14} k_4 |H^+|]$$

انطلاقاً من قيم الثوابت k_4, k_3, k_2, k_1 [II.4] والمعادلات السابقة، حصلنا على مخطط توزيع الاصناف الكيميائية: Zn^{2+} , $Zn(OH)_2$, $Zn(OH)_3^-$, $Zn(OH)_4^{2-}$ و $Zn(OH)^+$ بدلالة الـ pH كما هو مبين في الشكل (3.II).



الشكل 3.II : توزيع مختلف أصناف الزنك بدلالة الـ pH

خلال انحلال الراسب ZnS وفق التفاعل $ZnS \leftrightarrow S^{2-} + Zn^{2+}$ فإن عبارة جداء انحلاليتها تعطى بالعلاقة: $K_s = |S^{2-}||Zn^{2+}|$.

في حالة الأخذ بعين الاعتبار الخاصية القاعدية للكبريتيد (S^{2-}) و الخاصية الحمضية لكاتيون الزنك Zn^{2+} فإن عبارة جداء الانحلالية الظاهري (الشرطي) للراسب K'_s هي:

$$K'_s = |S^{2-}|_t |Zn^{2+}|_t$$

$$|S^{2-}|_t = |S^{2-}| [1 + 10^{pK_{a1}} |H^+| + 10^{(pK_{a1} + pK_{a2})} |H^+|^2]$$

$$|S^{2-}|_t = |S^{2-}| \alpha_{s(H)}$$

$$\alpha_{s(H)} = [1 + 10^{pk_{a1}} |H^+| + 10^{(pk_{a1}+pk_{a2})} |H^+|^2]$$

$$|Zn^{+2}|_t = |Zn^{+2}| \alpha_{Zn(OH)}$$

$$\alpha_{Zn(H)} = [1 + 10^{-14} k_1 |H^+| + 10^{-28} k_1 k_2 |H^+|^{-2} + 10^{-42} k_1 k_2 k_3 |H^+|^{-3} + 10^{-56} k_1 k_2 k_3 k_4 |H^+|^{-4}]$$

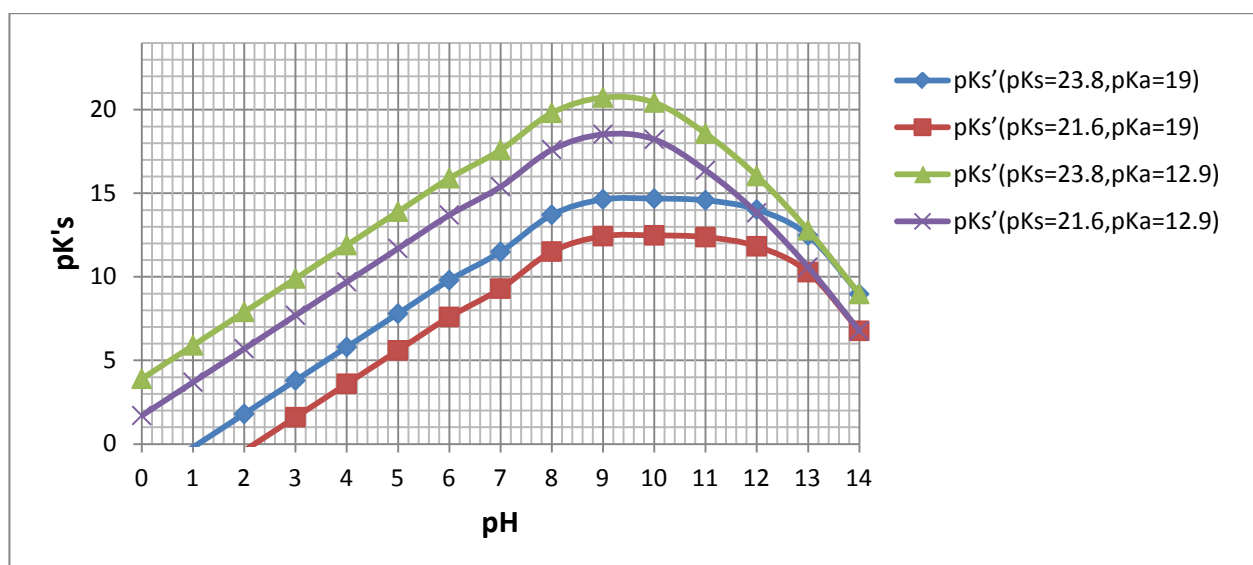
يمكننا كتابة :

$$K'_s = |S^{2-}| |Zn^{2+}| \alpha_{s(H)} \alpha_{Zn(OH)}$$

$$K'_s = K_s \alpha_{s(H)} \alpha_{Zn(OH)}$$

$$pK'_s = pk_s - \log \alpha_{s(H)} - \log \alpha_{Zn(OH)}$$

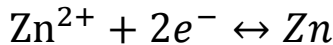
انطلاقاً من هذه العلاقة الأخيرة , نتحصل على منحنى تغير جداء الإنحلالية الظاهري لراسب كبريتيد الزنك بدلالة الـ pH الممثل في الشكل (4.II).



الشكل II. 4 : جداء إنحلالية كبريتيد الزنك بدلالة الـ pH.

من خلال الشكل (II. 4) نستخلص أن استقرار الراسب ينخفض عند قيم pH جد حامضية أو جد قاعدية , بينما يكون أكثر استقرار عند قيم $pH \sim 8 - 10$, كما نلاحظ أن قيمة الثابت الثاني لتفكك كبريتيد الهيدروجين لها تأثير على استقرار الراسب فعند القيمة الكبيرة ($pK_{a_2} = 19$) ينخفض استقرار الراسب ZnS .

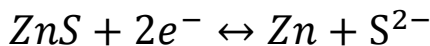
استقرار الراسب ZnS يتأثر بتفاعلات الأكسدة و الأرجاع , حيث يتم أرجاع كاتيون Zn^{2+} الى Zn حسب التفاعل :



كمون الأرجاع يعطى بعلاقة نارنست :

$$E = E_{Zn^{2+}/Zn}^0 + 0.03 \text{ Log}|Zn^{2+}| \quad E_{Zn^{2+}/Zn}^0 = -0.76 \text{ volt}$$

في الواقع التفاعل الذي يحدث هو :



كمون الإرجاع يعطى بالعلاقة التالية :

$$E = E'^0 - 0.03 \text{ Log}|S^{2-}|_t \quad E'^0 \text{ الكمون القياسي الظاهري}$$

جاء الانحلالية الظاهري للراسب ZnS يعطى بالعلاقة :

$$K'_s = |S^{2-}|_t |Zn^{2+}|_t \quad / \quad |Zn^{2+}|_t = |Zn^{2+}| \alpha_{Zn(OH)}$$

إذن يمكن كتابة :

$$|Zn^{2+}| = \frac{K'_s}{|S^{2-}|_t \alpha_{Zn(OH)}}$$

بالتعويض بقيمة $|Zn^{2+}|$ في العلاقة $E = E'^0 - 0.03 \text{ Log}|Zn^{2+}|$ نجد :

$$E = E'^0 - 0.03 pK'_s - 0.03 \text{ Log} \alpha_{Zn(OH)} - 0.03 \text{ Log}|S^{2-}|_t$$

بمطابقة هذه العلاقة الأخيرة مع العلاقة $E = E'^0 - 0.03 \text{ Log}|S^{2-}|_t$ نجد :

$$E = E'^0 - 0.03 pK'_s - 0.03 \text{Log} \alpha_{Zn(OH)}$$

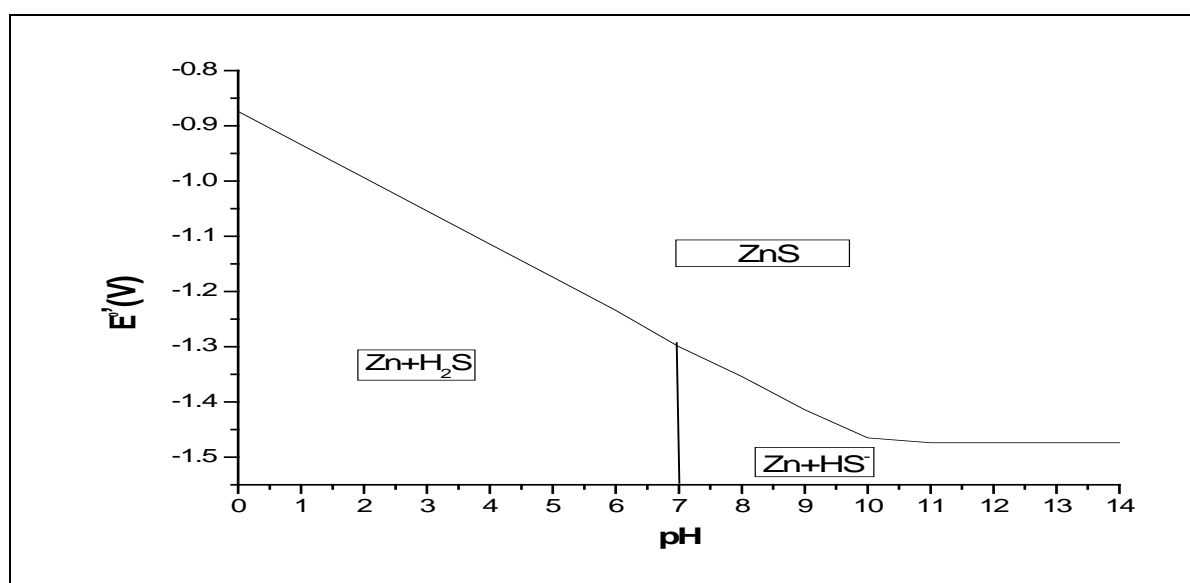
نعلم أن :

$$pK'_s = pK_s - \text{Log} \alpha_{Zn(OH)} - \text{Log} \alpha_{S(H)}$$

إذن يمكننا كتابة :

$$E^{0'} = E^0 - 0.03 pK_s - 0.03 \text{Log} \alpha_{S(H)}$$

إنطلاقاً من هذه العلاقة الأخيرة ، حصلنا على مخطط تغيرات الكمون القياسي الظاهري بدلالة الـ pH , كما هو مبين في الشكل (5.II)



الشكل II. 5 : تغيرات الكمون القياسي الظاهري للزوج ZnS/Zn بدلالة الـ pH.

من خلال الشكل (5.II) نستخلص أنه في الأوساط القاعدية يسهل أكسدة الزنك Zn إلى شوارد Zn^{2+} التي تتفاعل مع HS^- لتشكيل الراسب ZnS .

II.2-4- التحليل الكيفي لمحلول يحتوي على الكبريتيد والأيونات $S_2O_3^{2-}, SO_3^{2-}, SO_4^{2-}$

للكشف على هذه الأيونات في المحلول نتبع الخطوات التالية [II.5]:

1- تعيين الكبريتيد (S^{2-}) وفصله : نضيف 1 ملل من محلول نيتروبروسيد الصوديوم الى 1 ملل من المحلول المدروس, ظهو اللون الأحمر- البنفسجي يدل على وجود الكبريتيد الذي نقوم بفصله على شكل راسب CdS وذلك بإضافة قليل من كاربونات الكاديوم $CdCO_3$ الصلبة الى 2-3 ملل من المحلول المدروس ونقوم بالرج , ثم نفصل الراسب بالترشيح بحيث نحصل على الراشح (filtrat) الذي يحتوي على الأيونات $S_2O_3^{2-}, SO_3^{2-}, SO_4^{2-}$.

2- تعيين الثيوكبريتات ($S_2O_3^{2-}$): نأخذ قسم من الراشح ونضيف إليه حمض HCl تركيزه 2N ثم نقوم بالتسخين, تشكل تعكير (trouble) أبيض أو مصفر (كبريت) دليل على وجود الثيوكبريتات.

3- تعيين SO_3^{2-} و SO_4^{2-} : نضيف للقسم المتبقي من الراشح محلول كلوريد السترونتيوم $SrCl_2$ حتى حدوث الترسيب التام لـ SO_3^{2-} و SO_4^{2-} على شكل $SrSO_3$ و $SrSO_4$, ثم نقوم بغسل الرواسب جيدا وهذا لنزع أيونات $S_2O_3^{2-}$, ثم نعالج هذه الرواسب بـ 2ملل من الماء المقطر ونقسم المحلول الى قسمين.

a- تعيين SO_3^{2-} : نضيف لقسم من المحلول محلول HCl تركيزه 2N ونظيف قطرة قطرة محلول I_2 , تغير اللون يدل على وجود SO_3^{2-} .

b- تعيين SO_4^{2-} : نضيف للقسم المتبقي من المحلول محلول $BaCl_2$ فيتشكل الراسب الشحيح الذوبان $BaSO_4$ ثم نضيف محلول HCl (2N) بفائض, في حالة عدم انحلال الراسب فهذا يدل على وجود الكبريتات SO_4^{2-} .

II.3- كهرو كيمياء الكبريتيد

أكسدة الكبريتيد كهروكيميائيا في الغالب تجري بطريقة معقدة لأنها تؤدي الى عدة نواتج هي بدورها تستطيع أن تتفاعل كيميائيا و/أو كهروكيميائيا [II. 6].

II.3.1- أكسدة الكبريتيد

يمكن أكسدة الكبريتيد عن طريق المؤكسدات الكيميائية لكن ناتج الأكسدة يختلف من مؤكسد الى آخر, فعلى سبيل المثال أكسدة الكبريتيد بواسطة النترات NO_3^- الى كبريت أصعب ترموديناميكيا من أكسدته الى كبريتات [II. 7], لكن التفاعل الحادث هو تشكل الكبريت نظرا

لأن تفاعل الأكسدة إلى كبريتات بطيء حركيا، أما باستعمال مؤكسدات نشطة مثل MnO_4^- و Cl_2 فإنه يمكن أكسدة الكبريتيد إلى كبريتات [II. 8].

بالإضافة لاستعمال المؤكسدات الكيميائية لأكسدة الكبريتيد يمكن استعمال الطاقة الكهربائية لأكسدة الكبريتيد و ذلك بتطبيق كمون أو تيار كهربائي لأكسدة الكبريتيد على بعض الأقطاب التي تسمح بذلك مثل الذهب [II. 9 – 11] ، و البلاتين [II. 12,13] ، أكاسيد المعادن المختلطة (MMO) [II. 6] .

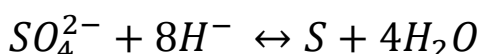
هذه الأكسدة تكون مباشرة أي أن الكبريتيد يؤكسد على سطح القطب المصعدي أو غير مباشرة بمعنى أن الكبريتيد يؤكسد بمؤكسد قوى ينتج كهروكيميائيا عند القطب المصعدي مثل انتاج المؤكسد Cl_2 من خلال أكسدة Cl^- على المصعد .

الأكسدة الكهربائية للكبريتيد يمكن أن تؤدي إلى عدة نواتج (كبريت ، كبريتات ، ثيوكبريتات ، سلفيت ، متعدد الكبريتيد ... الخ) حسب ظروف التفاعل

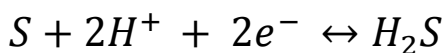
II.3.2- التفاعلات الكهروكيميائية المرتبطة بالكبريتيد

كهروأكسدة الكبريتيد في الغالب تؤدي إلى عدة نواتج هي بدورها يمكن أن تحدث لها تفاعلات أكسدة -إرجاع ، لذا عرض الباحثان THOMPSON، KELSALL [II. 14] التفاعلات الكهروكيميائية المرتبطة بالكبريتيد و قد تم تصنيفها في ثلاثة أنظمة.

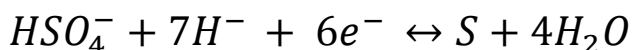
a- النظام $S.H_2O$ المستقر تررموديناميكيا :



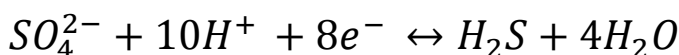
$$E = 0.3525 - 0.078 \log pH + 0.0099 \log |SO_4^{2-}|$$



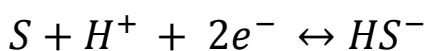
$$E = 0.144 - 0.0591 pH - 0.0296 \log |H_2S|$$



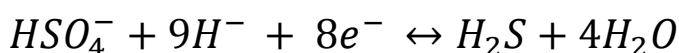
$$E = 0.3329 - 0.0690 pH + 0.0098 \log |HSO_4^-|$$



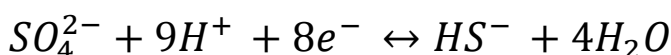
$$E = 0.3005 - 0.0739pH + 0.0074 \log \frac{|SO_4^{2-}|}{|H_2S|}$$



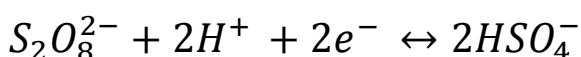
$$E = -0.0624 - 0.0296pH - 0.0296 \log |HS^-|$$



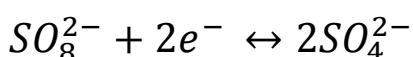
$$E = 0.2858 - 0.0666pH + 0.0074 \log \frac{|HSO_4^-|}{|H_2S|}$$



$$E = 0.2488 - 0.0666pH + 0.0074 \log \frac{|SO_4^{2-}|}{|HS^-|}$$

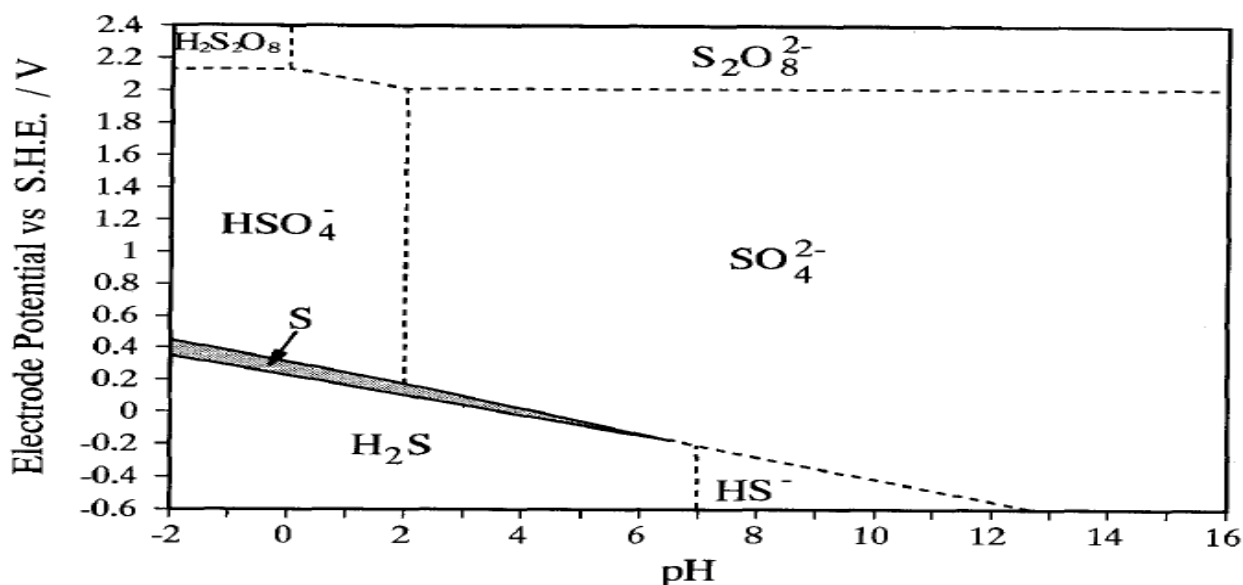


$$E = 2.0813 - 0.059pH + 0.0296 \log \frac{|S_2O_8^{2-}|}{|HSO_4^-|^2}$$



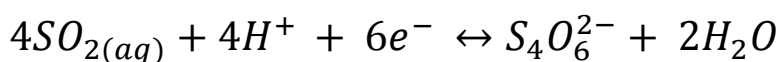
$$E = 1.9633 + 0.0296 \log \frac{|S_2O_8^{2-}|}{|SO_4^{2-}|^2}$$

إمكانية حدوث هذه التفاعلات ترموديناميكيا مرتبط بالكمون و قيمة pH المحلول ،لذا انطلاقا من حسابات ترمودينامكية باستعمال قيم طاقة جيبس ($Gibs$) لتشكيل الأصناف الكيميائية في النظام $S. H_2O$ عند درجة حرارة $T=298 K$, قام $KELSALL$ و $THOMSON$ بإنشاء المنحنيات $E-pH$, الشكل (6. II) يوافق النظام $S. H_2O$ المستقر ترموديناميكيا.

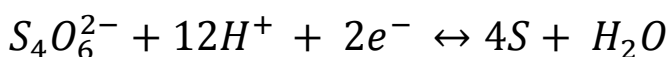


الشكل 6.II : مخطط E - pH للنظام $S.H_2O$ عند درجة حرارة $298.15 K$ [II. 14].

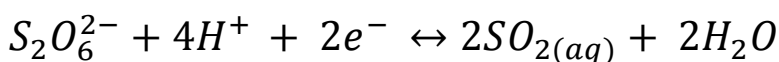
b - النظام $S.H_2O$ الشبه مستقر (*métastable*) ترموديناميكيا و الذي يستثنى
تشكل الصنف $S(VI)$.



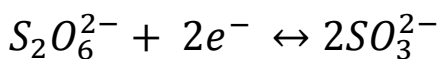
$$E = 0.5074 - 0.0394pH + 0.0098 \log \frac{|SO_{2(aq)}|^4}{|S_4O_6^{2-}|}$$



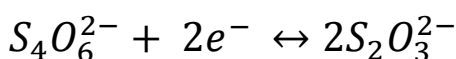
$$E = 0.4155 - 0.071pH + 0.0059 \log |S_4O_6^{2-}|$$



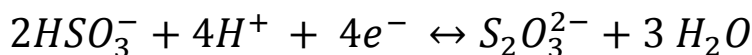
$$E = 0.5689 - 0.1183pH + 0.0296 \log \frac{|S_2O_6^{2-}|}{|SO_{2(aq)}|^2}$$



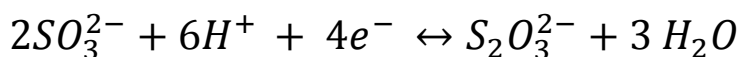
$$E = 0.0373 + 0.0296 \log \frac{|S_2O_6^{2-}|}{|SO_3^{2-}|^2}$$



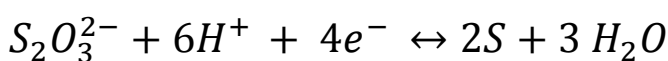
$$E = 0.798 + 0.0296 \log \frac{|S_4O_6^{2-}|}{|S_2O_3^{2-}|^2}$$



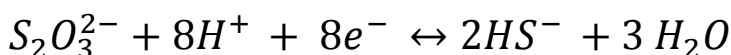
$$E = 0.4527 - 0.0591\text{pH} + 0.0296 \log \frac{|HSO_3^-|}{|S_2O_3^{2-}|^2}$$



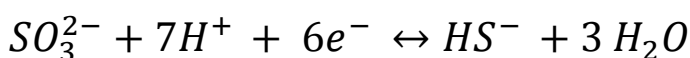
$$E = 0.6663 - 0.0887\text{pH} + 0.0148 \log \frac{|SO_3^{2-}|^2}{|S_2O_3^{2-}|}$$



$$E = 0.4994 - 0.0887\text{pH} + 0.0148 \log |S_2O_3^{2-}|$$

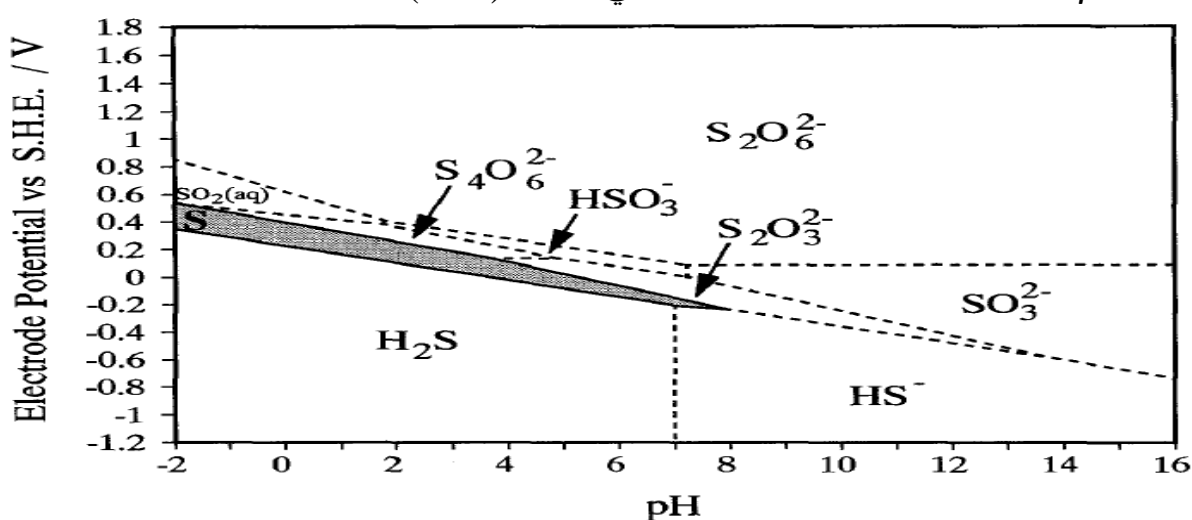


$$E = 0.2185 - 0.0591\text{pH} + 0.007 \log \frac{|S_2O_3^{2-}|}{|HS^-|^2}$$



$$E = 0.3677 - 0.069\text{pH} + 0.0098 \log \frac{|SO_3^{2-}|}{|HS^-|}$$

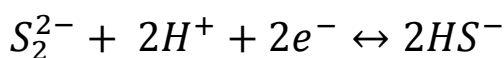
المخطط E - pH الموافق لهذه التفاعلات ممثل في الشكل (7. II)



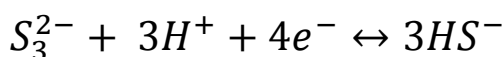
الشكل 7.II : مخطط E - pH للنظام $S.H_2O$ الشبه مستقر عند درجة حرارة

عند 298.15K (استثناء تشكل الصنف (S(VI)) [II. 14].

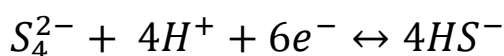
c - النظام $S. H_2O$ الشبه مستقر ترموديناميكيًا، والذي يستثنى الأصناف التي لها عدد أكسدة < 0



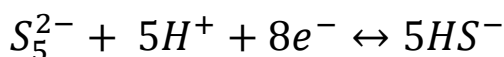
$$E = 0.2871 - 0.0591 \text{ pH} + 0.0296 \log \frac{|S_2^{2-}|}{|HS^-|^2}$$



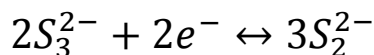
$$E = 0.0970 - 0.0444 \text{ pH} + 0.0149 \log \frac{|S_3^{2-}|}{|HS^-|^3}$$



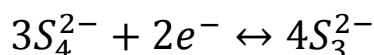
$$E = 0.0359 - 0.0394 \text{ pH} + 0.0099 \log \frac{|S_4^{2-}|}{|HS^-|^4}$$



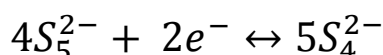
$$E = 0.0071 - 0.0370 \text{ pH} + 0.0074 \log \frac{|S_5^{2-}|}{|HS^-|^5}$$



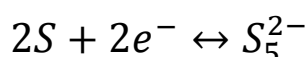
$$E = -0.4731 - 0.0887 \log |S_2^{2-}| + 0.0591 \log |S_3^{2-}|$$



$$E = -0.4529 - 0.1183 \log |S_3^{2-}| + 0.0887 \log |S_4^{2-}|$$

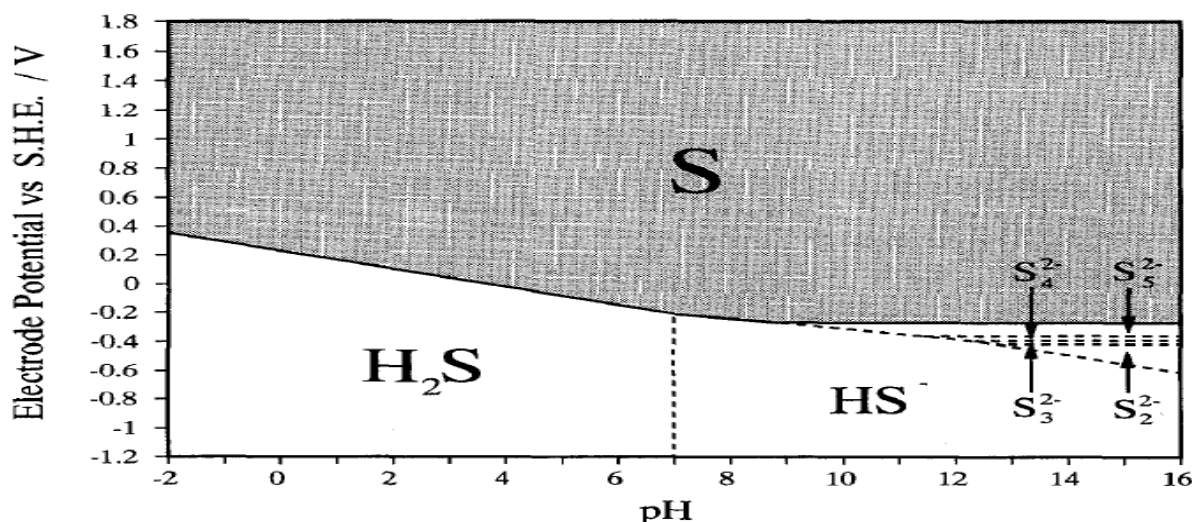


$$E = -0.426 - 0.1479 \log |S_4^{2-}| + 0.1183 \log |S_5^{2-}|$$



$$E = -0.3405 - 0.0296 \log |S_5^{2-}|$$

مخطط E-pH الموافق لهذه التفاعلات ممثل في الشكل (II. 8).



الشكل II. 8 : مخطط E-pH للنظام S. H₂O الشبه مستقر عند 298.15K

(استثناء الأصناف ذات عدد الأكسدة < 0) [II. 14] .

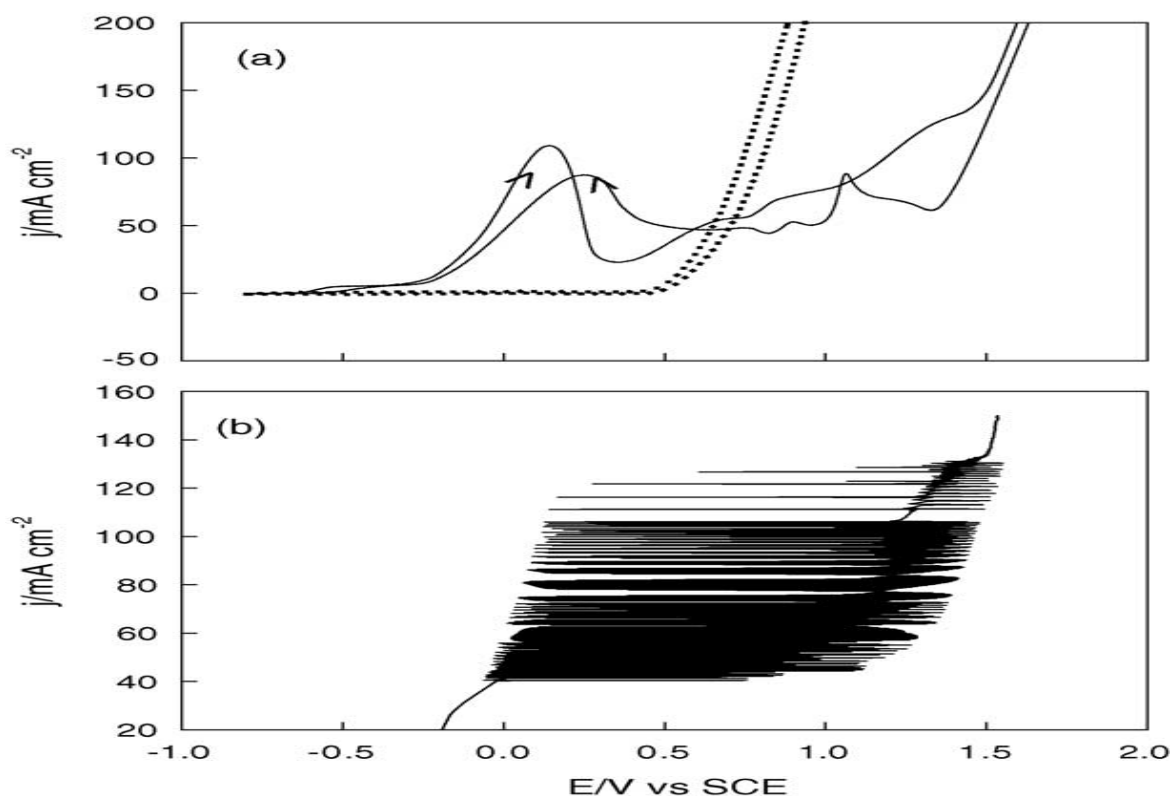
II.3.1- كهروأكسدة الكبريتيد باستعمال الأقطاب الأنودية

خلال دراسة كهروأكسدة الكبريتيد نتحقق أولا من أن القطب يسمح بأكسدة الكبريتيد, ثم فيما بعد نقوم بدراسة العوامل المؤثرة على عملية الأكسدة مثل درجة الحرارة, تركيز الكبريتيد, كثافة التيار الكهربائي.... الخ.

(a) إمكانية الكهروأكسدة : دراسة إمكانية أكسدة الكبريتيد على قطب معين تتم في الغالب بمقارنة الفولتاموغرام الدوري (voltamogramme cyclique) لمحلول الكبريتيد والفولتاموغرام الدوري لمحلول مرجعي.

عند دراسة إمكانية أكسدة الكبريتيد على قطب أكسيد المعدن المختلط $Ti/Ta_2O_5 - IrO_2$ تمت المقارنة بين محلول الكبريتيد (Na_2S) و محلول هيدروكسيد الصوديوم ($NaOH$) بنفس التركيز كما هو موضح في الشكل (II. 9. a) .

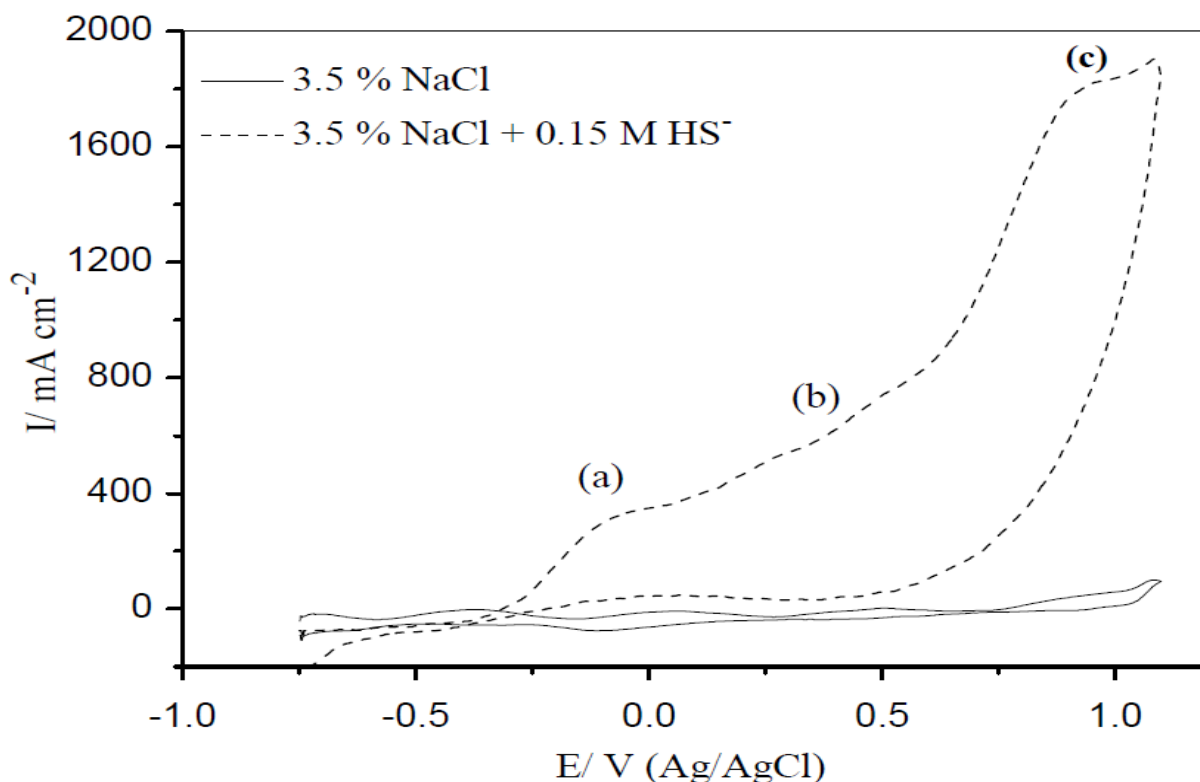
نلاحظ في فولتاموغرام هيدروكسيد الصوديوم أن التيار يبدأ في الزيادة عند كمون $0.5V/ECS$, بينما نلاحظ في فولتاموغرام الكبريتيد قبل هذه القيمة بداية زيادة في التيار عند $-0.65V/ECS$ و ظهور قمة كبيرة متمركزة عند $0.1V/ECS$ مما يدل على أكسدة الكبريتيد على القطب $Ti/Ta_2O_5 - IrO_2$.



الشكل II. 9 : (a) الفولطاموغرامين الدوريين لمحلول Na_2S 1 M (خط متواصل) ومحلول NaOH 1M (خط متقطع) وفق سرعة مسح كموني 20 mV/s (b) الفولطاموغرام الغلفاني الخطي لمحلول Na_2S 1 M وفق سرعة مسح غلفاني $20 \mu\text{A/s}$ [II.6].

بالنسبة لقطب البلاتين إمكانية أكسدة الكبريتيد تم التحقق منها بمقارنة محلول تركيزه NaCl 3.5% و محلول (HS^- 0.15M + NaCl 3.5%) كما يوضح الشكل (II. 10).

في فولطاموغرام المحلول NaCl لا نلاحظ زيادة واضحة في التيار خلال مسح الكمون، بينما نلاحظ في فولطاموغرام المحلول (HS^- 0.15 M + NaCl 3.5%) خلال مسح الكمون ظهور قمم و زيادة معتبرة في التيار مما يدل على أكسدة الكبريتيد (HS^-).



الشكل II. 10 : الفولتاموغراممين الدوريين لمحلول 3.5 % $NaCl$ (—) و محلول $(3.5\% NaCl + 0.15 M HS^-)$ (----) وفق سرعة مسح للكمون $10 mV/s$ و درجة حرارة $25^\circ C$ [II.13].

(b) نواتج الكهروأكسدة و الظواهر المرافقة لها : في الغالب النواتج [II. 9 – 13] هي الكبريت , متعدد الكبريتيد و الكبريتات.

الكبريت ينتج مباشرة عن أكسدة الكبريتيد ويكون على عدة أشكال:

- ممتز على سطح القطب
- طبقة ملتصقة على القطب تساهم في انقاص مردود الأكسدة.
- طبقات غير ملتصقة.

متعدد الكبريتيد ينتج من أكسدة الكبريتيد مباشرة ومن الانحلال الكيميائي للكبريت المتشكل.

تشكل الكبريتات يمكن أن يأتي من أكسدة الكبريتيد أو أكسدة الكبريت.

بالنسبة لبعض الأقطاب " التشكل - الانحلال " الدوري للكبريت يؤدي الى اهتزازات كمونية كما هو مبين في الشكل (II. 8. b), هذه الاهتزازات تنقص من عمر القطب (duré de vie).
الثيوكبريتات والسلفيت يتشكلان ثم يختفيان متحولين الى كبريتات [II.14] لأنهما غير مستقران خاصة في الأوساط القاعدية.

(c) **تأثير الحرارة :** زيادة درجة الحرارة تزيد في نسبة تفاعل أكسدة الكبريتيد والتفاعلات المرافقة [II. 13] , كما تساهم في زيادة الاهتزازات الكمونية [II. 6] مما يعني التأثير السلبي على القطب.

(d) **تأثير التركيز الابتدائي للكبريتيد :** زيادته تزيد في نسبة التفاعلات الحادثة والاهتزازات الكمونية.

(e) **كثافة التيار الكهربائي :** زيادة كثافة التيار تزيد في مردود الأكسدة , لكن يجب تطبيق تيار مناسب من الناحية الاقتصادية.

II.4- خطورة الكبريتيد

تكمّن خطورة الكبريتيد في تحوله الى غاز الكبريتيد الذي له الآثار السلبية التالية:

- الرائحة الكريهة.
- تهيج العينين
- فقدان الوعي
- غاز سام عند عتبة تتراوح بين 3 ppm و 5ppm حيث عند كمية 200 ppm يؤدي الى الموت بالاختناق في أقل من ساعة [II.15].
- ضار للبيئة وخاصة الكائنات الحية.
- تآكل المعادن والخرسانة.

II.5- مصادر التلوث بالكبريتيد

هناك العديد الأنشطة الصناعية الملوثة للبيئة بالكبريتيد نذكر منها [II.16] :

- **صناعة الدباغة :** تتم هذه الصناعة وفقا لعدة عمليات من بينها عملية "ازالة الشعر – التجيير" التي تستخدم فيها الكبريتيدات غير العضوية (Na_2S أو NaHS) و

الجير لإزالة الشعر وطبقة الجلد الخارجية , هذه العملية ينتج عنها سوائل محتوية على الكبريتيد في تدفقات المياه المستعملة.

- **صناعة الورق :** ينتج التلوث بالكبريتيد خلال عملية " كرافت" التي يستعمل فيه السائل الأبيض ($\text{NaOH} + \text{Na}_2\text{S}$) لحل (dissoudre) المواد الخشبية الجافة المستعملة في صناعة الورق.
- **الصناعة البترولية :** ينتج التلوث بالكبريتيد خلال عملية التكرير.

II.6- معالجة التلوث بالكبريتيد

تتم معالجة التلوث الناتج عن الكبريتيد بطرق عديدة , من بينها:

- **الأكسدة عن طريق الأكسجين في وجود محفز:** في وجود محفز (ملح معدني ثنائي, هيدروكينون , الكربون المنشط أو أسود الكربون) تتم أكسدة الكبريتيد بأوكسجين الهواء الى ثيوكبريتات , سلفيت أو حتى كبريتات. المحفز الأكثر استعمالا هو كبريتات المنغيز الذي يجب اذابته أولا في الماء قبل اضافته للنفايات السائلة المحتوية على الكبريتيد.

- **الأكسدة بالمركبات البيروكسيدية :** البيروكسيدات مثل بيروكسيد الهيدروجين وحمض البيروكسي لها تطبيق واسع في معالجة النفايات السائلة وتعتبر حل بسيط وملائم للبيئة. اضافات بسيطة لبيروكسيد الهيدروجين في النفايات السائلة يسمح بتحطيم الكبريتيدات الى كبريتات (وسط قاعدي) أو الكبريت الكلويدي (وسط حامضي) وفق التفاعلات التالية:



- **الترسيب باستعمال الأملاح المعدنية :** يمكن ترسيب الكبريتيد باستعمال أيونات الزنك أو الحديد على شكل حمات (boues) يتم التخلص منها فيما بعد. الترسيب بأيونات الحديد يستعمل في معالجة الكبريتيد الناتج عن الصناعات البترولية [II.17] .

- الأكسدة البيولوجية : تتم عن طريق بكتيريا لها خواص بيومؤكسدة عن طريق انتاجها الانزيمي مثل بكتيريا الثيوباسيليس (thiobacillus) التي تنتج أنزيم ثيو كسيداز (thioxidase) .

الفصل III

الجانب التطبيقي

كهروأكسدة الكبريتيد على قطب البلاتين

و

كهروترسيبه بالإنحلال الأنودي لمعدن

III.1- كهروأكسدة الكبريتيد على قطب البلاتين

III.1.1- دراسة إمكانية الكهروأكسدة باستخدام الفولطامتري الدورية

III.1.1.1 - طريقة العمل التجريبي

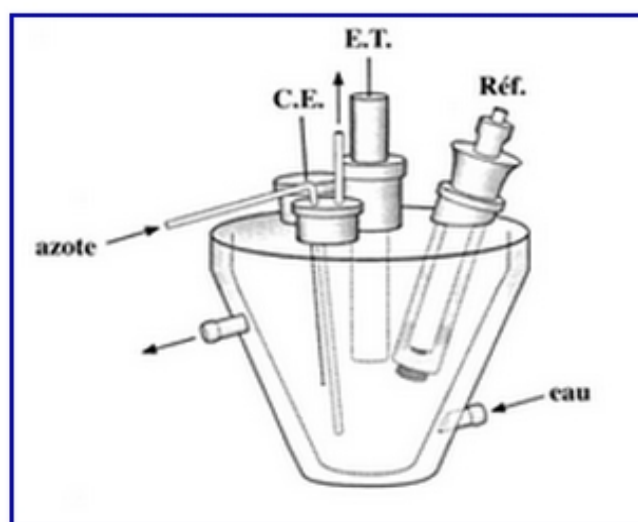
نحضر المحلولين التاليين :

- 100 ملل من محلول KCl ذو تركيز 0.2 M .

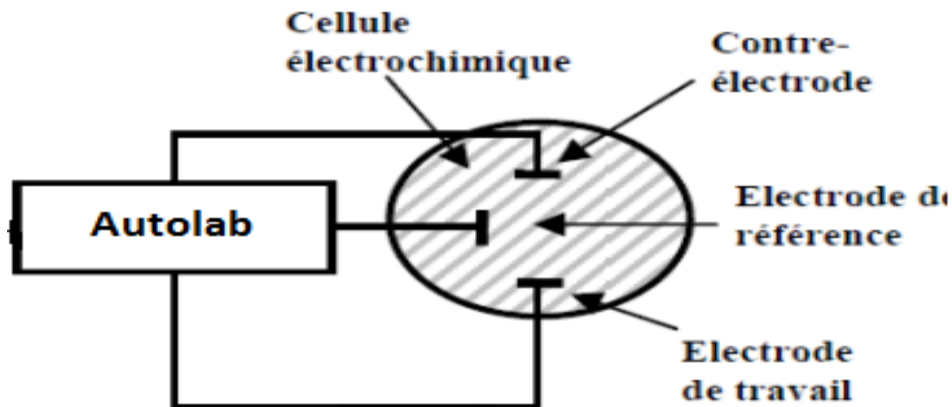
- 100 ملل من محلول (KCl 0.2M , Na₂S 0.01 M)

نقوم بدراسة هذين المحلولين عن طريق الفولطامتري الدورية (voltamétrie cyclique) باستعمال جهاز autolab 30 وخلية كهروكيميائية (الشكل III.1) ذات ثلاثة أقطاب: قطب العمل (Pt) , قطب ثانوي (Pt) و قطب مرجعي (Ag /AgCl(sat), الشكل (III.2) يبين مخطط التركيب التجريبي المستعمل في الفولطامتري الدورية.

نضع في كل مرة المحلول المراد دراسته في الخلية ثم نقوم بمسح مجال الكمون [- 0.75V, 1.2 V] ذهابا و إيابا بسرعة 50 mV/sec .
في نهاية التجربة نحصل على الفولطاموغرام الدوري للمحلول KCl 0.2M و المحلول (KCl 0.2M ,Na₂S 0.01 M) كما هو موضح في الشكل (III.3).

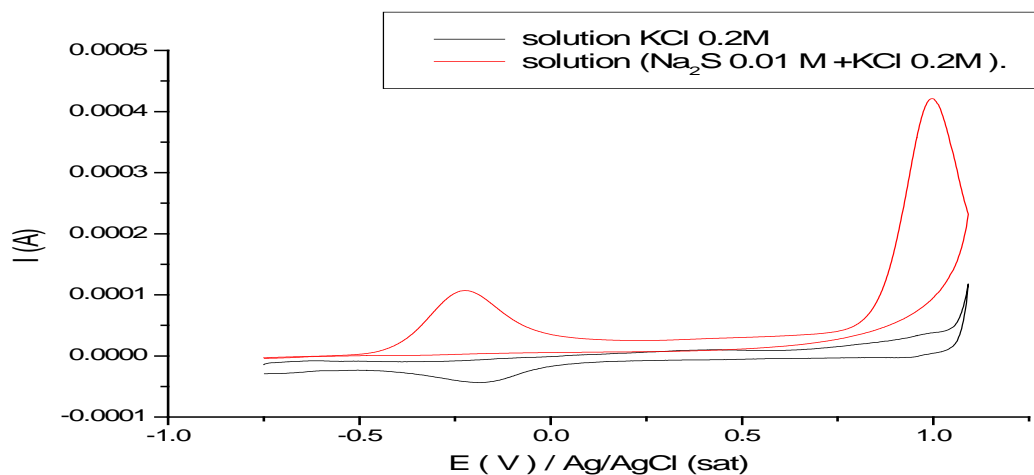


الشكل III.1: خلية كهروكيميائية ذات ثلاثة أقطاب.



الشكل 2.III: مخطط التركيب التجريبي المستخدم في الفولطامتري الدورية

III. 2.1.1 – نتائج ومناقشة



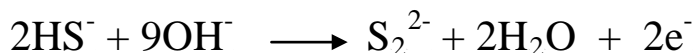
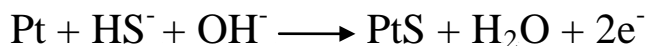
الشكل 3.III : الفولطاموغرامم الدوريين لمحلول $\text{KCl } 0.2 \text{ M}$ و

محلول $(\text{Na}_2\text{S } 0.01 \text{ M} + \text{KCl } 0.2 \text{ M})$ على

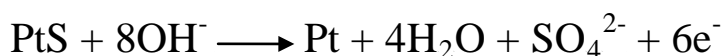
قطب البلاتين وفق سرعة مسح 50 mV/sec .

من خلال الشكل (3.III) نلاحظ في فولطاموغرام محلول KCl أن زيادة التيار عند مسح الكمون ذهاباً ضئيلة أو معدومة، بينما في فولطاموغرام محلول $(\text{Na}_2\text{S} + \text{KCl})$ نلاحظ زيادة واضحة للتيار وظهور قمتين عند $-0.25 \text{ V}(\text{Ag}/\text{AgCl})$ و $1 \text{ V}(\text{Ag}/\text{AgCl})$.

هاتين القمتين والزيادة في التيار تدل على أكسدة الكبريتيد (HS^-) كهروكيميائيا وحسب المرجع [II.13] فإن القمة الأولى يمكن أن تكون موافقة لتشكل كبريتيد البلاتين PtS ومتعدد الكبريتيد (polysulfures) حسب التفاعلات التالية:



أما القمة الثانية فيمكن أن تكون موافقة لتشكل الكبريتات نتيجة أكسدة كبريتيد البلاتين والكبريت المتوضع حسب التفاعلات التالية:



كما نلاحظ أن بداية زيادة التيار في فولتاموغرام المحلول ($\text{Na}_2\text{S} + \text{KCl}$) في جوار -4 V (Ag/AgCl) , موافق لمخطط E-pH المنجز من طرف الباحثان KELSALL و THOMPSON [II.14] و الممثل في الشكل (II. 8).

III. 2.1- نواتج الكهروأكسدة و تأثير العوامل التجريبية

III. 1.2.1 - طريقة العمل التجريبي

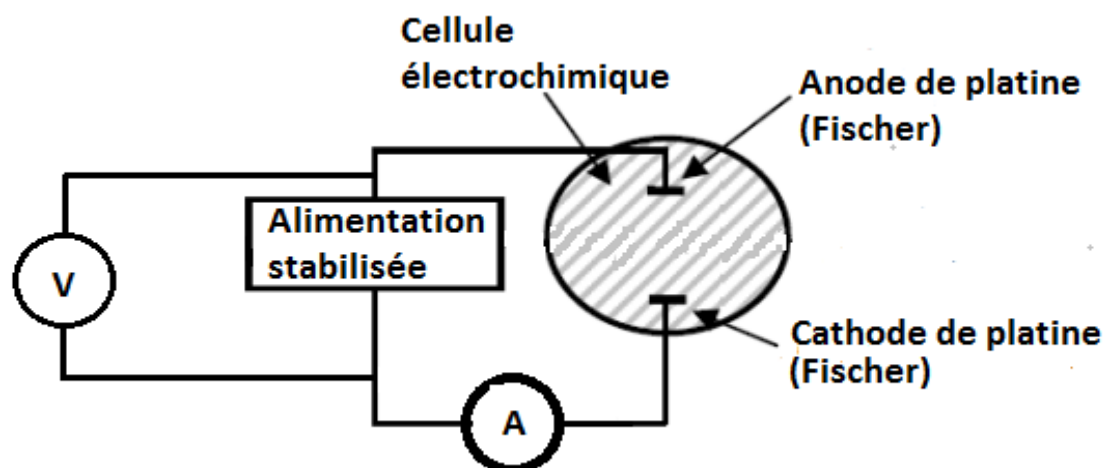
لإجراء هذه الدراسة نستعمل التركيب التجريبي الممثل تخطيطيا في الشكل (III. 4) و المكون من :

- جهاز للتغذية المستقرة بالتيار المستمر (alimentation stabilisée) .
- فولتامتر (V) لقياس الكمون.
- أومبيرمتر (A) لقياس التيار.
- خلية تحليل كهربائي (بيشر سعة 250 ملل) وقطبي فيشر من البلاتين (الشكل III. 5)

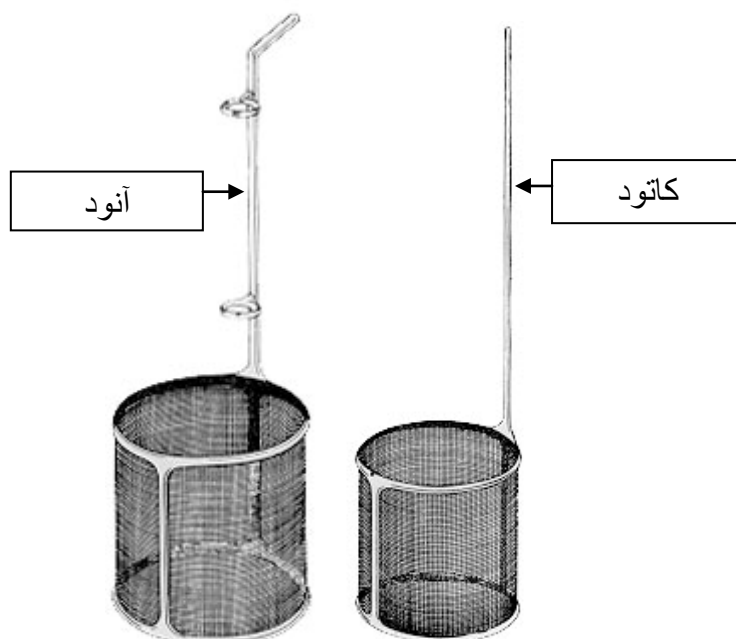
نقوم بوضع 200 ملل من محلول $\text{Na}_2\text{S} 0.01 \text{ M}$ في خلية التحليل الكهربائي خلال كل تجربة نريد اجرائها ونقوم بدراسة تغيرات التيار الكهربائي بدلالة تغير الكمون المطبق بين القطبين (الفولتامتري الخطية) أو تثبيت الكمون المطبق عند قيمة معينة ونقوم بتسجيل تغيرات التيار الكهربائي بدلالة الزمن (الكرونوأمبيرومتر) خلال مدة معينة من التحليل الكهربائي .

بالنسبة لنواتج كهروأكسدة الكبريتيد نستعمل طريقة التحليل الكيفي لمحلول [II.5] يحتوي على الكبريتيد HS^- و الأيونات: الثيوكبريتات $\text{S}_2\text{O}_3^{2-}$, السلفيت SO_3^{2-} و الكبريتات SO_4^{2-} . هذه الطريقة موضحة في الفصل الثاني.

حساب مردود كهروأكسدة الكبريتيد يتم بالتحليل الكمي (المعايرة الحجمية اللونية لمحلول الكبريتيد القاعدي بمحلول حمض HCl) للكبريتيد قبل وبعد الأكسدة الكهروكيميائية.



الشكل III.4 : مخطط التركيب التجريبي المستخدم في دراسة تغير الكمون بدلالة التيار أو تغير التيار بدلالة الزمن عند كمون ثابت.



الشكل III.5 : أقطاب فيشر البلاتينية المستخدمة في التجارب.

III. 1.2.1. 1- تأثير الكمون المطبق

a- التجربة الأولى : نقوم من خلالها بتسجيل التيار الكهربائي خلال تغيير الكمون المطبق بين القطبين (0.1 V/10 sec) في عملية التحليل الكهربائي لـ : 200 ملل من محلول Na_2S تحت الشروط التجريبية التالية :

- ❖ التركيز الابتدائي لمحلول كبريتيد الصوديوم : 0.01 M
- ❖ pH (المحلول) : 12
- ❖ درجة الحرارة : 23°C

b- التجربة الثانية : نقوم بالتحليل الكهربائي لمحلول الكبريتيد عند الكمونات 1.5V , 2V , 2.5 V , 3 V تحت الشروط التالية :

- ❖ التركيز الابتدائي لمحلول كبريتيد الصوديوم : 0.01 M
- ❖ pH (المحلول) : 12
- ❖ درجة الحرارة : 23°C
- ❖ مدة التحليل الكهربائي : 30 mn

محلول كبريتيد الصوديوم المدروس يستبدل بمحلول جديد كلما غيرنا الكمون المطبق بين القطبين.

عند كل كمون مطبق في خلية التحليل الكهربائي نسجل تغيرات التيار تبعاً لتغير الزمن، فنحصل في النهاية على منحنيات تغيرات التيار بدلالة الزمن الممثلة في الشكل (7.III) والتي باجراء حساب تكاملي عليها باستعمال البرنامج المعلوماتي لرسم المنحنيات origine 7 نحصل على كمية الكهرباء المارة في المحلول خلال مدة التحليل الكهربائي (30 mn), وهذا يمكننا من الحصول على منحني تغيرات كمية الكهرباء المارة في المحلول بدلالة الكمون المطبق كما يوضح الشكل (8.III).

بعد نهاية التحليل الكهربائي لمحلول كبريتيد الصوديوم عند الكمون المطبق , نقوم بالتحليل الكيفي لتعيين نواتج كهروأكسدة الكبريتيد.

عند الانتهاء من كل عملية تحليل كهربائي لمحلول الكبريتيد عند الكمون المطبق نقوم بحساب مردود أكسدة الكبريتيد على قطب البلاتين , في النهاية نحصل على تغيرات مردود الأكسدة بدلالة الكمون المطبق كما يوضح الشكل (9.III).

III. 1.2.1. 2- تأثير التركيز الابتدائي للكبريتيد

نقوم بالتحليل الكهربائي لمحاليل كبريتيد الصود يوم ذات التراكيز: 0.01 M, 0.005 M, 0.02 M و 0.04 M

تحت الشروط التالية :

❖ الكمون المطبق : 3 V

❖ درجة الحرارة : 23 °C

❖ مدة التحليل الكهربائي : 30 mn

خلال كل عملية تحليل كهربائي نقوم بتسجيل تغيرات التيار تبعا لتغير الزمن مما يمكننا في الأخير الحصول على منحنى تغير التيار بدلالة الزمن عند كل تركيز ابتدائي لمحلول الكبريتيد كما هو مبين في الشكل (III.10) و باجراء حساب التكامل لهذه المنحنيات باستعمال البرنامج المعلوماتي لرسم المنحنيات 7 origine نحصل على كمية الكهرباء المارة في المحلول خلال مدة التحليل الكهربائي (30 mn), وهذا يمكننا من الحصول على منحنى تغيرات كمية الكهرباء المارة في المحلول بدلالة التركيز الابتدائي لمحلول الكبريتيد كما يوضح الشكل (III.11).

عند الانتهاء من كل عملية تحليل كهربائي لمحلول الكبريتيد عند تركيز معين نقوم بحساب كمية الكبريتيد المؤكسدة (المنزوعة) على قطب البلاتين , في النهاية نحصل على تغير كمية الكبريتيد المنزوعة بدلالة التركيز الابتدائي لمحلول الكبريتيد كما يوضح الشكل (III.12).

III. 1.2.1. 3- تأثير الحرارة

نقوم بالتحليل الكهربائي لمحلول الكبريتيد عند درجات الحرارة 23 °C, 34 °C, 45 °C, 56 °C تحت الشروط التالية :

❖ الكمون المطبق : 3 V

❖ التركيز الابتدائي لمحلول الكبريتيد : 0.01 M

❖ pH (المحلول) : 12

❖ مدة التحليل الكهربائي : 30 mn

خلال كل عملية تحليل كهربائي نقوم بتسجيل تغيرات التيار تبعا لتغير الزمن مما يمكننا في الأخير الحصول على منحنى تغير التيار بدلالة الزمن عند كل درجة حرارة كما هو موضح في الشكل (13.III) و باجراء الحساب التكاملي لهذه المنحنيات باستعمال البرنامج المعلوماتي لرسم المنحنيات 7 origine نحصل على كمية الكهرباء المارة في المحلول خلال مدة التحليل الكهربائي (30 mn), وهذا يمكننا من الحصول على منحنى تغيرات كمية الكهرباء المارة في المحلول بدلالة درجة الحرارة كما يوضح الشكل (14.III).

عند الانتهاء من كل عملية تحليل كهربائي لمحلول الكبريتيد عند درجة حرارة معينة نقوم بحساب مردود أكسدة الكبريتيد على قطب البلاتين , في النهاية نحصل على تغيرات مردود الأكسدة بدلالة درجة الحرارة كما يوضح الشكل (15.III).

III. 1.2.1- 4. تأثير الرج

نقوم بالتحليل الكهربائي لمحلول الكبريتيد عند سرعات الرج 0 tour/mn , 250tour/mn, 500 tour/mn , 750 tour/mn .

تحت الشروط التالية :

- ❖ الكمون المطبق : 3 V
- ❖ التركيز الابتدائي لمحلول الكبريتيد : 0.01 M
- ❖ pH (المحلول) : 12
- ❖ مدة التحليل الكهربائي : 30 mn
- ❖ درجة الحرارة : 23°C

خلال كل عملية تحليل كهربائي نقوم بتسجيل تغيرات التيار تبعا لتغير الزمن مما يمكننا في الأخير الحصول على منحنى تغير التيار بدلالة الزمن عند كل سرعة رج كما هو موضح في الشكل (16.III) و باجراء الحساب التكاملي لهذه المنحنيات باستعمال البرنامج المعلوماتي لرسم المنحنيات 7 origine نحصل على كمية الكهرباء المارة في المحلول خلال مدة التحليل الكهربائي (30 mn), وهذا يمكننا من الحصول على منحنى تغيرات كمية الكهرباء المارة في المحلول بدلالة سرعة الرج كما يوضح الشكل (17.III).

عند الانتهاء من كل عملية تحليل كهربائي لمحلول الكبريتيد عند سرعة رج معينة نقوم بحساب مردود أكسدة الكبريتيد على قطب البلاتين , في النهاية نحصل على تغيرات مردود الأكسدة بدلالة سرعة الرج كما يوضح الشكل (18.III).

III. 1.2.1. 5- تأثير الالكتروليت Na_2SO_4

نقوم بالتحليل الكهربائي لمحاليل الكبريتيد المحتوية على الالكتروليت Na_2SO_4 بالتركيزات الكتلية 1.5 g/l, 1 g/l , 0.5 g/l , 0 g/l

تحت الشروط التالية :

- ❖ الكمون المطبق : 3 V
- ❖ التركيز الابتدائي لمحلول الكبريتيد : 0.01 M
- ❖ pH (المحلول) : 12
- ❖ درجة الحرارة : 23 C°
- ❖ مدة التحليل الكهربائي : 30 mn

خلال كل عملية تحليل كهربائي نقوم بتسجيل تغيرات التيار تبعا لتغير الزمن مما يمكننا في الأخير الحصول على منحنى تغير التيار بدلالة الزمن عند كل تركيز كتلي للالكتروليت Na_2SO_4 كما هو موضح في الشكل (19.III) و بإجراء الحساب التكاملي لهذه المنحنيات باستعمال البرنامج المعلوماتي لرسم المنحنيات 7 origine نحصل على كمية الكهرباء المارة في المحلول خلال مدة التحليل الكهربائي (30 mn), وهذا يمكننا من الحصول على منحنى تغيرات كمية الكهرباء المارة في المحلول بدلالة التركيز الكتلي للالكتروليت Na_2SO_4 كما يوضح الشكل (20.III).

عند الانتهاء من كل عملية تحليل كهربائي لمحلول الكبريتيد المحتوي على الالكتروليت Na_2SO_4 بتركيز كتلي معين نقوم بحساب مردود أكسدة الكبريتيد على قطب البلاتين , في النهاية نحصل على تغيرات مردود الأكسدة بدلالة التركيز الكتلي للالكتروليت Na_2SO_4 كما يوضح الشكل (21.III).

III. 1.2.1. 6- تأثير مدة التحليل الكهربائي

نقوم بالتحليل الكهربائي لمحلول كبريتيد الصوديوم لمدة 75 mn تحت الشروط التالية:

- ❖ الكمون المطبق : 3 V
- ❖ التركيز الابتدائي لمحلول الكبريتيد : 0.01 M
- ❖ pH (المحلول) : 12
- ❖ درجة الحرارة : 23 C°

خلال عملية التحليل الكهربائي نقوم بتسجيل تغيرات التيار تبعا لتغير الزمن مما يمكننا في الأخير الحصول على منحني تغير التيار بدلالة الزمن كما هو موضح في الشكل (22.III).

نقوم خلال التحليل الكهربائي كل 15 mn بالتحليل الكمي للكبريتيد وهذا لإيجاد مردود الأكسدة مما يمكننا في النهاية من الحصول على منحني تغيرات مردود أكسدة الكبريتيد بدلالة مدة التحليل الكهربائي كما يوضح الشكل (23.III).

III. 2.2.1 - نتائج ومناقشة

III. 2.2.1. 1- نواتج كهروأكسدة الكبريتيد

من خلال الملاحظات العينية والتحليل الكيفي لمحلول الكبريتيد الذي خضع لعملية تحليل تحليل كهربائي لمدة 30 دقيقة تحت كمون مطبق قيمته 3 V , سجلنا النتائج التالية :

- تشكل طبقة بيضاء ملتصقة بالقطب الأنودي لها رائحة الكبريت ثم يليها تشكل طبقات بيضاء غير ملتصقة حيث بمجرد تحريك الأنود تنتشر في المحلول على شكل حبيبات و يصبح المحلول معكر (trouble).

- تلون المحلول باللون الأصفر المخضر.

- وجود الكبريتات SO_4^{2-} في المحلول وعدم وجود الثيوكبريتات $S_2O_3^{2-}$ والسلفيت SO_3^{2-} .

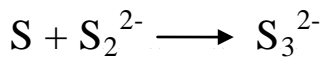
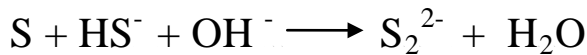
الطبقة الملتصقة بالقطب والطبقات الغير الملتصقة تمثل الكبريت S الناتج عن كهروأكسدة الكبريتيد HS^- وهذا التفسير موافق للمرجع [II.13].



تلون المحلول باللون الأصفر المخضر ناتج عن تشكل متعدد الكبريتيد (polysulfures) وهذا موافق للمرجع [II.14] و متعدد الكبريتيد يمكن أن ينتج من:

- كهروأكسدة الكبريتيد على القطب الأنودي و الانحلال الكيميائي للكبريت المتشكل وفق التفاعلات التالية [II.6, 13] :

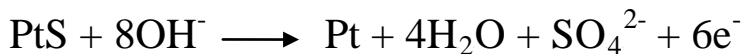




• ارجاع الكبريت المتشكل الى متعدد الكبريتيد [II.9].

التحليل الكيفي لمحلول الكبريتيد بين تشكل الكبريتات خلال كهروأكسدة الكبريتيد و عدم وجود الثيوكبريتات والسلفيت لأنهما نواتج شبه مستقرة [II.14] تتحول الى كبريتات .

تشكل الكبريتات يكون نتيجة أكسدة كبريتيد البلاتين والكبريت المتوضع حسب التفاعلات التالية [II. 13]:



III. 2.2.1. 2- تأثير الكمون المطبق

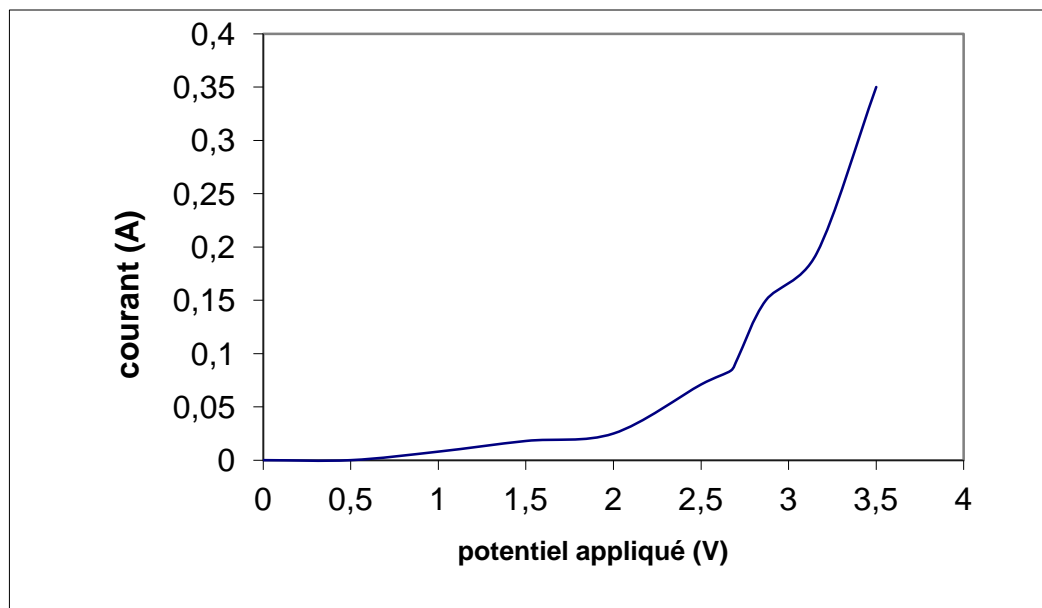
من خلال الشكل (6.III) نلاحظ عموماً أنه بزيادة الكمون يزيد التيار لكن المنحنى تتخلله ثلاثة انعطافات وبما أن التفاعل الحادث عند الكاثود (Pt) هو انطلاق غاز الهيدروجين وهو تفاعل سريع على قطب البلاتين، فإنه يمكننا تفسير هذه الانعطافات في التيار بتفاعلات الأكسدة الكهروكيميائية المرتبطة بالكبريتيد على الأنود (التفاعل البطيء هو الذي يفرض التيار).

• الانعطاف الأول يبدأ في جوار 1.6 V و نلاحظ خلاله أن زيادة الكمون تقابلها زيادة ضئيلة أو معدومة في التيار وهذا ناتج عن توضع طبقة من الكبريت (ناتجة عن أكسدة الكبريتيد) على سطح الأنود و الوصول الى التيار الحدي (النفوذية).

• الانعطاف الثاني يبدأ في جوار 2.5 V و يمكن تفسيره بالوصول الى التيار الحدي خلال تحول الكبريتيد (HS^-) أو الكبريت المتشكل (S) الى متعدد الكبريتيد (polysulfures).

• الانعطاف الثالث يبدأ في جوار 2.9 V و يمكن تفسيره بالوصول الى التيار الحدي خلال أكسدة الكبريت المتشكل أو الكبريتيد الى كبريتات.

كما نلاحظ من الشكل (6.III) أن الزيادة المعتبرة في التيار تكون عند الكمونات المرتفعة مما يجعلنا نتوقع الحصول على مردود مرتفع لأكسدة الكبريتيد عند تطبيق كمونات كبيرة.



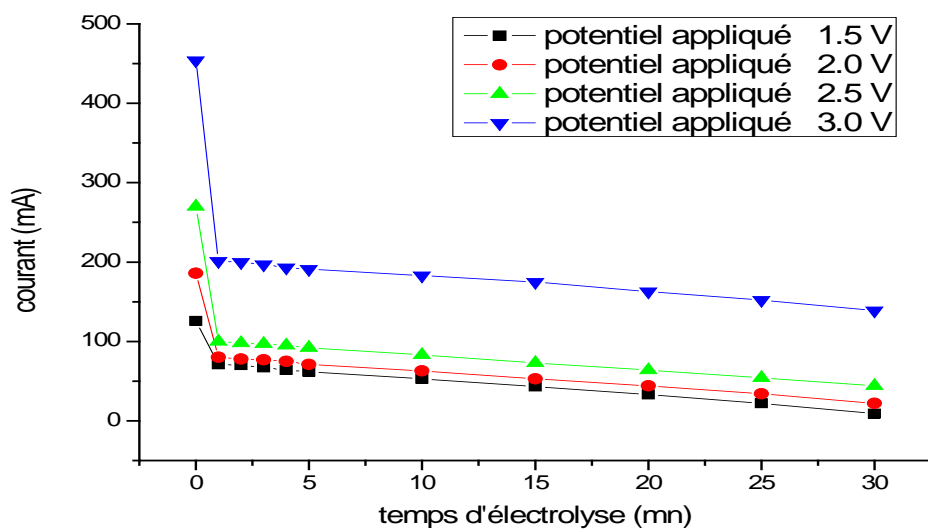
الشكل 6.III: الفولتاموغرام الخطي لمحلول كبريتيد الصوديوم ذو التركيز 0.01 M

الملاحظة العينية والتحليل الكيفي خلال التحليل الكهربائي لمحلول الكبريتيد مدة 30 دقيقة عند تطبيق الكمونات التالية :

- 1.5 V : تشكل طبقة بيضاء (كبريت) ملتصقة على قطب البلاتين (الأنود).
- 2 V : تشكل طبقات بيضاء غير ملتصقة (كبريت) اضافة الى الطبقة الملتصقة.
- 2.5 V : تلون المحلول باللون الأصفر المخضر (تشكل متعدد الكبريتيد) اضافة الى تشكل الطبقات السابقة (الكبريت).
- 3 V : تشكل الكبريتات SO_4^{2-} اضافة الى تشكل الكبريت S ومتعدد الكبريتيد

هذه النتائج موافقة لتفسير الفولتاموغرام الخطي الممثل في الشكل (6.III)

أكسدة الكبريتيد الى الكبريت أصعب ترموديناميكيا من أكسدته الى كبريتات [II. 7] لكن الملاحظ دائما هو تشكل الكبريت, بينما الكبريتات لم تظهر إلا عند تطبيق كمون كبير (3 V) وهذا يشبه أكسدة الكبريتيد بواسطة النترات NO_3^- الى كبريت [II. 7] و أكسدته بمؤكسدات قوية مثل MnO_4^- و Cl_2 الى كبريتات [II. 8].



الشكل 7.III : تأثير الكمون المطبق على تغيرات التيار خلال التحليل الكهربائي لمحلول الكبريتيد.

بالنسبة للشكل (7.III), نلاحظ عند تطبيق الكمون نزول سريع جدا للتيار خلال زمن قصير جدا (أقل من دقيقة) وهذا يمكن تفسيره بالوصول للتيار الحدي (نظام نفوذي) نتيجة الاستهلاك (الأكسدة) الكبير والسريع لأيونات الكبريتيد عند سطح الأنود مما يخلق طبقة فقيرة من أيونات الكبريتيد في جوار الأنود وفي هذه الحالة التيار يعطى بقانون فيك (Fick) وهو الذي يعبر عن انتقال المادة الى سطح القطب للتفاعل.

$$I = -(D/\delta) \times S \times (C_E - C_S)$$

D: معامل نفوذية الكبريتيد

δ : سمك الطبقة الفقيرة

S: مساحة القطب (الأنود)

C_S : تركيز الكبريتيد في المحلول

C_E : تركيز الكبريتيد عند القطب

عندما $C_E = 0$ فإن :

$$I = I_{lim} = K \times C_S$$

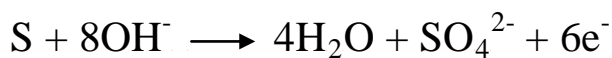
$$K = (D/\delta) \times S = cte$$

I_{lim} : التيار الحدي (الطبقة الحدية)

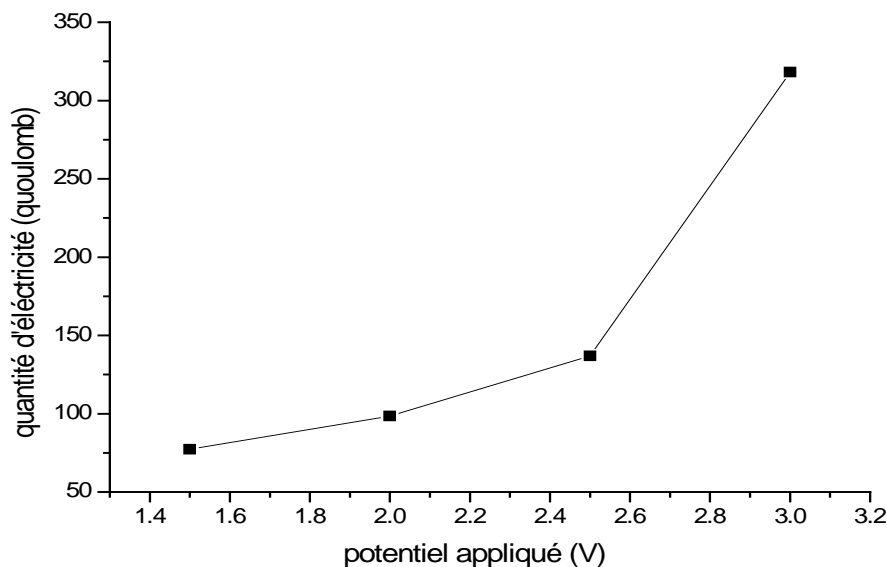
إذن في حالة C_s لا يتغير فإن التيار يبقى ثابت عند القيمة I_{lim} , لكن الملاحظ في الشكل (7.III) ، أن هناك تناقص للتيار الحدي (ميل) ناتج عن تناقص تركيز الكبريتيد في المحلول (أكسدة الكبريتيد) نظرا لمساحة القطب الكبيرة.

قيم التيارات الحدية الظاهرة في الشكل (7.III) قريبة من قيم التيارات الحدية الظاهرة في الشكل (6.III) وبالتالي هناك توافق بين النتيجتين.

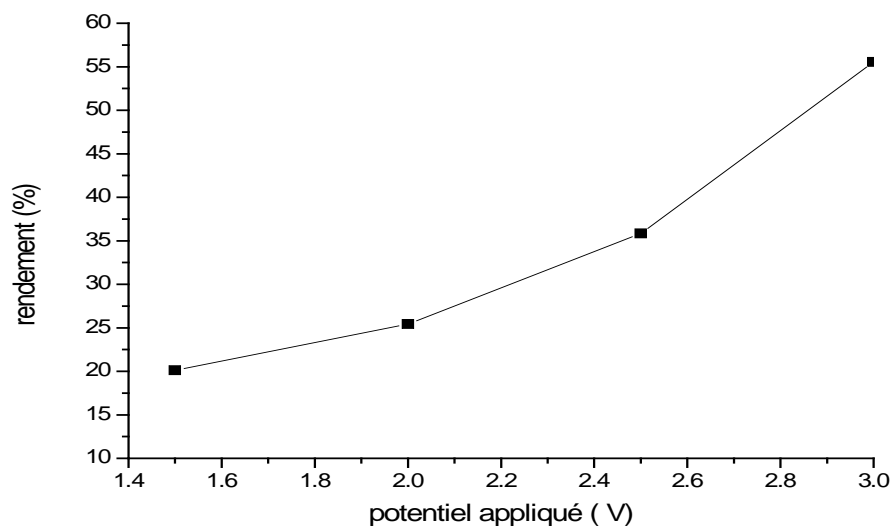
القيم المرتفعة جدا للتيار وكمية الكهرباء (الشكلان 7.III و 8.III) عند الكمون 3 V مقارنة بباقي الكمونات يكمن تفسيره بالعدد الكبير للالكترونات ($6e^-$) الناتج عن أكسدة الكبريت الى كبريتات.



من خلال الشكلان (7.III) و (8.III) نلاحظ أنه كلما زاد الكمون زاد التيار وكمية الكهرباء, حيث أن هذه الزيادة يمكن تفسيرها في الغالب بزيادة نسبة التفاعلات الحادثة بما فيها كهروأكسدة الكبريتيد, وهذا ما يؤكد الشكل (9.III) حيث أن زيادة الكمون تؤدي الى زيادة مردود أكسدة الكبريتيد, فمضاعفة الكمون من 1.5 V الى 3 V ترفع مردود الأكسدة من 20% الى حوالي 56%.



الشكل 8.III : تأثير الكمون المطبق على كمية الكهرباء المارة في محلول الكبريتيد



الشكل 9.III : تأثير الكمون المطبق على مردود كهروأكسدة الكبريتيد

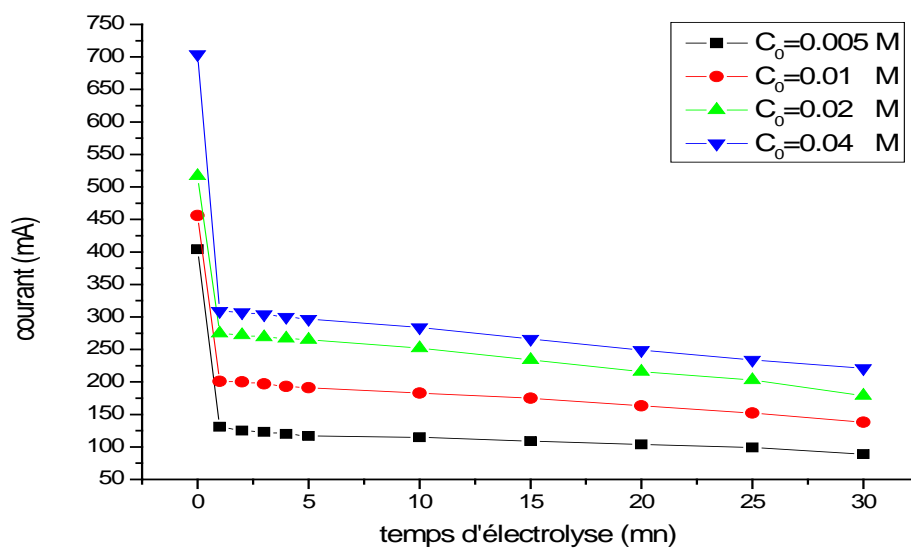
III. 2.2.1.3- تأثير التركيز الابتدائي للكبريتيد

النفوذية (diffusion) هي التي تتحكم في انتقال المادة الى الأنود للتفاعل وهذا يظهر من محنى تغير التيار بدلالة الزمن عند كل تركيز ابتدائي للكبريتيد (الشكل 10.III) وبالتالي قانون فيك محقق , إذن زيادة التركيز الابتدائي للكبريتيد تزيد في التيار الحدي حسب العلاقة:

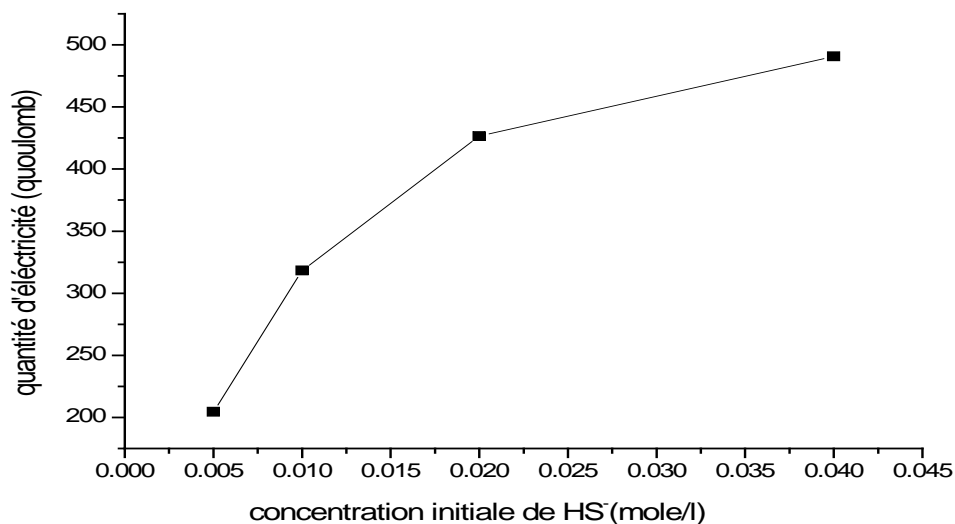
$$I_{lim} = -K \times C_S$$

$$K = (D/\delta) \times S = cte$$

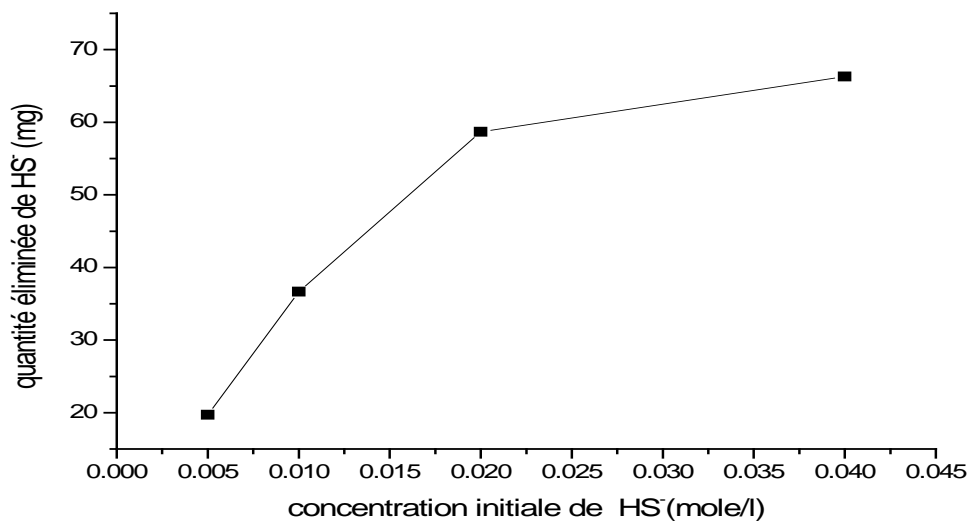
زيادة التركيز الابتدائي للكبريتيد يؤدي الى زيادة التيار وكمية الكهرباء (الشكلان 10.III و 11.III), مما يعني زيادة التفاعلات الحادثة بما في ذلك أكسدة الكبريتيد حيث أن كمية الكبريتيد المنزوعة (المؤكسدة) زادت بزيادة التركيز الابتدائي لمحلول الكبريتيد حسب الشكل (12.III), لكن تغيير التركيز الابتدائي للكبريتيد من 0.02M الى 0.04M يقابله تغيير ضعيف في كمية الكبريتيد المنزوعة (من 58mg الى 65mg) وهذا يمكن تفسيره بأنه عند التركيز 0.04 M يزداد تشكل طبقات الكبريت التي تتراكم فوق القطب (تنقص المساحة الفعالة للقطب) وبالتالي تقلل من كمية الكبريتيد المؤكسدة [II.9].



الشكل III.10 : تأثير التركيز الابتدائي للكبريتيد على تغيرات التيار الكهربائي خلال التحليل الكهربائي لمحلول الكبريتيد.



الشكل III.11 : تأثير التركيز الابتدائي للكبريتيد على كمية الكهرباء المارة في المحلول .



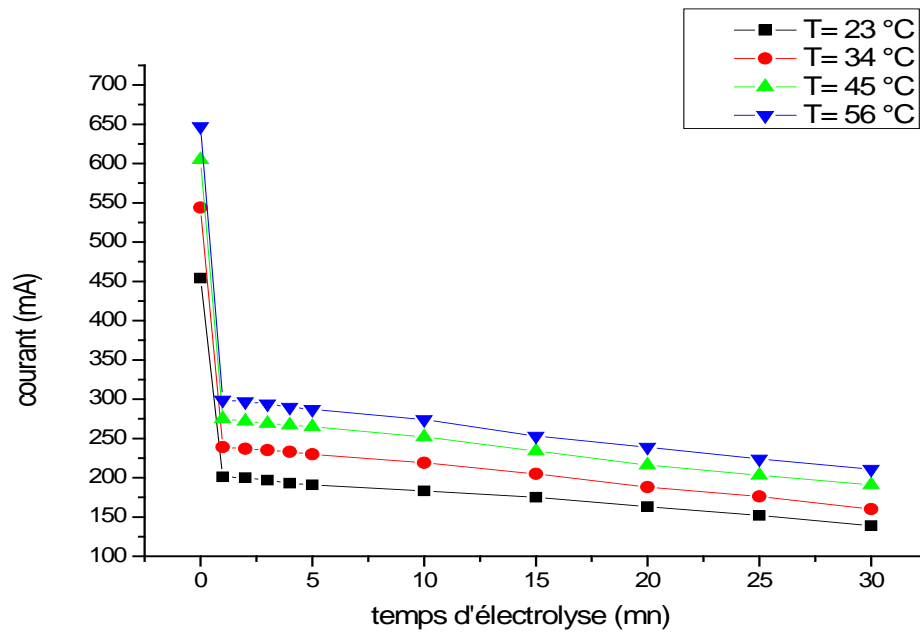
الشكل III.12 : تأثير التركيز الابتدائي للكبريتيد على كمية الكبريتيد المنزوعة (المؤكسدة).

III.2.2.1-4. تأثير الحرارة

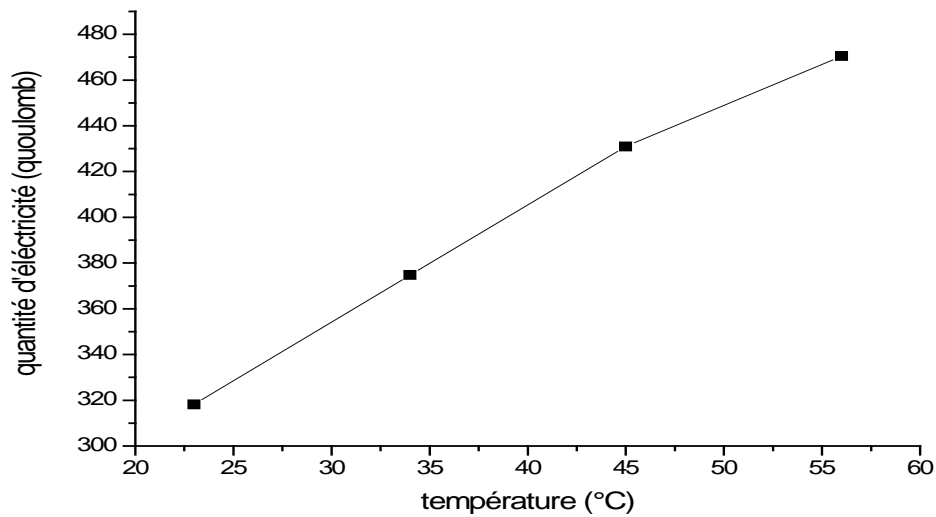
لاحظنا خلال التحليل الكهربائي عند درجات حرارة عالية $45\text{ }^{\circ}\text{C}$ و $56\text{ }^{\circ}\text{C}$ زيادة شدة تلون المحلول باللون الأصفر المخضر (متعدد الكبريتيد) وعدم وجود الطبقات الغير ملتصقة (الكبريت) على قطب البلاتين.

زيادة شدة تلون المحلول باللون الأصفر المخضر ناتجة عن زيادة كمية متعدد الكبريتيد الناتج عن ارجاع الكبريت المتشكل أو انحلاله الكيميائي , وهذا ما يفسر اختفاء طبقات الكبريت.

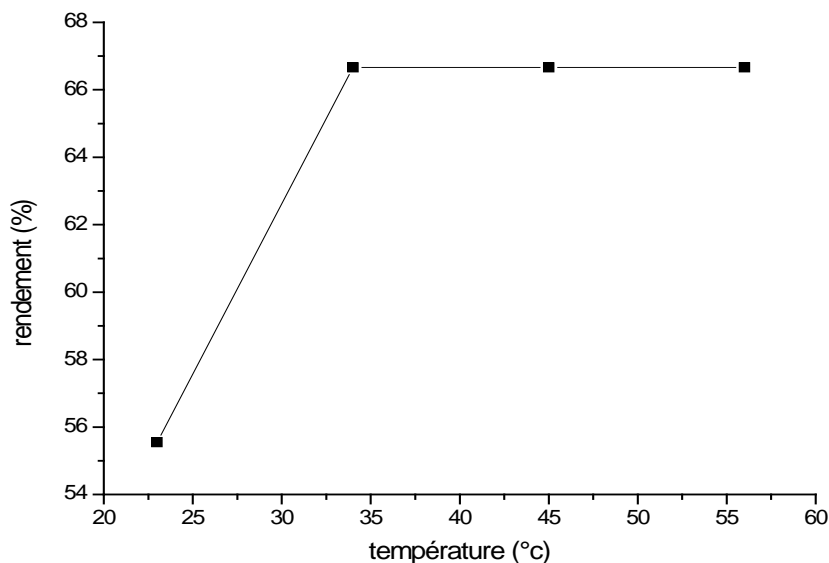
زيادة درجة الحرارة يؤدي الى زيادة التيار و كمية الكهرباء (الشكلان III.13 و III.14) مما يعني زيادة نسبة التفاعلات الحادثة , لكن بالنسبة لمردود أكسدة الكبريتيد فإنه توقف عن الزيادة عند درجة الحرارة $34\text{ }^{\circ}\text{C}$ (مردود أكسدة 67%) حسب الشكل (III.15), وهذا رغم زيادة التيار و كمية الكهرباء عند درجة الحرارة $45\text{ }^{\circ}\text{C}$ و $56\text{ }^{\circ}\text{C}$, مما يعني زيادة نسبة حدوث تفاعل آخر من المحتمل أن يكون ارجاع الكبريت على سطح الكاثود.



الشكل III.13 : تأثير درجة الحرارة على تغيرات التيار خلال التحليل الكهربائي لمحلول الكبريتيد.



الشكل III.14 : تأثير درجة الحرارة على كمية الكهرباء المارة في المحلول .



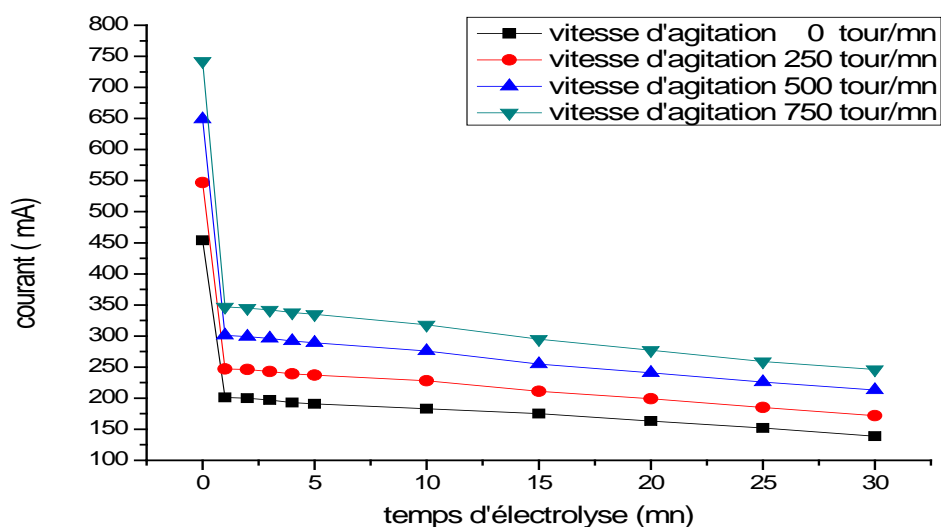
الشكل III.15 : تأثير درجة الحرارة على مردود كهروأكسدة الكبريتيد.

III.2.2.1-5. تأثير الرج

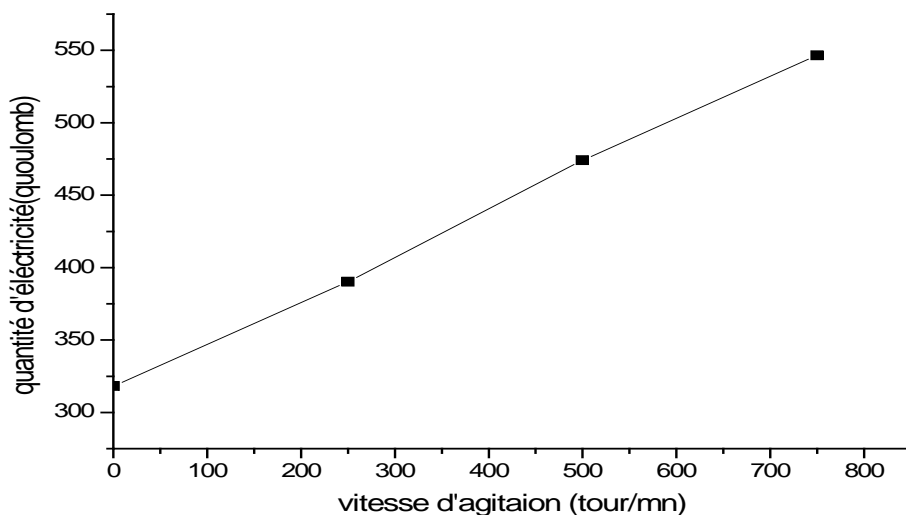
من خلال الشكل (III.16) نلاحظ أن زيادة سرعة الرج تزيد في التيار الحدي من خلال كسر الطبقة الحدية وبالتالي زيادة انتقال المادة.

زيادة سرعة الرج يؤدي الى زيادة التيار وكمية الكهرباء (الشكلان III.16 و III.17), مما يعني زيادة التفاعلات الحادثة بما في ذلك أكسدة الكبريتيد, حيث نلاحظ زيادة واضحة في مردود أكسدة الكبريتيد بزيادة سرعة الرج (الشكل III.18) حيث يصل الى 78% عند سرعة رج 750 tour/mn.

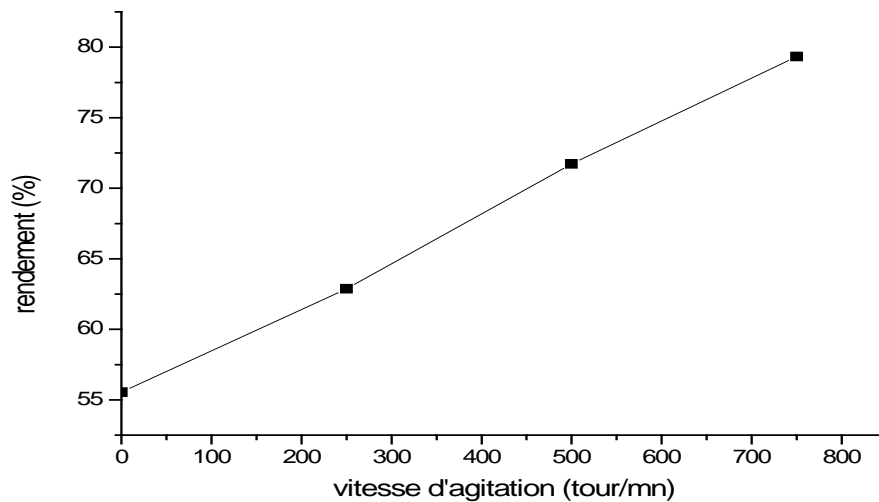
التأثير الواضح لسرعة الرج على زيادة مردود الأكسدة (الشكل III.18) يبين دور النفوذية (التيار الحدي) في انقاص فعالية كهروأكسدة الكبريتيد.



الشكل III.16 : تأثير سرعة الرج على تغيرات التيار الكهربائي خلال التحليل الكهربائي لمحلول الكبريتيد.



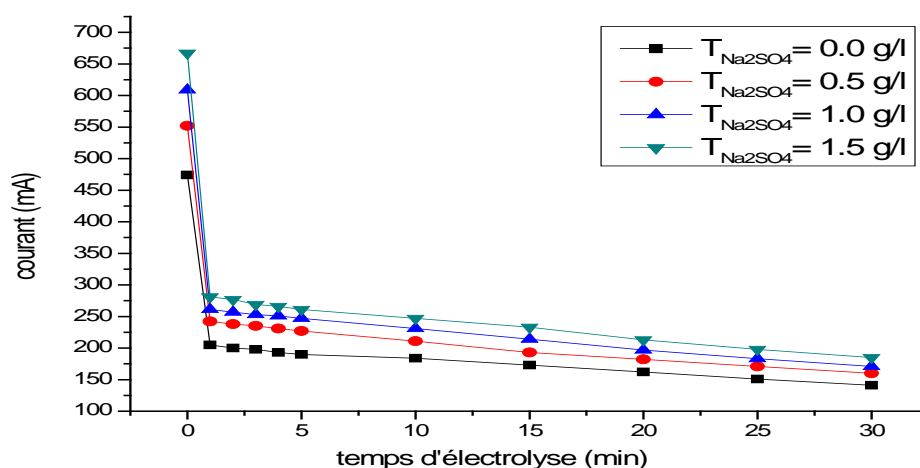
الشكل III.17 : تأثير سرعة الرج على كمية الكهرباء المارة في المحلول.



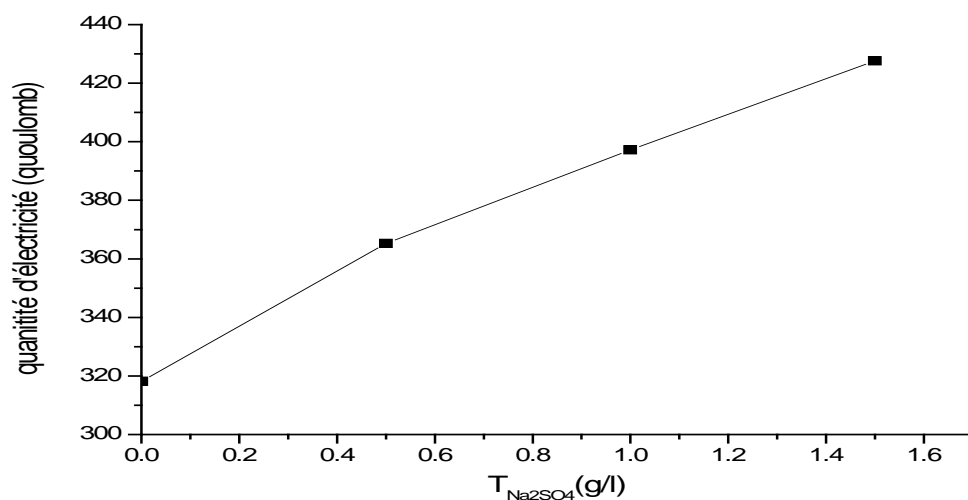
الشكل III.18 : تأثير سرعة الرج على مردود كهروأكسدة الكبريتيد.

III.2.2.1- تأثير الكتروليت Na_2SO_4

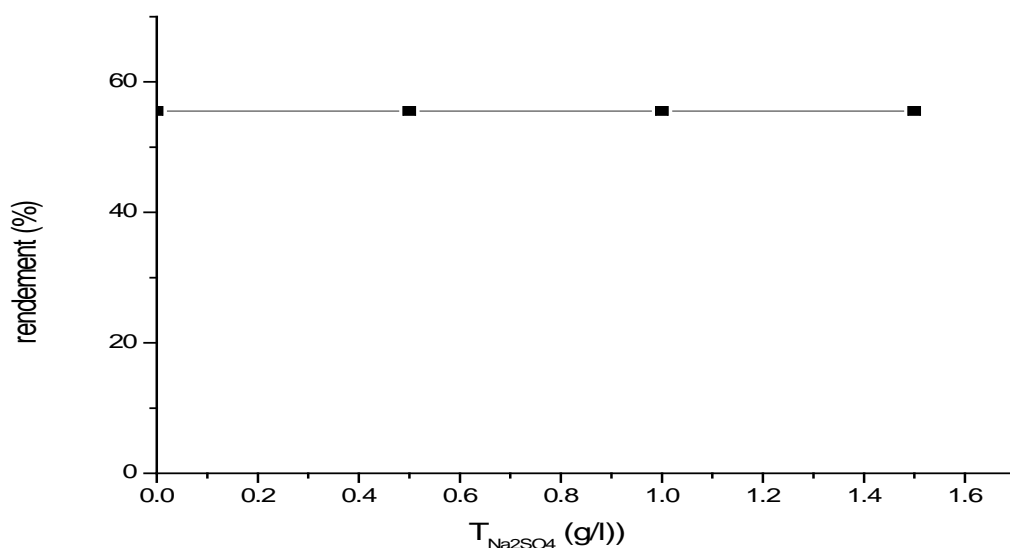
زيادة التركيز الكتلي للكتروليت Na_2SO_4 يؤدي الى زيادة التيار وكمية الكهرباء (الشكلان III.19 و III.20) لكن مردود كهروأكسدة الكبريتيد بقي ثابتا كما يوضح (الشكل III.21), إذن Na_2SO_4 لعب دور الكتروليت حامل وخامل حيث ينقل التيار لكن لا يتفاعل عند القطب, إذن وحده الكبريتيد (HS^-) يصل الى القطب عن طريق النفوذية ليتفاعل. كما لا ننسى أيضا أن SO_4^{2-} من نواتج أكسدة الكبريتيد (HS^-), إذن اضافته للمحلول يكبح تفاعل الأكسدة.



الشكل III.19 : تأثير التركيز الكتلي للكتروليت Na_2SO_4 على تغيرات التيار الكهربائي خلال التحليل الكهربائي لمحلول الكبريتيد.



الشكل III. 20 : تأثير التركيز الكتلي للالكتروليت Na_2SO_4 على كمية الكهرباء المارة في المحلول.



الشكل III. 21 : تأثير التركيز الكتلي للالكتروليت Na_2SO_4 على مردود كهروأكسدة الكبريتيد.

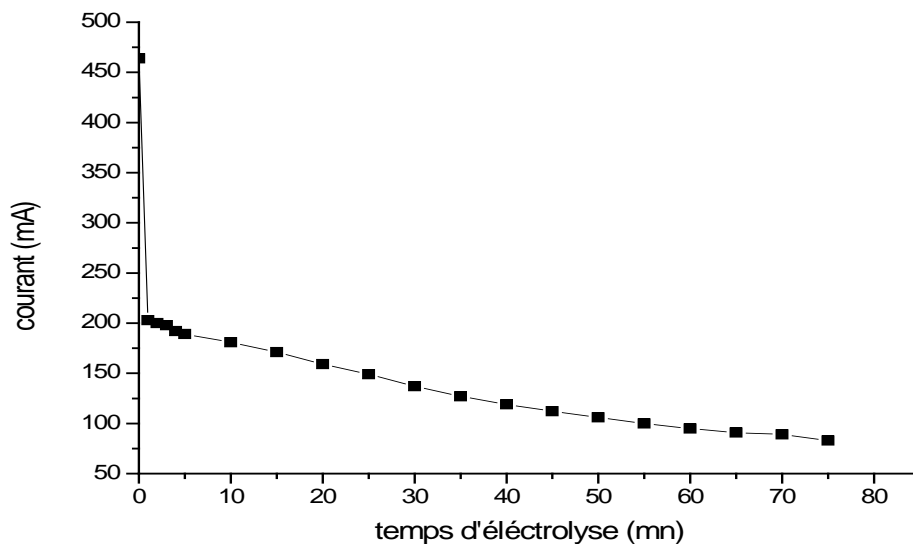
III. 2.2.1. 7- تأثير مدة التحليل الكهربائي

الشكل (22.III) يبين أن تطبيق كمون قيمته 3V يعطي نزول سريع جدا للتيار حتى يصل الى التيار الحدي (courant limite), هذا الأخير لا يبقى ثابتا بل يتناقص بطريقة سريعة نسبيا, وهذا يفسر بالاختفاء السريع للكبريتيد (HS^-) عند تطبيق كمون 3V. بما أن التيار الحدي (I_{lim}) متناسب (proportionnel) مع تركيز HS^- (قانون فيك) حسب العلاقة :

$$I_{lim} = K \times C_S$$

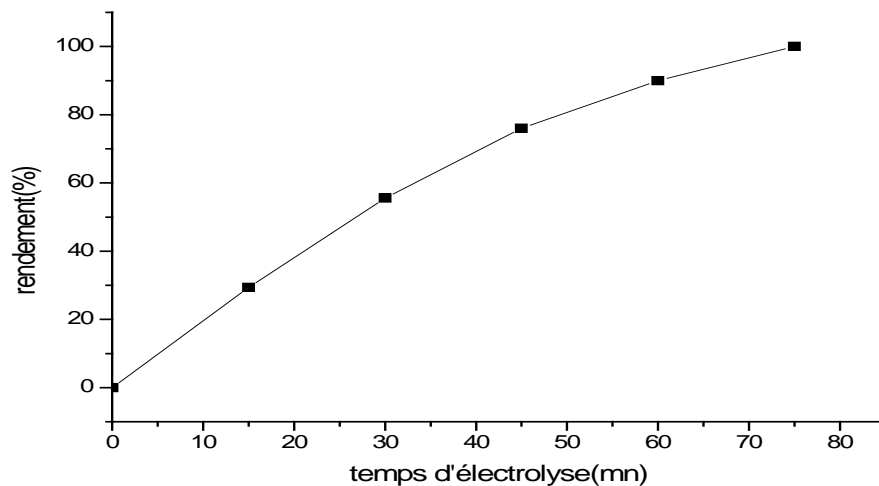
$$K = cte$$

إذن تناقص تركيز HS^- (C_S) يؤدي الى تناقص التيار كما نلاحظ في الشكل (22.III).



الشكل III. 22 : تغيرات التيار بدلالة مدة التحليل الكهربائي لمحلول الكبريتيد.

الشكل (23.III) يبين أن مردود أكسدة الكبريتيد يزداد بسرعة مع زيادة مدة التحليل الكهربائي, لكن بين 60 mn و 80mn الزيادة ضعيفة, و هذا يفسر بالتناقص الكبير للكبريتيد في المحلول.



الشكل III. 23 : تأثير مدة التحليل الكهربائي على مردود أكسدة الكبريتيد.

III. 2- كهروتريسيه الكبريتيد باستعمال قطبي الزنك والحديد

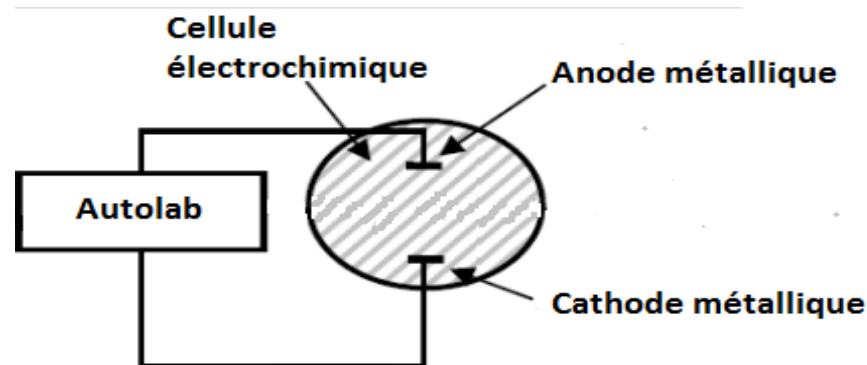
كهروتريسيه الكبريتيد على شكل راسب يعتمد على الانحلال الأنودي (dissolution anodique) للقطب الذي ينتج أيونات موجبة لها القابلية لتشكيل راسب مع الكبريتيد (حسب جداء الانحلالية الشرطي K'_s). من الناحية الترموديناميكية الزنك سهل الأكسدة وخاصة في محلول الكبريتيد ($E^{0'}$).

في هذا العمل التجريبي سنقوم بـ :

- دراسة الانحلال الأنودي لقطب الزنك في محلول كبريتيد الصوديوم باستخدام الفولطامتري الخطية (بدون استعمال قطب مرجعي).
- دراسة الانحلال الأنودي لقطب الزنك في محلول هيدروكسيد الصوديوم باستخدام الفولطامتري الخطية، وهذا بهدف المقارنة مع الانحلال الأنودي للزنك في محلول الكبريتيد.
- دراسة الانحلال الأنودي للحديد في محلول الكبريتيد باستخدام الفولطامتري الخطية، وهذا بهدف المقارنة مع الانحلال الأنودي للزنك في محلول الكبريتيد.
- تقييم مردود كهروتريسيه الكبريتيد باستعمال قطب الحديد أو الزنك عند تطبيق كمون معين (تحليل كهربائي).

III. 1.2- طريقة العمل التجريبي

باستعمال خلية تحليل كهربائي موصولة بجهاز autolab30 , ندرس من خلال الفولطامتري الخطية الانحلال الأنودي لقطبي الزنك والحديد في محلول هيدروكسيد الصوديوم ومحلول كبريتيد الصوديوم . الدراسة تتم وفق المخطط التجريبي الممثل في الشكل (24.III).



الشكل III. 24 : مخطط التركيب التجريبي المستخدم في الفولطامتري الخطية (تغيرات التيار بدلالة الكمون) .

لدقة التجارب يشترط مايلي:

- عدد كبير من أقطاب الزنك والحديد حيث يستحسن استعمال القطب مرة واحدة.
- قبل استعمال الأقطاب نقوم بمعالجة أسطحها ميكانيكيا و كيميائيا.
- الحفاظ على مسافة ثابتة بين القطبين.
- مساحة الأقطاب المغموسة في المحلول متساوية .
- العمل عند درجة حرارة ثابتة $25^{\circ}C$.

لإيجاد مردود كهروتريسيب الكبريتيد نخضع 100 ملل من محلول كبريتيد الصوديوم لتحليل كهربائي مدته 30 دقيقة تحت الشروط التالية :

- ❖ التركيز الابتدائي لمحلول كبريتيد الصوديوم : 0.01 M ($\text{pH}=12$).
- ❖ الأنود من الزنك.

- ❖ الكاتود من الزنك.
- ❖ درجة الحرارة : 23 C°
- ❖ الكمون المطبق : 5V

نعيد نفس التجربة (نفس الشروط) لمدة 60 دقيقة مع محلول جديد للكبريتيد.
نفس التجارب (نفس الشروط) نقوم بها مع الحديد بحيث يكون هو الأنود.

بعد كل عملية تحليل كهربائي نقوم بترشيح (filtration) المحلول لفصل الراسب المتشكل، ثم نأخذ حجم معين الراشح (filtrat) ونعايره بمحلول HCl باستعمال الكواشف اللونية (الميثيل البرتقالي والفينول فتالين). انطلاقا من التركيز الجديد و التركيز الابتدائي يمكننا حساب مردود كهروتريسيه الكبريتيد.

III.1.2.1- الانحلال الأنودي للزنك في محلولي هيدروكسيد و كبريتيد الصوديوم

نضع في الخلية 100 ملل من محلول الهيدروكسيد تركيزه 0.01M ، هذه الخلية موصولة بجهاز autolab الذي يقوم بتغيير الكمون (30 mV/s) بين قطبي الزنك المغموسين في الخلية ويسجل استجابة التيار. في النهاية نحصل على الفولطاموغرام الخطي لمحلول الكبريتيد (تغيرات التيار بدلالة الكمون المطبق). نقوم بإعادة التجربة مع تغيير الهيدروكسيد بمحلول الكبريتيد له نفس التركيز.

النتائج المحصل عليها ممثلة في الشكل (III.25).

III.1.2.2- الانحلال الأنودي للزنك في محلول هيدروكسيد الصوديوم باستعمال أقطاب كاتودية مختلفة.

نضع في الخلية 100 ملل من محلول الهيدروكسيد تركيزه 0.01M ، هذه الخلية موصولة بجهاز autolab الذي يقوم بتغيير الكمون (30 mV/s) بين قطبي الزنك المغموسين في الخلية ويسجل استجابة التيار. في النهاية نحصل على الفولطاموغرام الخطي لمحلول الكبريتيد (تغيرات التيار بدلالة الكمون المطبق). نقوم بإعادة التجربة مع تغيير قطب الزنك الكاتودي بقطب الحديد، ثم في تجربة ثالثة بقطب البلاتين.

النتائج المحصل عليها ممثلة في الشكل (III.26).

III.1.2.3- الانحلال الأنودي للزنك والحديد في محلول كبريتيد الصوديوم.

نضع في الخلية 100 مل من محلول الهيدروكسيد تركيزه $0.01M$, هذه الخلية موصولة بجهاز autolab الذي يقوم بتغيير الكمون (30 mV/s) بين قطبي الزنك المغموسين في الخلية ويسجل استجابة التيار. في النهاية نحصل على الفولتاموغرام الخطي لمحلول الكبريتيد (تغيرات التيار بدلالة الكمون المطبق). نقوم بإعادة التجربة مع تغيير القطب الأنودي للزنك بقطب الحديد.

III.2.2- نتائج ومناقشة

III.2.2.1- نواتج ومردود الكهروتريسيه

خلال الانحلال الأنودي للزنك في محلول كبريتيد الصوديوم (الكاثود من الزنك, مدة التحليل الكهربائي 30 دقيقة, الكمون المطبق $5V$), لاحظنا تشكل راسب أبيض (ZnS) ملتصق على القطب.

أما خلال الانحلال الأنودي للحديد في محلول كبريتيد الصوديوم (الكاثود من الزنك, مدة التحليل الكهربائي 30 دقيقة, الكمون المطبق $5V$), لاحظنا تشكل راسب أسود (FeS) غير ملتصق جيدا على القطب , بل يسقط منتشرا في المحلول.

بالنسبة لأنود الزنك التحليل الكمي بعد عملية التحليل الكهربائي بين أن الكبريتيد ترسب بمردود 25.13% خلال 30 دقيقة و 37.22% خلال 60 دقيقة . نلاحظ أنه خلال النصف الساعة الثانية المردود لم يزداد بشكل كبير وهذا ناتج عن زيادة تغطية القطب بالراسب.

بالنسبة لأنود الحديد التحليل الكمي بعد عملية التحليل الكهربائي بين أن الكبريتيد ترسب بمردود 45.27% خلال 30 دقيقة و 78.55% خلال 60 دقيقة وهو مردود جيد.

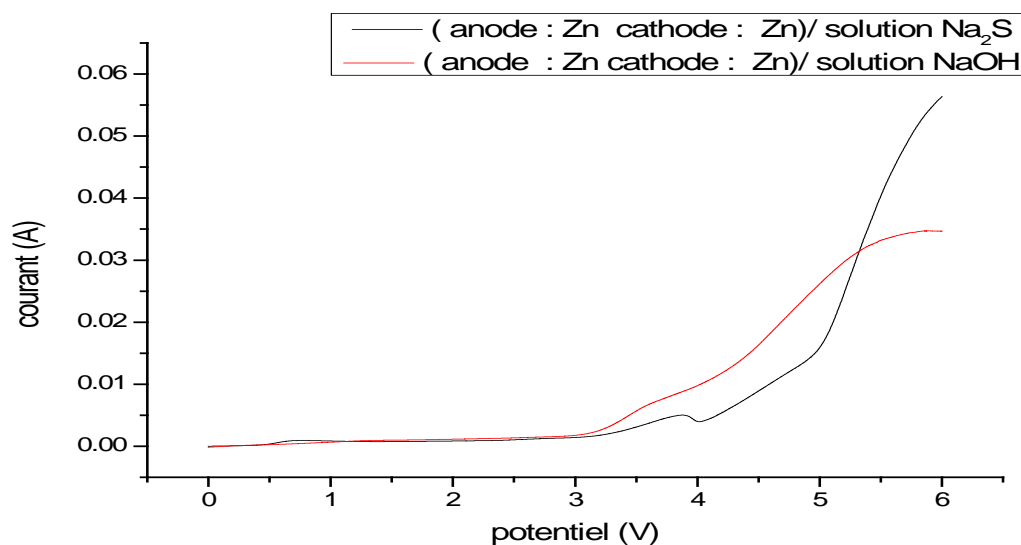
هذه النتائج جاءت على غير المتوقع نظرا للاعتبارات التالية:

- كنا نتوقع الحصول على مردود كهروتريسيه كبير بالنسبة للزنك نظرا لسهولة أكسدته ترموديناميكيا و سهولة تشكل الراسب ZnS .
- الحديد أعطى نتائج أفضل من الزنك رغم أن هذا الأخير أكسدته ترموديناميكيا أسهل من الحديد وتشكل الراسب ZnS أسهل من FeS . وهذا يمكن تفسيره بأن الانحلال الأنودي للحديد أكبر من الانحلال الأنودي للزنك في محلول الكبريتيد نتيجة التوضع الجيد للراسب ZnS على أنود الزنك.

III.2.2.2- الانحلال الأنودي للزنك في محلولي هيدروكسيد و كبريتيد الصوديوم

الشكل (25.III) يبين أن:

- الانحلال الأنودي للزنك في محلول NaOH أكبر منه في محلول Na_2S وهذا يمكن أن يكون راجع لتوضع الراسب ZnS على قطب الزنك (الأنود).
- في مجال واسع من الكمون يبقى التيار معدوما (عدم حدوث تفاعل) بالرغم من سهولة أكسدة الزنك ترموديناميكيا وخاصة في محلول الكبريتيد كما رأينا في الفصل الثاني. وهذا يمكن تفسيره بصعوبة انطلاق الهيدروجين على كاتود الزنك (مرتبط بالجهد الزائد surtention).

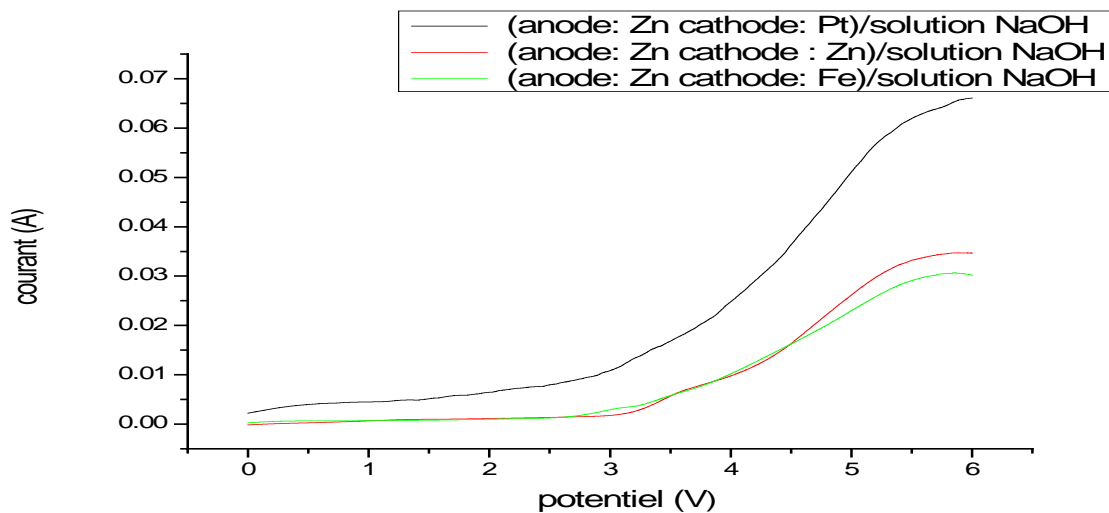


الشكل 25.III: تغير التيار بدلالة الكمون خلال الانحلال الأنودي للزنك في المحلولين

Na_2S 0.01M و NaOH 0.01 M

III.2.2.3- الانحلال الأنودي للزنك في محلول هيدروكسيد الصوديوم باستعمال أقطاب كاتودية مختلفة.

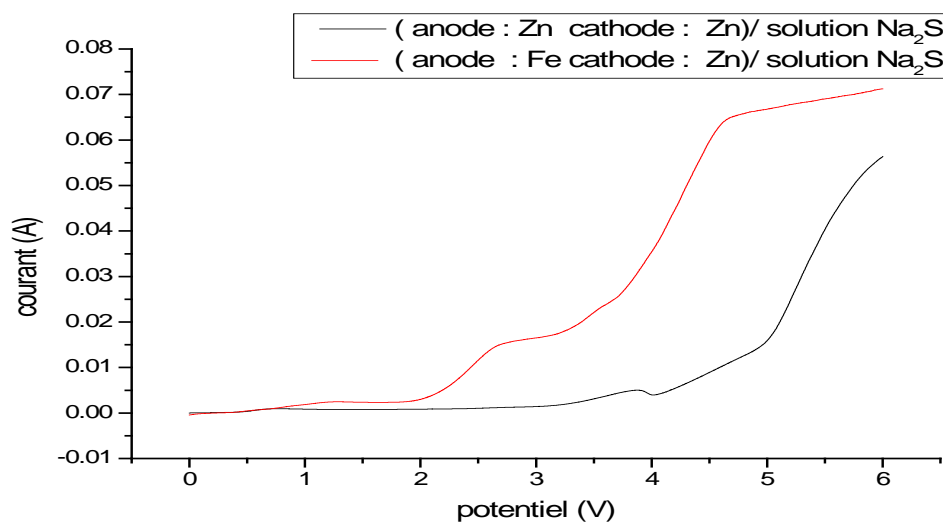
الشكل (26.III) يبين أن الانحلال الأنودي للزنك يكون أكبر عند استعمال البلاتين ككاتود مقارنة باستعمال الزنك أو الحديد كقطب كاتودي وهذا راجع إلى "الجهد الزائد" المنخفض اتجاه انطلاق الهيدروجين عند قطب البلاتين لأن صعوبة انطلاق الهيدروجين عند الزنك والحديد تعرقل الانحلال الأنودي للزنك.



الشكل 26.III : تغير التيار بدلالة الكمون, خلال الانحلال الأنودي للزنك في محلول NaOH 0.01M باستعمال أقطاب كاتودية مختلفة.

III. 2.2. 4- الانحلال الأنودي للزنك والحديد في محلول كبريتيد الصوديوم.

الشكل (27.III) يبين أن الانحلال الأنودي للحديد في محلول الكبريتيد أكبر من الانحلال الأنودي للزنك في هذا المحلول وهذا راجع لالتصاق الراسب على القطب في حالة الزنك.



الشكل 27.III : تغير التيار بدلالة الكمون, خلال الانحلال الأنودي للزنك و الحديد في محلول كبريتيد الصوديوم ذو تركيز 0.01M

خلاصة

إن حماية البيئة من الملوثات يتطلب البحث المستمر على طرق فعالة لمعالجة التلوث. في الوقت الراهن الطرق الكهروكيميائية هي الأكثر نجاعة في هذا المجال لأنها صديقة للبيئة ولها قدرة على معالجة العديد من الملوثات (مركبات عضوية, معادن, غازات ...الخ)

في بعض الحالات, تستعمل الطرق الكهروكيميائية كمرحلة ما قبل المعالجة, هذا الاستخدام له فائدة طاقوية تنعكس على انخفاض تكلفة عملية معالجة الملوث.

الدراسة البحثية حول الكبريتيدات بينت النقاط التالية:

- الكبريتيد ملوث خطير على البيئة خاصة الكائنات الحية حيث أن غاز كبريتيد الهيدروجين يمكن أن يؤدي الى الموت عند استنشاق كمية معينة.
- الكبريتيد يخلق مشاكل في الصناعة والبنية التحتية لأنه يؤدي الى تآكل المعادن والخرسانة.
- النفايات المحتوية على الكبريتيد تنتج عن العديد من الأنشطة الصناعية (صناعة الدباغة, صناعة الورق, تكرير البترول...الخ).
- الطرق الكلاسيكية لمعالجة هذا الملوث هي الطريقة الكيميائية (الأكسدة بالأكسجين في وجود محفز مثل أيون المنغنيز, الأكسدة ببيروكسيد الهيدروجين) أو الطريقة البيولوجية (الأكسدة عن طريق البكتيريا).
- الاستعمال الواسع خاصة في إيطاليا كهروأكسدة الكبريتيد الموجود في مياه صرف مدايع الجلود على أقطاب متنوعة أفضلها من حيث مردود الأكسدة أقطاب أكاسيد المعادن النبيلة المختلطة, لكن هذه الأقطاب تبقى عالية التكلفة.

الدراسة النظرية للكبريتيد من الجانب الكيميائي والكهروكيميائي بينت ما يلي :

- امكانية الأكسدة الكهربائية للكبريتيد
- امكانية الترسيب الكهربائي للكبريتيد

الدراسة التطبيقية أثبتت حدوث كهروأكسدة الكبريتيد على قطب البلاتين حيث خلال 75 دقيقة تم اختفاء الكبريتيد بنسبة 100% مؤديا الى نواتج أقل تلويث (كبريتات, كبريت ومتعدد الكبريتيد).

متعدد الكبريتيد له فائدة صناعية في تحسين نوعية الورق و زيادة مردود عجنته وبالتالي يمكن استعمال كهروأكسدة الكبريتيد لإنتاج متعدد الكبريتيد بغرض استعماله في صناعة الورق.

كهروأكسدة الكبريتيد تتأثر بالعوامل التالية:

- كمون العمل المطبق في خلية المعالجة حيث بزيادته نرفع من نسبة اختفاء الكبريتيد.
- مدة المعالجة الكهروكيميائية بحيث كلما كانت طويلة كلما كان مردود الأكسدة أكبر.
- الرج حيث بزيادة سرعته نزيد من مردود الأكسدة
- التركيز الابتدائي للكبريتيد حيث كلما كان المحلول مركز كلما كانت كمية الكبريتيد المنزوعة (المؤكسدة) أكبر.
- الحرارة حيث بزيادة درجتها يزداد من مردود الأكسدة الى حد معين يبقى ثابت رغم مواصلة رفع درجة الحرارة, لذا يجب العمل عند درجة حرارة مناسبة يتم تحديدها من خلال الدراسات التجريبية.

كما وجدنا أن كهروأكسدة الكبريتيد على البلاتين تخضع للنظام النفوذى .

من جانب آخر أثبتت الدراسة التطبيقية حدوث ترسيب الكبريتيد بالأيونات المعدنية الناتجة من الانحلال الأنودي لقطب الزنك أو الحديد, و على عكس المتوقع كان الترسيب أحسن مع الحديد مقارنة بالزنك.

يبقى البحث العلمي في مجال معالجة الكبريتيد كهروكيميائيا مفتوحا من خلال عدة آفاق نذكر منها :

- البحث في مواد الأقطاب بهدف صنع قطب يعطي نسبة أكسدة عالية و في نفس الوقت منخفض أو متوسط الثمن.
- تطبيق كهروترسيب الكبريتيد بالحديد الذي له ثمن منخفض في معالجة مياه صرف المدابغ .
- بطارية نزع التلوث (batterie de dépollution) التي تعتمد فكرة تفاعل (أكسدة) الكبريتيد في القسم الأنودي من البطارية وفي القسم الكاثودي يحدث ارجاع لمؤكسد مثل Fe^{3+} , وبالتالي البطارية تنزع الملوث وتنتج الطاقة الكهربائية.

مراجع بيليو غرافية

الفصل الأول (I)

- [I.1] A. Anglada et al, Contributions of electrochemical oxidation to waste – water treatment : fundamentals and review of applications, J Chem Technol Biotechnol, 2009, 84, 1747-1755.
- [I.2] M. BENNAJAH, Thèse de docteur, Traitement des rejets industriels liquides par électrocoagulation / électroflottation en réacteur airlift, Institut national polytechnique de Toulouse, 2002.
- [I.3] S. SAYHO, Thèse de docteur, Application de l'électrochimie aux traitements des eaux : Etude d'électrodes et faisabilité d'un procédé de récupération du Cr VI par électrodialyse – électrolyse, Université Paris 6, 1989.
- [I.4] Elodie SINGLANDE, Thèse de docteur, Procédés intègres couplant l'électrodialyse et le traitement biologique : Influence de la composition ionique et application au traitement des effluents salins, Université Paul Sabatier, Toulouse III, 2006.
- [I.5] V.JACQET VIOLLEAU, Thèse de docteur, Déminéralisation par électrodialyse en présence d'un complexant : Application au Lactoserm, Institut national polytechnique, Toulouse, 1999.
- [I.6] J. Grimm, D. Bessarabov, R. Sanderson, Review of Electro-assisted methods for water purification, Desalination, 1998, 115, 285-294.
- [I.7] Rajeshwar K, Ibanez J, Fundamentals and Applications in Pollution abatement, Environmental Electrochemistry , Academic Press, 1997.
- [I.8] Saracco G, Solarino L , Aigotti R, Specchia V, Maja M, Electrochemical Oxidation of organic pollutants at low electrolyte concentration, Electrochimica acta , 2000, 46, 373-800.

- [I.9] Saracco G, Solarino L , Aigotti R, Specchia V, Maja M, Electrolytic abatement of biorefractory organics by combining bulk and electrode oxidation processes, Chemical Eng. Science, 2001, 56, 1571-1578.
- [I.10] Matthew A. Tarr, Chemical Degradation Methods for Wastes and Pollutants : Environmental and industrial applications, Taylor et Francis e-Library, 2005.
- [I.11] Mui Do Ttong, Thèse de maitrise, Mise au point du fonctionnement d'un réacteur pilote à anode en lit fluidisé pour les traitements des effluents industriels par l'oxydation électrochimique, Université de Moncton, 1999
- [I.12] P. CHEVALIER, Métaux du groupe platine, Annuaire des minéraux du Canada, 2004.
- [I.13] Polcaro A.M., On the performance of Ti/SnO₂ and Ti/PbO₂ anodes in electrochemical degradation of 2-chlorophenol for wastewater treatment, Journal of applied electrochemistry, 1999, 29, 147–51.
- [I.14] Cossu, Polcaro, Electrochemical treatment of landfill leachate : oxidation at Ti/PbO₂ and Ti/SnO₂ Anodes, Environnemental Sciences Technology 1998, 32, 3570-3573.
- [I.15] C. Seignez, C. Pulgarin, P. Péringer, C. Comninellis, E. Plattner, Dégradation des polluants organiques industriels Traitements électrochimique, biologique, et leur couplage, Swiss Chem., 1992, 14, 1, 25-30.
- [I.16] Kots, Stucki, Electrochemical waste water treatment using high overvoltage anodes Part I: Physical and electrochemical properties of SnO₂ anodes, J. of Applied Electrochemistry, 1991, 21, 14-20.

- [I.17] Foti, Gandini, Comninellis, Oxidation of organics by intermediates of water discharge on IrO_2 and synthetic diamond anodes, *Electrochemical and Solid-State Letters*, 1999, 2, 5, 228-230.
- [I.18] Iniesta, Michaud, Comninellis, Electrochemical oxidation of phenol at boron-doped diamond electrode, *Electrochimica Acta*, 2001, 46, 3573-3578.
- [I.19] Correa-Lozano B., Comninellis Ch., De Battisti A., Electrochemical properties of $\text{Ti/SnO}_2\text{-Sb}_2\text{O}_5$ electrodes prepared by the spray pyrolysis technique, *Journal of applied electrochemistry* 1996, 26, 683-688.
- [I.20] Do J-S. and Yeh W-C., In situ degradation of formaldehyde with electrogenerated hypochlorite ion, *J Applied Electrochemistry*, 1995, 25, 483-489.
- [I.21] Esplugas S., Rodriguez M., Comparaison of different advanced oxidation processes for phenol degradation, *Water research*, 2002, 36, 1034-1042.
- [I.22] Fletcher, Indirect oxidations using electrogenerated hydrogen peroxide, *Acta Chemica Scandinavica*, 1999, 53, 745-750.
- [I.23] Bard A.J., Faulkner L.R., *Electrochimie: Principes, méthodes et applications*, Masson, 1983.
- [I.24] Genders J.D., Weinberg N.L., *Electrochemistry for a cleaner environment*, The Electrosynthesis Company Inc., 1992.
- [I.25] Derek, Pletcher, *A First Course in electrode Processes*, The Electrochemical Consultancy, 1991.
- [I.26] Leroy C., *Elaboration d'anodes en composite pour des applications en milieu sulfurique ou chlorhydrique*, Thèse UCL, Unité des Procédés, 1996.

الفصل الثاني (II)

- [II.1] Y.S. Su et al , Amplified potentiometric determination of pK_{a0} , pK_1 , pK_2 of hydrogen sulfides with Ag_2S I.S.E ,*Talanta*,1997,4, 1757-1763.
- [II.2] Laura Sigg, Chimie des milieux aquatique : chimie des eaux naturelles et des interfaces dans l'environnement, DUNOD , 2000.
- [II.3] G.Charlot, les réactions chimiques en solution aqueuse : caractérisation des ions, masson, 1983.
- [II.4] David harvey, Modern Analytical chemistry , Mc Grow-Hill, Californie, 1999.
- [II.5] V. ALEXEEV, Analyse qualitative, Mir, 1980.
- [II.6] Brad Miller, Aicheng Chen, Effect of concentration and temperature on electrochemical oscillations during sulfide oxidation on $Ti/Ta_2O_5 - IrO$ electrodes, *Electrochimica Acta* ,2005, 50, 2203-221.
- [II.7] B. Trémilion, Electrochimie analytique et réactions en solution : Tome1 : réactions en solution, Masson, Paris, 1983.
- [II.8] Pourbaix M., Atlas d'équilibres électrochimiques, Gauthier- Villars&Cie Editeur Paris, 1963.
- [II.9] G.H.KELSALL, I.THOMPSON, Redox chemistry of H_2S oxidation by the British Gas Stretford Process, Part II : Electrochemical behaviour of aqueous hydrosulphide (HS^-) solutions, *Journal of applied electrochemistry*, 1993, 23,287-295.

- [II.10] A.Briceno, S.Chander, Oxidation of hydrosulphide ions on gold, part II : Characterization of gold/ aqueous hydrosulphide solution interface, Journal of applied electrochemistry,1990, 20, 512-517.
- [II.11] Elvivra Bura- Nakic et al, Electrochemical nanogravimetric studies of sulfur/ sulfide redox processes on gold surface, J solid state electrochem, 2009, 13, 1935-1944.
- [II.12] Brad Miller, Aicheng Chen , Oscillatory instabilities during the electrochemical oxidation of sulfide on a Pt electrode, Journal of electro-analytical chemistry,2006, 588, 314-323.
- [II.13] F.M.Al Karafi et al, Electrochemical oxidation of sulfide ions on platinum electrodes, Modern applied science,2010, vol.4, No.3.
- [II.14] G.H.KELSALL, I.THOMPSON, Redox chemistry of H₂S oxidation by the British Gas Stretford Process, Part I : Thermodynamic of sulfur – water systems at 298 K, Journal of applied electrochemistry, 1993, 23,279-286.
- [II.15] Danielle CACHAU-HERREILLAT, Des expériences de la famille acide-base : Comment réussir, exploiter et commenter 40 manipulation de chimie, De Boeck et Larcier s.a .,2002 .
- [II.16] DEGREMONT SA , Mémento technique de l'eau, Dégremont (Rueil-Malmaison), 1978 .

- [II.17] Levent Atlas, Hanife Büyükgüngör, Sulfide removal in petroleum refinery waste water by chemical precipitation, 2008, 153, 462- 469.